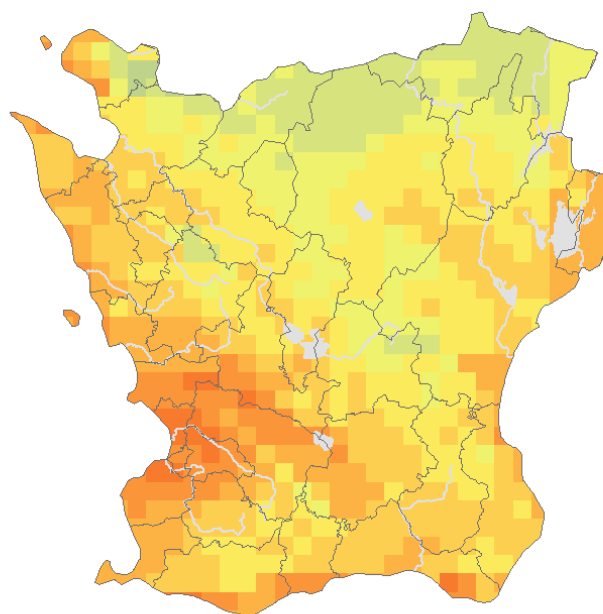


Framtidsklimat i Skånes län

– enligt RCP-scenarier

Alexandra Ohlsson, Magnus Asp, Steve Berggreen-Clausen, Gitte Berglöv, Emil Björck,
Anna Johnell, Jenny Axén Mårtensson, Linda Nylén, Håkan Persson och Elin Sjökvist



Pärbilden visar beräknad värmebölja vid slutet av seklet enligt RCP8.5.

KLIMATOLOGI Nr 29, 2015

Framtidsklimat i Skåne län

– enligt RCP-scenarier

Alexandra Ohlsson, Magnus Asp, Steve Berggreen-Clausen, Gitte Berglöv, Emil Björck,
Anna Johnell, Jenny Axén Mårtensson, Linda Nylén, Håkan Persson och Elin Sjökvist

Sammanfattning

Hur klimatet i Skåne län utvecklas beror på hur användningen av fossila bränslen blir i framtiden, dvs. hur mycket mängden växthusgaser ökar i atmosfären. Rapporten beskriver dagens och framtidens klimat i Skåne baserat på observationer och beräkningar utifrån två olika utvecklingsvägar, begränsade utsläpp (RCP4.5) respektive höga utsläpp (RCP8.5).

Geografiskt detaljerade klimatdata har framtagits och använts för hydrologisk modellering. Resultaten beskrivs i form av olika klimatindex, dvs. medelvärden, säsongsvariationer och mer extrema förhållanden, baserade på statistiska bearbetningar av modelldata.

Uppvärmningen för Skåne beräknas bli ca 3 grader enligt RCP4.5 och ca 4 grader enligt RCP8.5 mot slutet av seklet jämfört med referensperioden 1961-1990. Den största uppvärmningen sker under vintern och sommaren med upp mot 5 grader under båda årstiderna enligt RCP8.5. Vegetationsperioden ökar med 60-90 dagar och antalet varma dagar blir fler. RCP8.5 visar ett årsmedelvärde på 21 dagar i följd med dygnsmitteltemperaturer på över 20°C i slutet av seklet.

Årsmedelnederbördens ökar med 15-25 %. Nederbördens ökar mest vintertid, i norra delen av länet visar RCP8.5 på 50 % ökning. Den kraftiga nederbördens ökar också, maximal dygnsnederbörd kan öka med uppemot 20 %.

För länet ses en ökning av årstillsättningen med uppemot 10 % vid slutet av seklet. Den största ökningen av tillrinningen sker för vintern och även det lägre scenariot RCP4.5 visar på 20-30 % för vattendragen. För sommaren minskar den totala årstillsättningen för Bivarödsån, Helge å och i viss mån Rönne å. För övriga analyserade vattendrag är förhållandena oförändrade. Tillrinning med återkomsttid 10 år respektive 100 år ser ut att öka i stora delar av länet.

Framtidsscenarioerna visar på förändring i årstidsförlopp med högre vintertillrinning och en längre säsong med lägre flöden. Antalet dagar då tillrinningen är låg ökar från ca 20-30 dagar till 40-60 dagar beroende av scenario.

Antalet dagar med låg markfuktighet ökar i framtiden. Från dagens ca 15 dagar till 30-50 dagar beroende av scenario.

Summary

The report describes todays and future climate in Skåne County based on observations and climate modelling. Regional modelled RCP4.5 and RCP8.5 scenarios have been further downscaled to $4 \times 4 \text{ km}^2$ resolution. The results are presented as meteorological and hydrological indices based on statistically processed model data.

Ordlista

Avrinningsområde	Det landområde från vilket nederbörden förr eller senare kommer ut som vatten i vattendraget vid en angiven plats.
DBS-metoden	"Distribution Based Scaling" är ett verktyg för att korrigera klimatmodellernas utdata så att de kan användas som indata till hydrologisk modellering. Med DBS-skalering fås en högre rumslig upplösning av data.
Flöde	Här avses vattenflöde dvs. hur mycket vatten som rinner i vattendragen.
Global klimatmodell (GCM)	På engelska "Global Circulation Model" eller "Global Climate Model". En global klimatmodell beskriver hela jordklotet och de processer som sker i atmosfären, havet, havsisen och marken.
Gridbox	I en klimatmodell delas atmosfären upp i tredimensionella lådor, så kallade gridboxar. I varje gridbox räknas alla klimatologiska variabler ut som beskriver klimatet i den boxen.
HBV	En hydrologisk modell som beräknar markfuktighet, snöackumulation, snösmältning, avdunstning och avrinning/tillrinning samt beskriver vattnets väg i avrinningsområdet.
IPCC	Intergovernmental Panel on Climate Change. Även benämnd FN:s klimatpanel.
Klimatindex	Bearbetade utdata från klimatmodeller. De kan beskriva medelvärden, säsongsvariationer men också mer extrema förhållanden.
Klimatscenario	En beskrivning av en tänkbar klimatutveckling i framtiden med hjälp av antaganden om framtida utsläpp av växthusgaser, en global och en regional klimatmodell.
Osäkerhet	Det finns olika källor till osäkerheter i frågan om framtidens klimat. Den största osäkerheten ligger i hur mycket växthusgaser människan kommer släppa ut i framtiden. Det finns även osäkerheter i klimatmodellerna, t.ex. beroende på begränsad upplösning i både tid och rum.
RCA	Rossby Centre Regional Climate model (RCA) är en regional klimatmodell som utvecklas och används av SMHI:s klimatforskningsgrupp.
RCP	RCP:er är möjliga utvecklingsvägar för strålningsbalansen med det gemensamma namnet "representativa koncentrationsutvecklingsbanor" från engelskans "Representative Concentration Pathways (RCP)". RCP:erna är namngivna efter den nivå av strålningsdrivning i W/m^2 som uppnås år 2100. RCP-scenarier låg till grund för IPCC:s rapport 2013.
Referensperiod	SMHI använder referensperioden 1961-1990 för att definiera dagens klimat. Nya observationer jämförs med medelvärdet för 1961-1990 för att säga hur de avviker från det normala. Meteorologiska världsorganisationen, WMO, definierar referensperioderna och nästa period blir 1991-2020.
Regional klimatmodell (RCM)	Beskriver klimatet för en del av jordklotet, en region. En regional klimatmodell använder alltid indata från en global klimatmodell.
SRES	Scenarier som beskriver framtida utsläpp av växthusgaser, baserade på antaganden om den framtida utvecklingen av världen. SRES-scenarier användes i de beräkningar av

	framtidens klimat som låg till grund för arbetet med IPCC:s rapporter från år 2000 och 2007. SRES= Special Report on Emission Scenarios.
Strålningsdrivning	Strålningsdrivningen är skillnaden mellan hur mycket energi solstrålningen som träffar jorden innehåller och hur mycket energi som jorden strålar ut i rymden igen. Denna energi mäts i enheten watt per kvadratmeter, W/m ² . Strålningsdrivningen ökar då mängden växthusgaser ökar i atmosfären, vilket resulterar i en global ökning av temperaturen på jorden. För att studera framtida klimat finns ett antal strålningsdrivningsscenarier att utgå ifrån, se "RCP".
Trend	Här används begreppet som "en förändring över tid".
Upplösning	Upplösningen är storleken på gridboxarna i klimatmodellen. Låg upplösning (stora gridboxar) ger mindre detaljerad information, men kostar mindre datorkraft. Hög upplösning (små gridboxar) ger mer detaljerad information, men kostar mer datorkraft.
Variabilitet	Variabilitet är en viktig faktor inom klimatologin. Klimatet är inte bara genomsnittliga värden utan klimat kännetecknas av variationer i tid och rum som kan hänga ihop med till exempel växelverkan mellan atmosfären och havet.
Växthusgaser	Atmosfären som omger jorden har förmågan att bevara energin från solen så att jordytan blir varmare än vad den skulle varit om atmosfären inte fanns. Den s.k. naturliga växthuseffekten bygger på naturlig förekomst av en viss mängd vattenånga och koldioxid i atmosfären. Vattenånga och koldioxid är de viktigaste växthusgaserna. Atmosfärens sammansättning har sedan den förindustriella tiden successivt förändrats på grund av mänsklig aktivitet. De vanligaste växthusgaserna som vi människor släpper ut är koldioxid, metan, dikväveoxid (lustgas) och ozon, men även en rad industrigaser spelar roll.
Återkomsttid	Ett mått på hur ofta förekomsten av extrema naturliga händelser kan förväntas. Med en händelses återkomsttid menas att händelsen i genomsnitt inträffar eller överträffas en gång under denna tid. Ett värde som har en återkomsttid på 100 år uppnås eller överträffas i genomsnitt en gång på 100 år. Det innebär att sannolikheten är en (1) procent varje enskilt år. Eftersom man exponerar sig för risken under flera år blir den ackumulerade risken avsevärt större. För en konstruktion vars livslängd beräknas till 100 år blir den ackumulerade risken hela 63 % att 100-årsvärdet överskrids någon gång under 100 år. Om säkerhetsnivån väljs till 100-årsvärdet är risken att det värdet överskrids större än att det underskrids. Det är alltså troligare att konstruktionen, under sin livslängd, kommer att utsättas för förhållanden utöver den nivå som valts än att den nivån aldrig inträffar. För 10-årsvärdet är sannolikheten 65 % att det överskrids någon gång under 10 år.

Innehållsförteckning

1	INLEDNING	1
2	BAKGRUND	1
3	METOD OCH PRESENTATION	1
3.1	Antaganden, modeller och databearbetning.....	1
3.2	Osäkerheter	2
3.3	Generella resultat för Sverige	3
3.4	Jämförelse SRES-RCP.....	3
3.5	Läsanvisningar.....	5
3.5.1	Kartor	5
3.5.2	Diagram	5
4	TEMPERATUR	7
4.1	Årsmedeltemperatur	7
4.2	Medeltemperatur vinter.....	9
4.3	Medeltemperatur vår	11
4.4	Medeltemperatur sommar	13
4.5	Medeltemperatur höst.....	15
4.6	Vegetationsperiodens längd	17
4.7	Vegetationsperiodens starttidpunkt	19
4.8	Värmebölja.....	21
4.9	Graddagar för uppvärmning.....	23
4.10	Graddagar för kylining.....	25
5	NEDERBÖRD	27
5.1	Årsmedelnederbörd	27
5.2	Medelnederbörd vinter.....	29
5.3	Medelnederbörd vår	31
5.4	Medelnederbörd sommar	33
5.5	Medelnederbörd höst.....	35
5.6	Antal dagar med mer än 10 mm nederbörd.....	37
5.7	Maximal dygnsnederbörd.....	39
5.8	Maximal 7-dygnsnederbörd.....	41
5.9	Förändring av korttidsnederbörd.....	43
6	TOTAL MEDELTILLRINNING	44
6.1	Förändrad total medeltillrinning för år och säsonger.....	44
6.2	Förändrad total 10-årstillrinning	51
6.3	Förändrad total 100-årstillrinning	53

7	LOKAL MEDELTILLRINNING.....	55
7.1	Förändrad lokal årsmedeltillrinning.....	55
7.2	Förändrad lokal medeltillrinning vinter	57
7.3	Förändrad lokal medeltillrinning vår.....	58
7.4	Förändrad lokal medeltillrinning sommar	59
7.5	Förändrad lokal medeltillrinning höst	60
7.6	Antal dagar med lågflöde	61
8	TILLRINNINGENS ÅRSDYNAMIK.....	63
9	MARKFUKTIGHET.....	65
10	SLUTSATSER	67
11	TACKORD	67
12	REFERENSER	68

1 Inledning

Rapporten beskriver dagens och framtidens klimat i Skåne baserat på observationer och beräkningar utifrån två olika antaganden om atmosfären innehåll av växthusgaser. Data från internationell klimatforskning har bearbetats för att möjliggöra analyser på lokal skala, inklusive hydrologisk modellering. Resultaten beskrivs i form av olika klimatindex, dvs. medelvärden, säsongsvariationer och mer extrema förhållanden, baserade på statistiska bearbetningar av data.

2 Bakgrund

FN:s klimatpanel presenterade 2013 en ny rapport om jordens framtida klimat (IPCC, 2013). Resultaten baserades på nya möjliga utvecklingsvägar, så kallade RCP-scenarier (Representative Concentration Pathways). SMHI fick 2014 i uppdrag av regeringen att göra en enhetlig studie för Sverige baserad på dessa scenarier. Studien finansierades via det klimatanpassningsanslag som tilldelades Nationellt kunskapscentrum för klimatanpassning vid SMHI.

Arbetet resulterade i databasen SCID med statistik i form av klimatindex för Sveriges nutida och framtida klimat. Databasen, tillsammans med en rapport och beskrivande dokument, finns tillgänglig som en nedladdningstjänst på smhi.se. Rapporten ”Klimatscenarier för Sverige” beskriver metoder, resultat och osäkerheter, vilket är viktigt att ha kunskaper om vid studier av framtida klimat på läns- och kommunnivå (Sjökvist m.fl., 2015).

I regleringsbrevet för 2015 avseende klimatanpassningsanslaget gavs SMHI i uppdrag att ta fram länsvisa enhetliga klimatanalyser baserade på de nya klimatscenarierna. Den ovan nämnda databasen är utgångspunkten för analyserna i föreliggande rapport som avser Skåne län.

SMHI har tidigare levererat en klimatanalys på uppdrag av Länsstyrelsen i Skåne (Persson m.fl., 2012). Den baseras på äldre klimatscenarier och behandlar framtida temperatur, nederbörd och havsvattenstånd. Rapporten innehåller också en beskrivning av Skånes nutidsklimat.

3 Metod och presentation

I detta kapitel beskrivs metodiken mycket kortfattat. Mer information finns i rapporten ”Klimatscenarier för Sverige” som nämns ovan. På smhi.se finns också en ”Vägledning klimatscenarier” som stöd för användande av klimatscenarier (Persson m.fl., 2015). I Ordnlistan finns flertalet begrepp definierade.

3.1 Antaganden, modeller och databearbetning

Klimatets utveckling i framtiden beror på hur atmosfären innehåll av växthusgaser förändras. För att kunna studera framtidens klimat behövs antaganden om hur utsläppen av växthusgaser kommer att bli. Det finns flera möjliga utvecklingar och vilken av dem som slår in beror på människans förmåga att begränsa utsläppen. RCP-scenarierna beskriver resultatet av utsläppen, den så kallade strålningsbalansen i atmosfären, fram till år 2100. I följande analyser används två RCP-scenarier, RCP4.5 som bygger på begränsade utsläpp, och RCP8.5 med höga utsläpp. Tabell 1 beskriver vilka antaganden som ligger till grund för scenarierna.

Forskarvärlden har fokuserat på dessa två scenarier, därfor finns det mest fullständiga underlaget för dessa i form av regionala klimatberäkningar. Det är skälet till att dessa två scenarier används i föreliggande rapport. De två scenarierna täcker in en stor variationsbredd vad avser framtidens koncentrationer av växthusgaser i atmosfären.

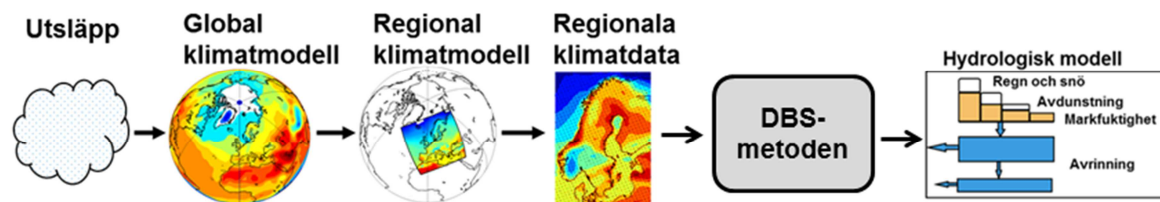
Tabell 1. Antaganden som ligger till grund för scenarierna RCP4.5 och RCP8.5.

RCP4.5	RCP8.5
<ul style="list-style-type: none"> Utsläppen av koldioxid ökar något och kulminerar omkring år 2040 Befolkningsmängd något under 9 miljarder i slutet av seklet Lågt arealbehov för jordbruksproduktion, bland annat till följd av större skördar och förändrade konsumtionsmönster Omfattande skogsplanteringsprogram Låg energiintensitet Kraftfull klimatpolitik 	<ul style="list-style-type: none"> Koldioxidutsläppen är tre gånger dagens vid år 2100 och metanutsläppen ökar kraftigt Jordens befolkning ökar till 12 miljarder vilket leder till ökade anspråk på betes- och odlingsmark för jordbruksproduktion Teknikutvecklingen mot ökad energieffektivitet fortsätter, men långsamt Stort beroende av fossila bränslen Hög energiintensitet Ingen tillkommande klimatpolitik

För att göra beräkningar av det framtida klimatet krävs klimatmodeller, de är matematiskt formulerade beskrivningar av de fysikaliska processerna i klimatsystemet. De globala klimatmodellerna beskriver hela jorden och de regionala beskriver mer förfinat ett delområde. Indelningen sker i så kallade gridboxar, ett 3-dimensionellt rutnät av atmosfären. Det är mycket omfattande beräkningar som sker på superdatorer.

Den globala klimatmodelleringen görs med en relativt grov upplösning, vilket betyder att storleken på rutorna vid jordytan kan vara ca $200 \times 200 \text{ km}^2$. Den regionala klimatmodelleringen utförs med högre upplösning, ca $50 \times 50 \text{ km}^2$, och ger därför mer detaljerade beräkningar. I analysen ingår nio olika globala klimatmodeller från olika institut runt om i världen. Rossby Centre vid SMHI har utfört regional modellering med den regionala klimatmodellen RCA4.

För att utföra analyser på lokal skala, exempelvis för hydrologiska beräkningar, krävs data med ännu högre geografisk upplösning. SMHI har därför utvecklat en metod, DBS (Distribution Based Scaling), för att öka upplösningen till $4 \times 4 \text{ km}^2$. Därefter har hydrologisk modellering utförts med HBV-modellen. Flödesberäkningar baseras på oreglerade förhållanden.



Statistik har beräknats i form av klimatindex, vilka är definierade i respektive avsnitt. Varje enskilt modellresultat har bearbetats separat men resultaten presenteras sammanlagda för RCP4.5 och RCP8.5. De index som berör temperatur och nederbörd, presenteras med $4 \times 4 \text{ km}^2$ upplösning. De hydrologiska indexen, som berör tillrinning och markfuktighet, presenteras för avrinningsområden. Beräkningar av korttidsnederbörd (avsnitt 5.9) är utförd direkt på regional klimatdata.

3.2 Osäkerheter

Ett klimatscenario kräver en lång kedja av beräkningar och antaganden. Det finns alltså flera källor till osäkerheter; klimatets naturliga variationer, val av klimatmodell och framtida utsläpp av växthusgaser.

Den naturliga variationen innebär att klimatet varierar naturligt från år till år. Denna osäkerhet påverkar mest klimatscenarier för en nära framtid, eftersom klimatet inte hunnit förändras så mycket. Klimatförändringen är då svår att urskilja från den naturliga variationen i klimatet.

Alla klimatmodeller baseras på samma grundläggande kunskap om klimatsystemet och fungerar på ungefär samma sätt. Resultaten skiljer sig ändå åt beroende på att processerna i klimatsystemet kan beskrivas på olika sätt, och att fler eller färre processer inkluderas i modellerna. Ingen modell är perfekt, därfor är det bra att sammanväga resultaten från olika modeller. Det ger ett mått på hur stor betydelse olika modellbeskrivningar har för det beräknade klimatet.

Framtidens klimat beror på framtida utsläpp av växthusgaser. Ett viktigt resultat, som kan utläsas i klimatscenarierna, är att valet av RCP-scenario har mycket liten betydelse för de närmsta årtiondena. Mot mitten på seklet börjar valet av RCP-scenario växa i betydelse för klimatets utveckling.

3.3 Generella resultat för Sverige

I figur 1 och 2 visas översiktliga beräkningar av framtidens förändringar av temperatur och nederbörd i Sverige. Där redovisas även tidigare resultat baserade på s.k. SRES-scenarier. Skillnaderna kommenteras mer utförligt i kapitel 3.4.

Årsmedeltemperaturen beräknas öka för hela Sverige i framtiden. RCP8.5 visar generellt på störst uppvärmning (4-6 grader). RCP4.5 visar på samma mönster men en lägre uppvärmning (2-4 grader).

Nederbördens beräkna öka i framtiden. RCP8.5 visar störst förändring, särskilt i norra Sverige, där ökningen beräknats till 30-50 %. RCP4.5 visar samma förändringsmönster, men som mest 30 % ökning (i Lapplandsfjällen).

Medeltillrinningen väntas öka i hela landet utom i sydöstra Sverige, där det sker en minskning. Störst ökning sker i landets norra delar. RCP8.5 ger det mest extrema resultatet både där tillrinningen ökar och där den minskar.

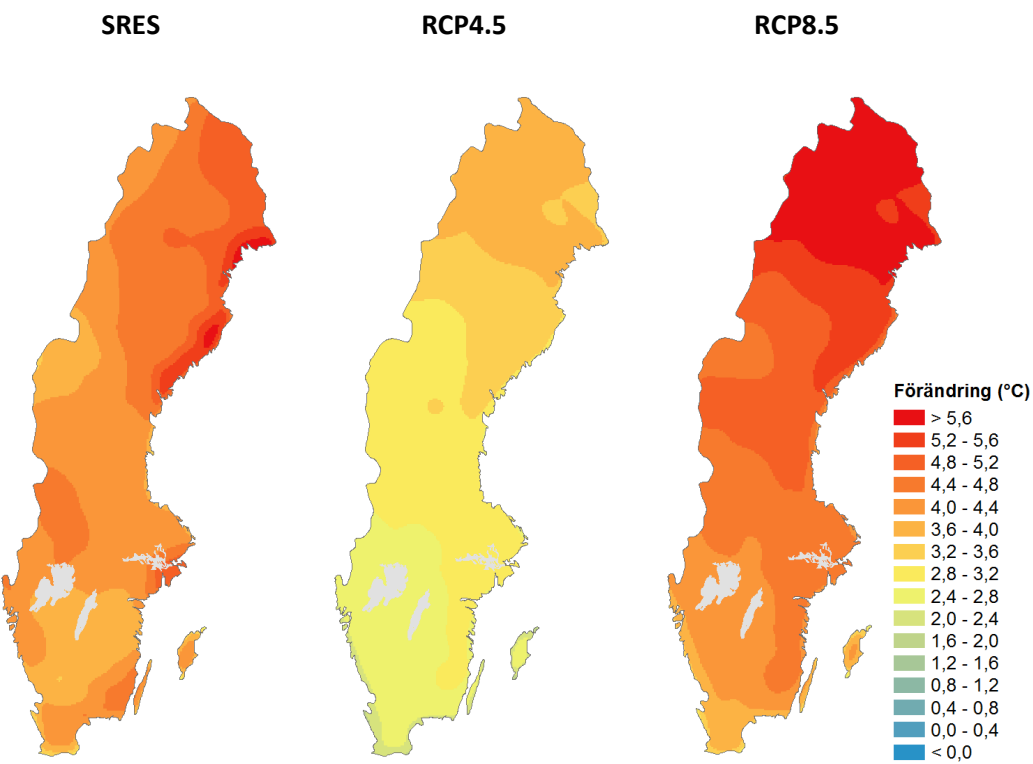
Extrema vattenflöden, redovisade som 100-årsflöden¹, beräknas öka i vattendragen i södra Sverige mot slutet av seklet. I de nordliga älvarna är förändringen mindre tydlig och kan till och med medföra en minskning av de extrema flödena.

3.4 Jämförelse SRES-RCP

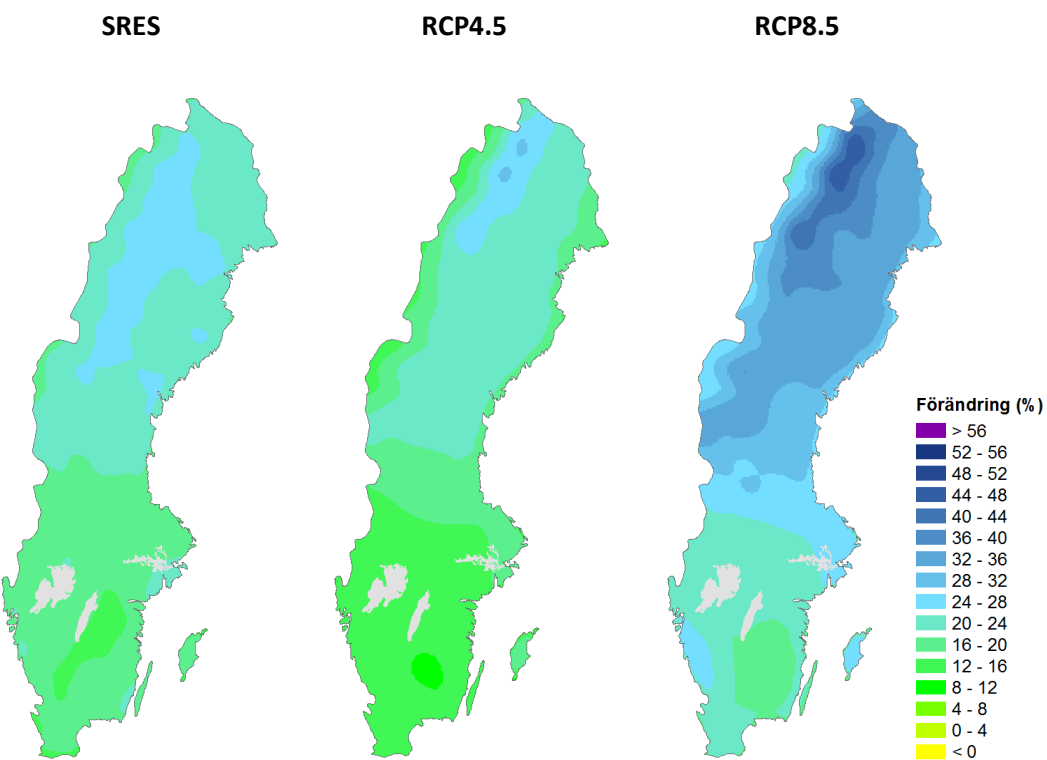
Klimatforskingen utvecklas hela tiden, nya resultat publiceras, liksom nya sätt att beskriva antaganden om framtida utsläpp. I FN:s klimatpanels tredje och fjärde stora sammanställning (IPCC, 2001 och IPCC, 2007) användes scenarierna SRES (Special Report on Emission Scenarios) (Nakićenović and Swart (eds.) 2000). I femte sammanställningen AR5 (IPCC, 2013) antogs de nya scenarierna RCP (Representative Concentration Pathways) (ICONICS, 2013).

I de tidigare länsanalyser som utförts av SMHI baseras resultaten på 16 SRES-scenarier med tyngdpunkt på utsläppsscenariot A1B. För att få en uppfattning om hur dessa skiljer sig från de nya RCP-scenarierna visas här kartor på förändringen i temperatur för perioden 2069-2098 jämfört med 1961-1990 (figur 1).

Alla scenarier visar på en tydlig uppvärmning i hela landet och störst uppvärmning i norra Sverige. SRES-scenarierna har inte lika tydlig gradient mellan norra och södra Sverige som RCP-scenarierna. Uppvärmningen är generellt något lägre än i RCP8.5, men utmärkande för SRES-scenarierna är hög uppvärmning längs kusterna, framförallt norra Norrlandskusten. Det beror med stor sannolikhet på dataunderlaget till SRES-analysen, då temperaturdata längs kusten påverkades mycket av havsklimatet, vilket kan ge missvisande resultat. De höga värdena längs kusterna i SRES-kartan bör alltså tolkas med försiktighet.



Figur 1. Beräknad förändring av årsmedeltemperatur för perioden 2069-2098 jämfört med perioden 1961-1990, enligt de tidigare beräkningarna med SRES och de nyare med RCP4.5 respektive RCP8.5. Värdena i kartorna är utjämna för att förenkla tolkningen.



Figur 2. Beräknad procentuell förändring av årsnederbörd för perioden 2069-2098 jämfört med perioden 1961-1990, enligt de tidigare beräkningarna med SRES och de nyare med RCP4.5 respektive RCP8.5. Värdena i kartorna är utjämna för att förenkla tolkningen.

Kartorna i figur 2 visar förändringen i årsmedelnederbörd vid slutet på seklet jämfört med perioden 1961-1990. SRES-scenarierna är mycket lika RCP4.5, med en ökning på 10-30 %.

Skillnaderna är alltså olika beroende på vilken variabel som studeras och beror till stora delar på de klimatmodeller som används i beräkningarna. För SRES-analyserna användes 16 olika uppsättningar av globala och regionala modeller, medan RCP-analyserna är baserade på nio olika globala modeller och en regional (RCA4). Det ger en bättre representation avseende globala beräkningar men i analysen har endast data från en regional modell varit tillgänglig, vilket kan ge ett snävt resultat. RCA4 har visat sig vara något blötare i jämförelse med andra regionala modeller, vilket betyder att samma RCP-scenarier kan uppvisa något torrare klimatförändring med andra kombinationer av globala och regionala modeller.

3.5 Läsanvisningar

På följande sidor presenteras index baserade på temperatur, nederbörd, tillrinning och markfuktighet. Indexen beskrivs och resultaten presenteras i korta texter i respektive kapitel. Indexen presenteras lite olika vad gäller kartor och diagram, vilket beskrivs nedan.

3.5.1 Kartor

För temperatur- och nederbördssindex visas observerade och beräknade värden. För medeltemperatur och medelnederbörd samt antal dagar med mer än 10 mm nederbörd visas även kartor över förändringar mellan tidsperioder.

För index baserade på tillrinning presenteras endast förändringar mellan tidsperioder. Förändringar anges som procentuell avvikelse från referensperioden.

Alla kartor visar medelvärdet över en given tidsperiod. I de kartor som visar förändringar mellan tidsperioder är värdena geografiskt utjämnade för att underlätta tolkningen.

Sverigekartorna representerar respektive index för referensperioden 1961-1990 och visar hur förhållandena i länet relaterar till övriga Sverige.

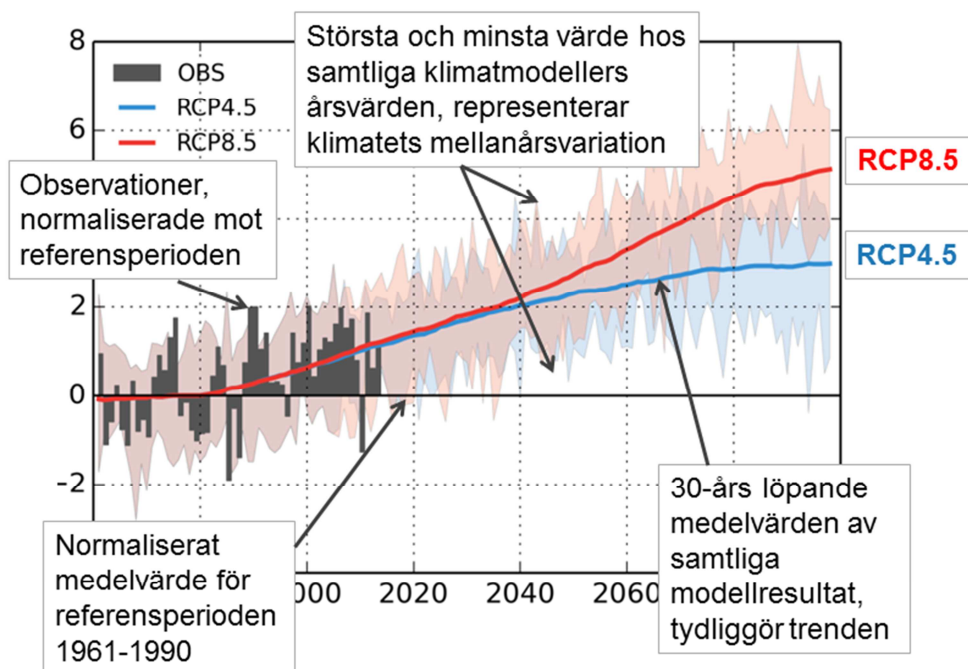
3.5.2 Diagram

Diagrammen för temperatur och nederbörd visar utvecklingen över tid för länet som helhet jämfört med referensperioden 1961-1990. Tillrinning och markfuktighet är beräknade utifrån hydrologisk modellering och diagrammen för de indexen visar utvecklingen över tid för ett definierat avrinningsområde, jämfört med referensperioden 1963-1992.

Diagram för temperatur och nederbörd innehåller staplar med observationer som är geografiska medelvärdet för hela länet, se förklaring av diagrammets uppbyggnad i figur 3. För tillrinning och markfuktighet finns inte motsvarande observerade värden att tillgå, därför saknar de diagrammen observationsstaplar.

Tillrinningens årsdynamik presenteras som 30-årsmedelvärdet för referensperioden 1963-1992 och framtidspérioden 2069-2098.

Diagrammen över förändring av korttidsnederbörd avser länet som helhet.



Figur 3. Beskrivning av diagrammens struktur i rapporten.

4 Temperatur

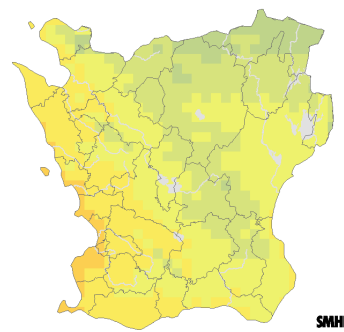
4.1 Årsmedeltemperatur

Observerat 1961-1990

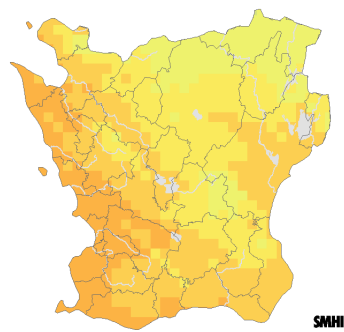


Årsmedeltemperatur är medelvärdet av varje års medeltemperatur beräknat utifrån dygnsmitteltemperatur. Det är tillsammans med årsmedelnederbörd det mest använda indexet för att beskriva klimatet.

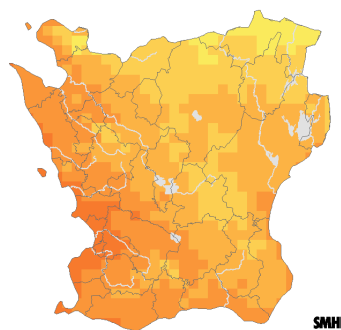
Observerat 1961-1990



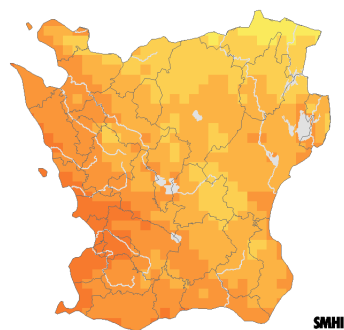
Observerat 1991-2013



Beräknat 2021-2050



Beräknat 2069-2098



Temperatur (°C)

■ > 11,0
■ 10,5 - 11,0
■ 10,0 - 10,5
■ 9,5 - 10,0
■ 9,0 - 9,5
■ 8,5 - 9,0
■ 8,0 - 8,5
■ 7,5 - 8,0
■ 7,0 - 7,5
■ 6,5 - 7,0
■ 6,0 - 6,5
■ 5,5 - 6,0
■ 5,0 - 5,5
■ 4,5 - 5,0
■ 4,0 - 4,5
■ < 4,0

RCP4.5

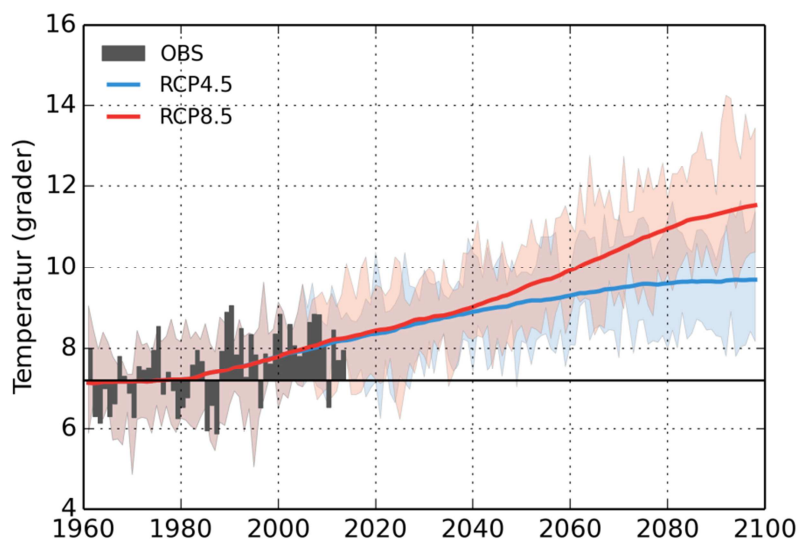
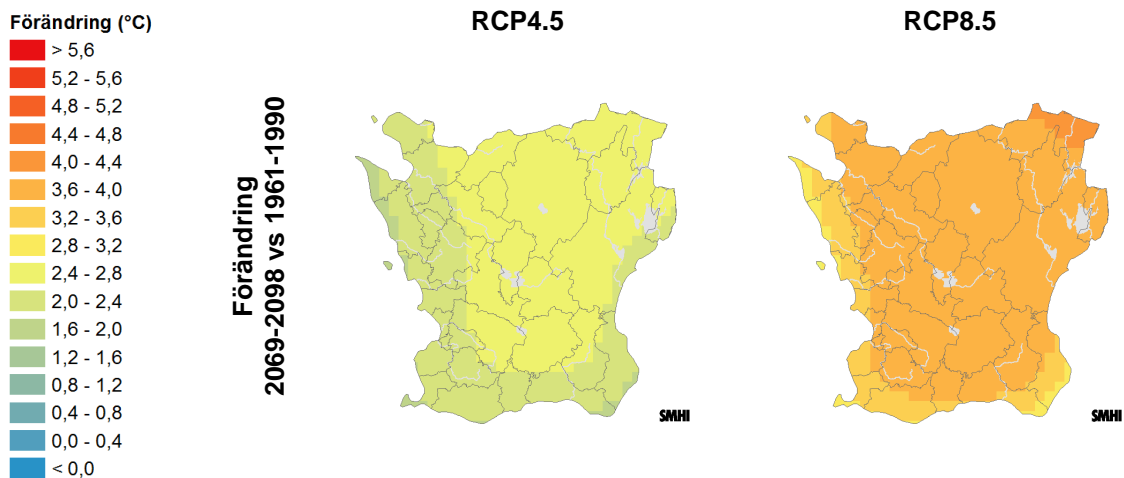
RCP8.5

SMHI

SMHI

SMHI

SMHI

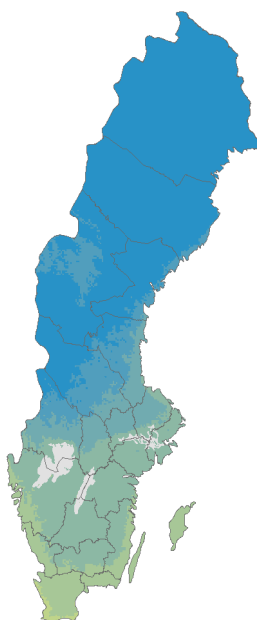


Under perioden 1961-1990 var årsmedeltemperaturen för hela Skåne län 7,2°C. Variationen är dock stor i länet, i de norra delarna av länet ca 6°C, men längs västra kusten upp mot 9°C. Under början av 2000-talet blev det 1-2 graders ökning i länet, och den varmare trenden är tydlig framöver i båda klimatscenarierna. I mitten av seklet, perioden 2021-2050, är resultaten från de båda RCP-scenarierna mycket lika, skillnaderna tydliggörs först under andra hälften av seklet.

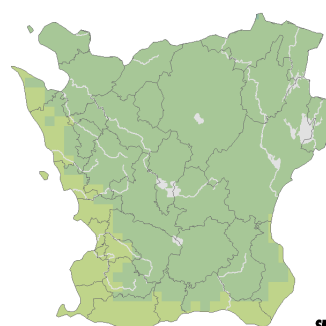
I diagrammet visas förändringen över länet som helhet för de två RCP-scenarierna, årsvärdet av observerad medeltemperatur för Skåne är markerade som staplar. Staplarna visar att årsmedeltemperaturen i länet kan variera med ca 3°C. Denna mellanårsvariation består även i framtiden, vilket framgår av de skuggade fälten i diagrammet. De heldragna linjerna visar 30-års löpande medelvärde av scenarierna för att förtydliga trender. Temperaturen väntas stiga med flera grader till slutet av seklet; enligt RCP4.5 med närmare 3 grader medan RCP8.5 visar på en 4-gradig ökning. I stora delar av länet hamnar årsmedeltemperaturen på drygt 10°C, den största ökningen väntas i nordöstra Skåne där RCP8.5 visar på en nästan 5-gradig ökning.

4.2 Medeltemperatur vinter

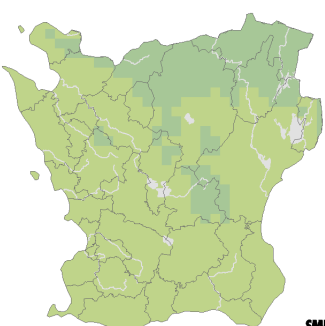
Observerat 1961-1990



Observerat 1961-1990

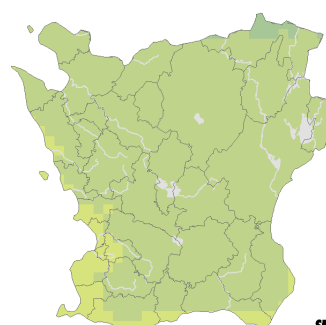


Observerat 1991-2013



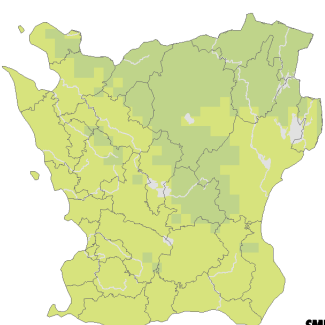
SMHI

Beräknat 2021-2050



SMHI

Beräknat 2069-2098



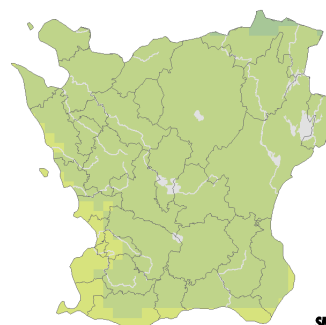
SMHI

Temperatur (°C)

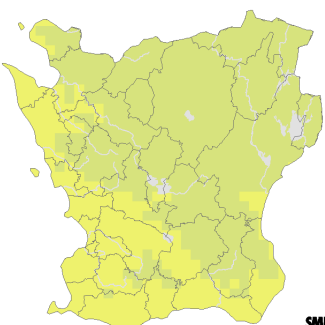
> 20
18 - 20
16 - 18
14 - 16
12 - 14
10 - 12
8 - 10
6 - 8
4 - 6
2 - 4
0 - 2
-2 - 0
-4 - -2
-6 - -4
-8 - -6
< -8

RCP4.5

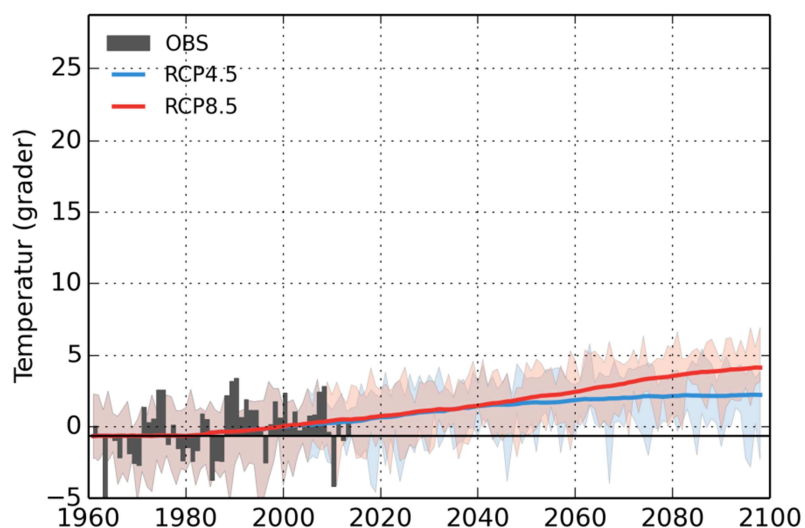
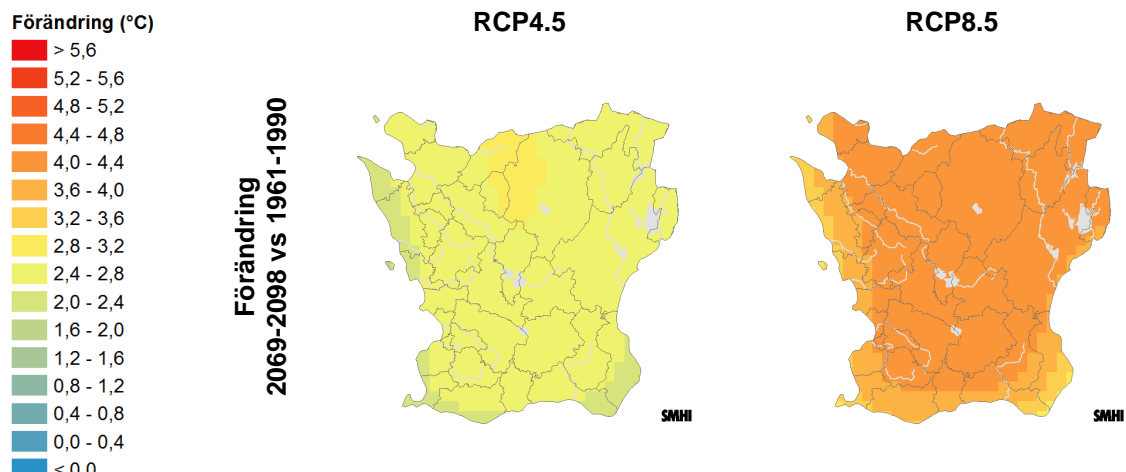
RCP8.5



SMHI



SMHI

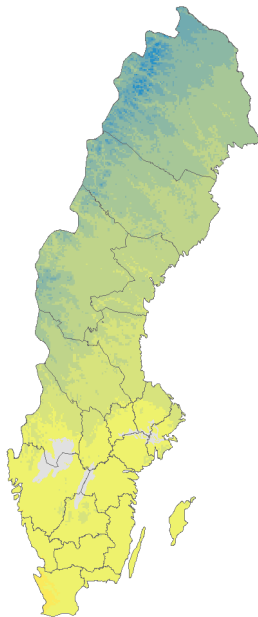


Skånes vintermedeltemperatur var under referensperioden 1961-1990 -0,6°C. Vintrarna har blivit något milder i södra och inre Skåne under de senaste 23 åren, men staplarna i diagrammet visar att mellanårsvariationen är stor. De två olika scenarierna visar samstämmigt på att det blir milder vintrar framöver. Enligt RCP4.5 blir det närmare 3 grader varmare till slutet av seklet, medan RCP8.5 visar närmare 5 graders skillnad mot referensperioden 1961-1990.

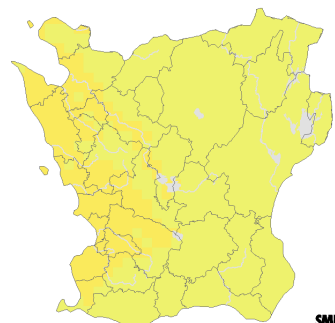
4.3 Medeltemperatur vår

Observerat 1961-1990

Vår definieras här som perioden mars-maj. Kartorna visar medelvärdet för respektive period beräknat utifrån dygnsmedeltemperatur.



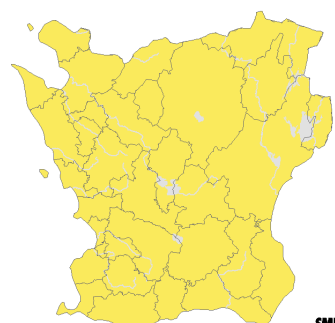
Observerat 1961-1990



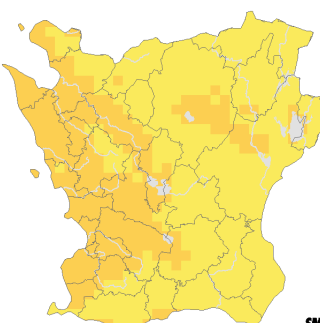
Observerat 1991-2013



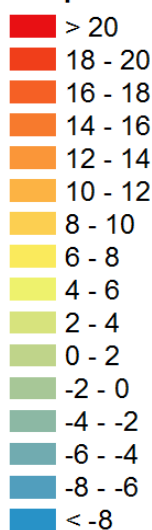
Beräknat 2021-2050



Beräknat 2069-2098

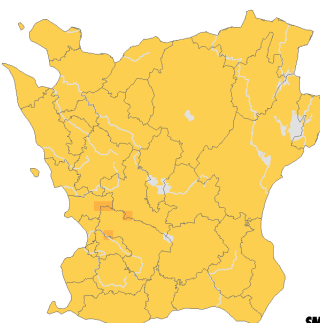
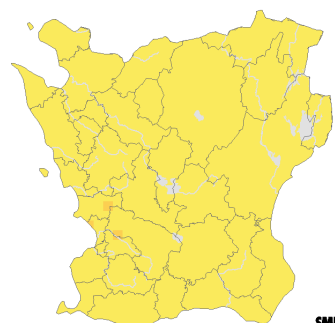


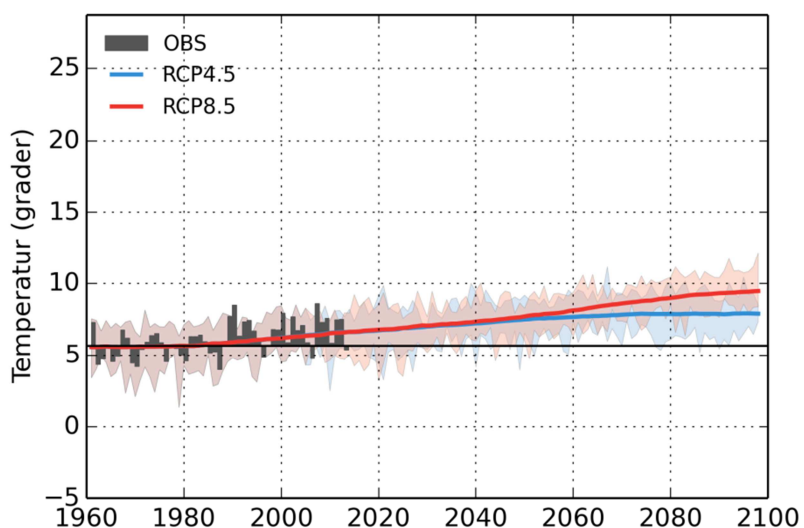
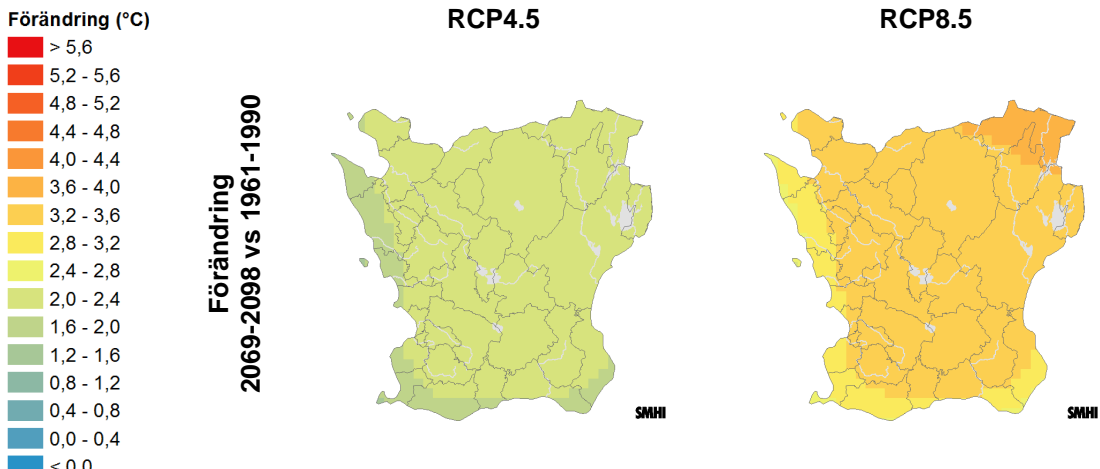
Temperatur (°C)



RCP4.5

RCP8.5

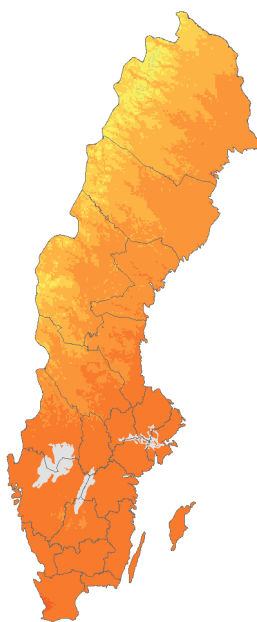




Medeltemperaturen för våren under perioden 1961-1990 var $5,7^{\circ}\text{C}$, och mellanårsvariationen är betydligt mindre jämfört med vintern. De senaste drygt 20 åren har medeltemperaturen ökat med någon grad och trenden håller i sig under resten av århundradet. Den största ökningen sker enligt båda RCP4.5 och RCP8.5 i länets nordöstra del. Enligt RCP4.5 blir det en genomsnittlig temperaturökning på 2 grader medan RCP8.5 visar på 4 graders ökning jämfört med 1961-1990. Temperaturökningen är inte lika stor i kustnära områden då havsvattnet är ganska svalt under våren och inte värmes upp lika snabbt som landmassa.

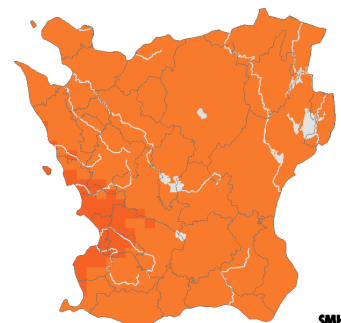
4.4 Medeltemperatur sommar

Observerat 1961-1990

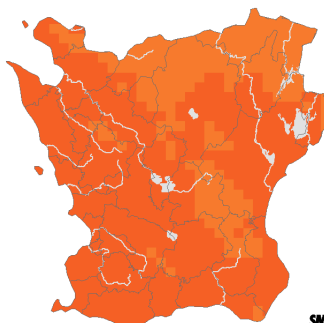


Sommar definieras här som perioden juni-augusti. Kartorna visar medelvärdet för respektive period beräknat utifrån dygnsmitteltemperatur.

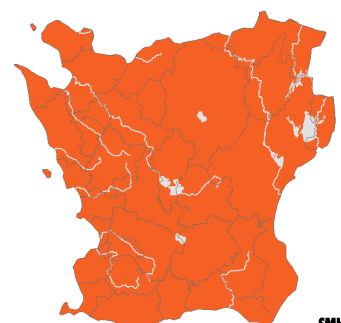
Observerat 1961-1990



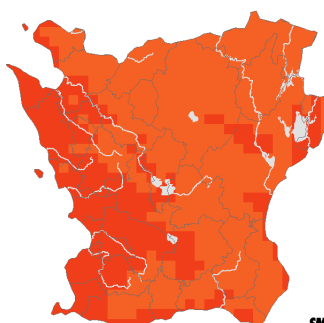
Observerat 1991-2013



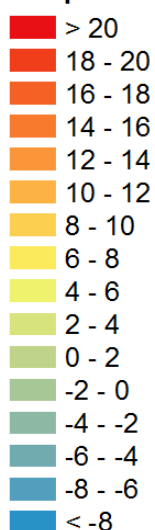
Beräknat 2021-2050



Beräknat 2069-2098

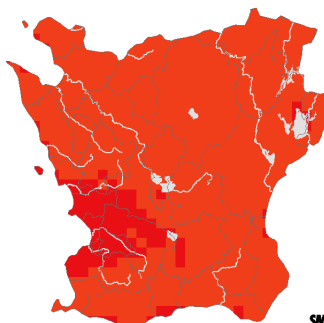
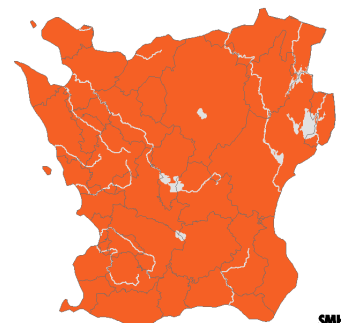


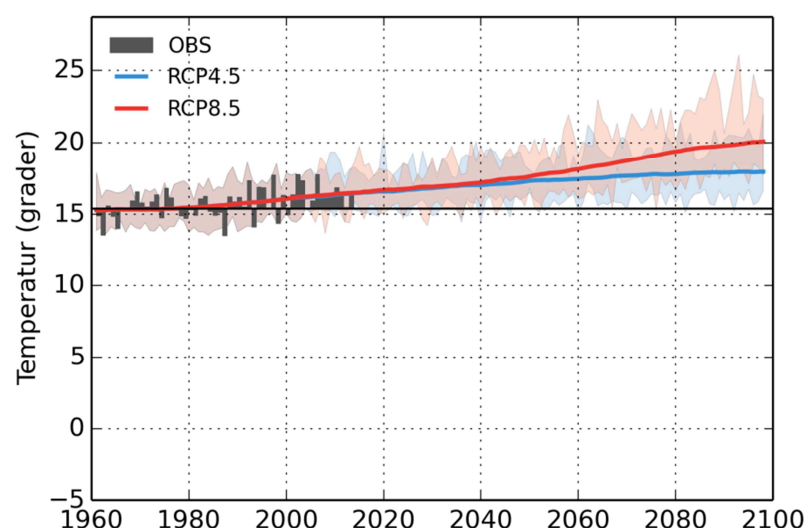
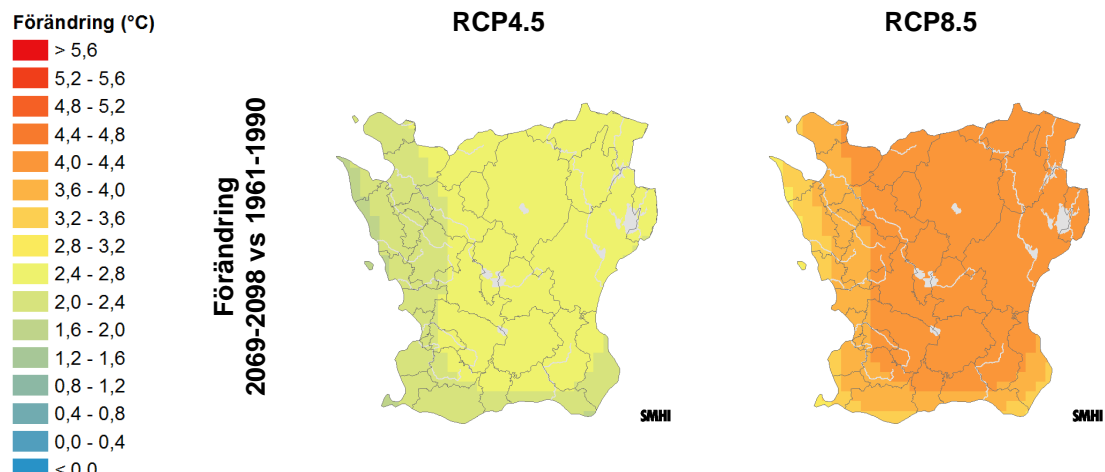
Temperatur ($^{\circ}\text{C}$)



RCP4.5

RCP8.5

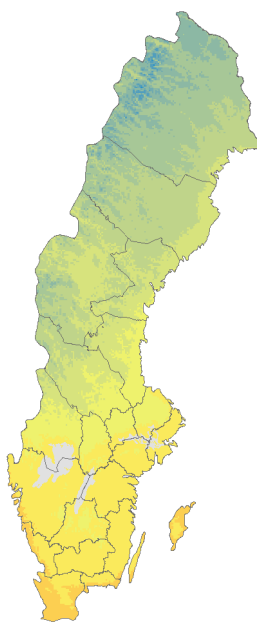




Sommarmedeltemperaturen under 1961-1990 var $15,4^{\circ}\text{C}$. Temperaturen är jämt fördelad över länet och steg något under perioden 1991-2013. Temperaturen fortsätter att stiga och enligt båda scenarierna väntas de största ökningarna i länets inre och nordöstra delar. Till slutet av seklet stiger temperaturen enligt RCP4.5 med närmare 3 grader medan RCP8.5 visar på en 5-gradig temperaturökning.

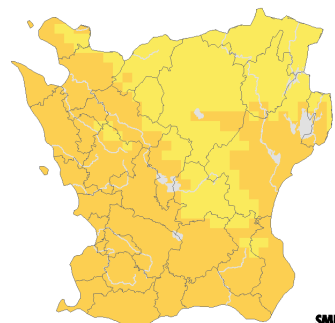
4.5 Medeltemperatur höst

Observerat 1961-1990

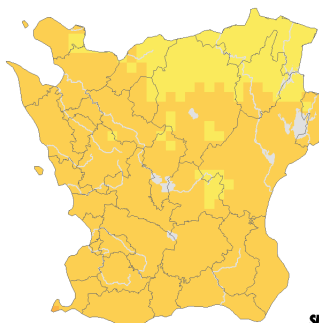


Höst definieras här som perioden september-november. Kartorna visar medelvärdet för respektive period beräknat utifrån dygnsmitteltemperatur.

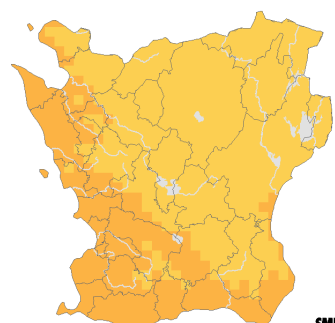
Observerat 1961-1990



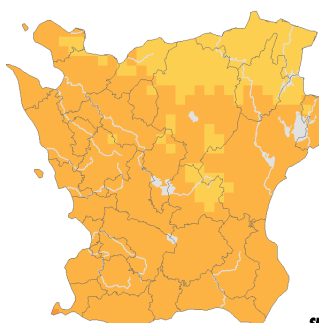
Observerat 1991-2013



Beräknat 2021-2050



Beräknat 2069-2098

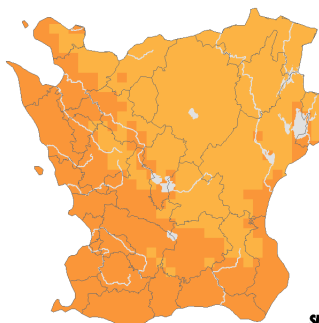
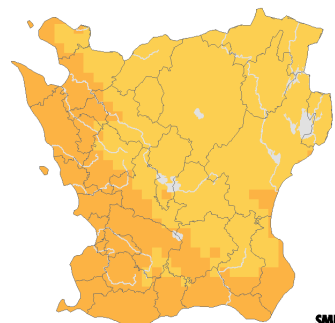


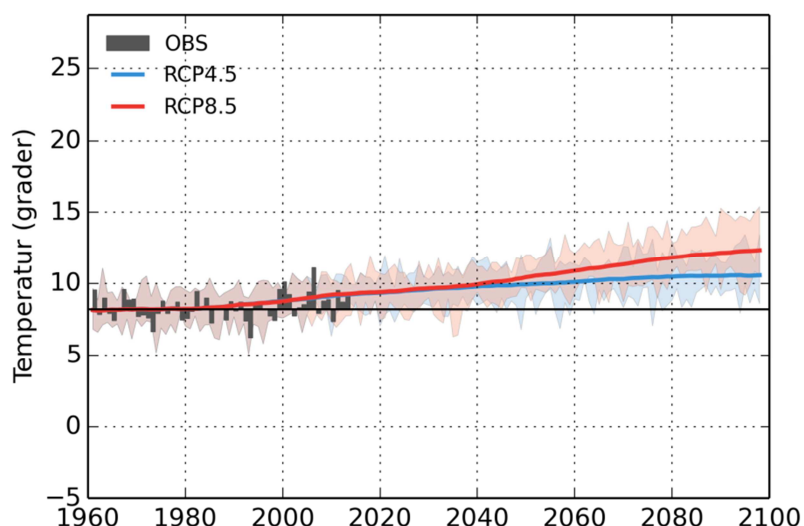
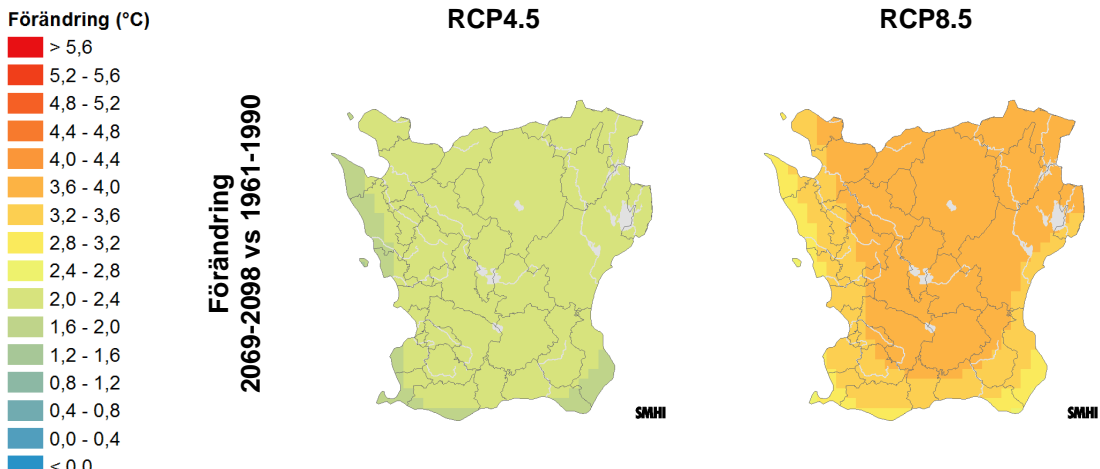
Temperatur ($^{\circ}\text{C}$)

> 20
18 - 20
16 - 18
14 - 16
12 - 14
10 - 12
8 - 10
6 - 8
4 - 6
2 - 4
0 - 2
-2 - 0
-4 - -2
-6 - -4
-8 - -6
< -8

RCP4.5

RCP8.5





Medeltemperaturen för hösten låg på 8,2°C under 1961- 1990 för att stiga något under perioden 1991 och 2013. Trenden med mildare höst håller i sig och fram till slutet av seklet har det blivit 2-4 grader varmare i hela länet. Den största ökningen väntas i inre och norra delarna av länet.

Allmänt om årstiderna

Både RCP4.5 och RCP8.5 visar på en temperaturökning för alla årstiderna fram till slutet av seklet. Temperaturökningen kan indikera, om medeltemperaturer används för att definiera årstiderna, att hösten håller i sig längre och att våren kommer tidigare än idag. Vinterperioden blir alltså kortare och sommaren längre.

De största temperaturökningarna väntas under sommaren och vintern. Enligt RCP4.5 blir det närmare 3 grader varmare till slutet av seklet, medan RCP8.5 visar på upp till 5 graders ökning jämfört med referensperioden 1961-1990. Den största skillnaden väntas i nordöstra delen av länet.

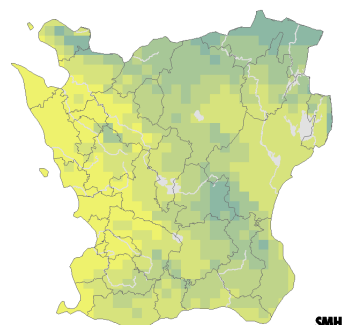
4.6 Vegetationsperiodens längd

Observerat 1961-1990

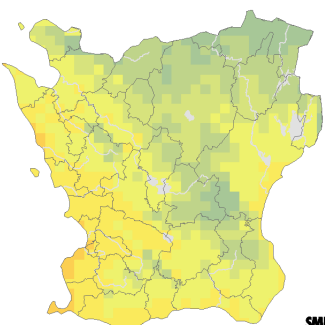


Längden på vegetationsperioden är definierad som skillnaden mellan sluttidpunkt och starttidpunkt. Starttidpunkt är första dagen på året i en sammanhangande fyradagarsperiod då dygnsmedeltemperaturen överstiger 5°C. Sluttidpunkt är sista dagen i årets sista fyradagarsperiod med dygnsmedeltemperatur över 5°C. Indexet baseras enbart på temperatur och tar inte hänsyn till solinstrålning.

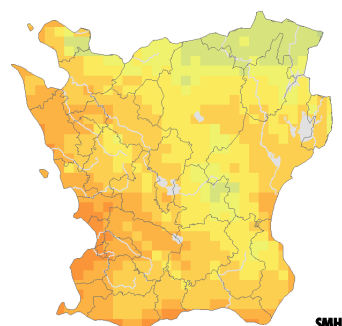
Observerat 1961-1990



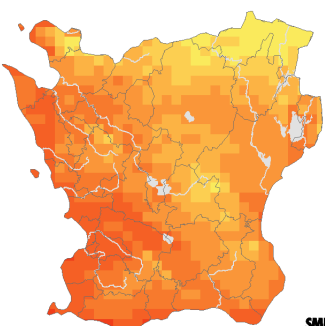
Observerat 1991-2013



Beräknat 2021-2050



Beräknat 2069-2098

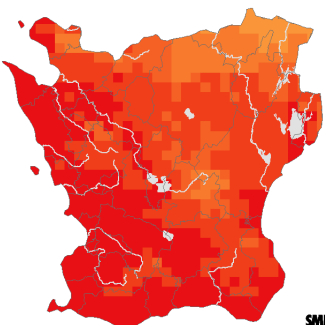
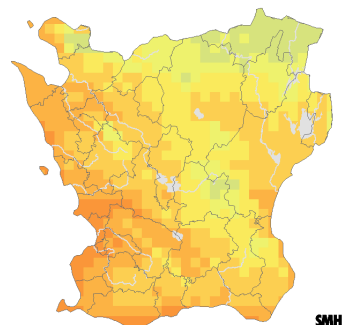


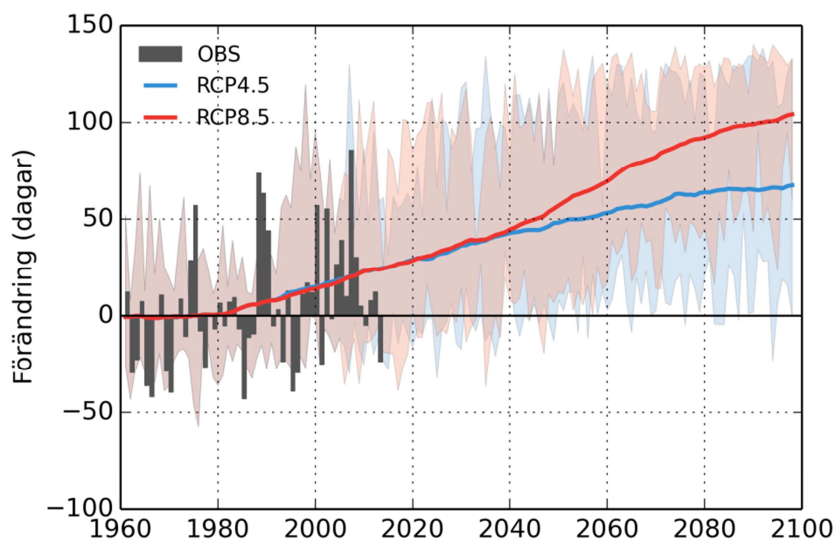
Antal dagar

> 330
320 - 330
310 - 320
300 - 310
290 - 300
280 - 290
270 - 280
260 - 270
250 - 260
240 - 250
230 - 240
220 - 230
210 - 220
200 - 210
190 - 200
< 190

RCP4.5

RCP8.5





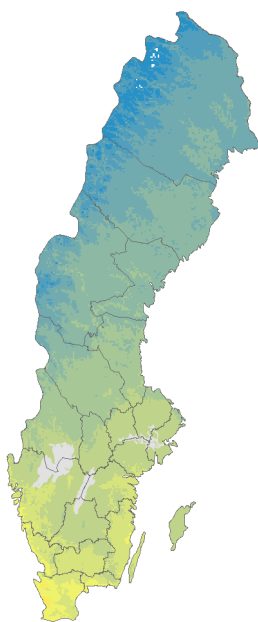
Längden på vegetationsperioden¹ under perioden 1961-1990 för länet som helhet var 239 dagar. Längs västra kusten påverkar havstemperaturen vegetationsperioden genom att förlänga säsongen under hösten och därfor är vegetationsperioden här något längre, i genomsnitt 8,5 månader. Under de senaste dryga 20 åren har vegetationsperioden ökat med 1-2 veckor i hela länet.

Klimatscenarierna visar tydligt att vegetationsperioden kan bli längre under de kommande årtiondena. Fram mot slutet av århundrandet visar RCP4.5 på en ökning med generellt 2 månader över hela länet. Temperaturen i scenario RCP8.5 är lite varmare än RCP4.5 under våren och hösten och detta syns tydligt på vegetationsperioden. Mellan de två scenarierna skiljer det ungefär 6 veckor. Längs västra och södra kusten är vegetationsperioden upp mot 330 dagar, det vill säga vegetationsperioden kommer mot slutet av seklet att täcka in nästan hela året.

¹ Vegetationsperioden definieras som den del av året då dygnsmedeltemperaturen överstiger ett visst gränsvärde, som varierar för olika tillämpningar men ligger vanligen mellan +3°C och +5°C. Vegetationsperiod benämns ibland växtsäsong.

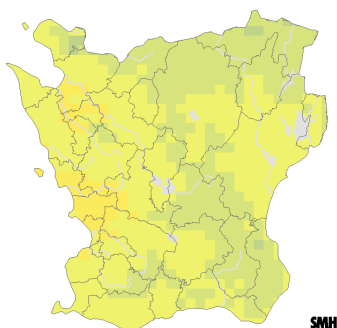
4.7 Vegetationsperiodens starttidpunkt

Observerat 1961-1990

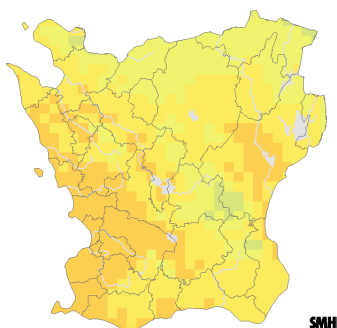


Starttidpunkt är första dagen på året i en sammanhängande fyrdagarsperiod då dygnsmitteltemperaturen överstiger 5°C. Indexet baseras enbart på beräkningar med temperatur och tar inte hänsyn till solinstrålning. Indexet ger tillsammans med vegetationsperiodens längd en uppfattning om framtida förhållanden för sådd och skördetidpunkter.

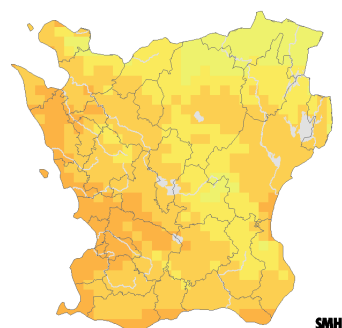
Observerat 1961-1990



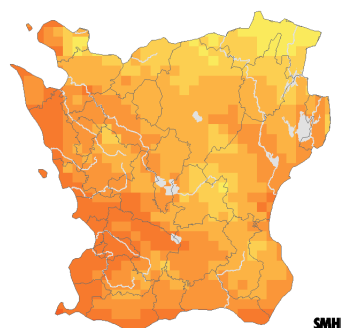
Observerat 1991-2013



Beräknat 2021-2050



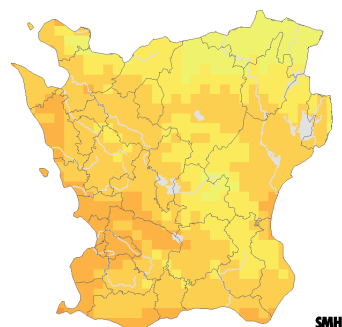
Beräknat 2069-2098



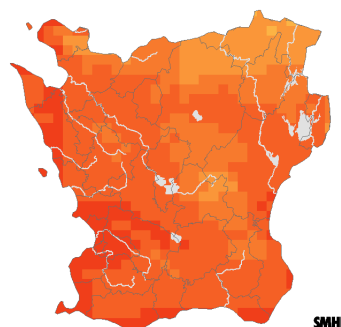
Dagnummer

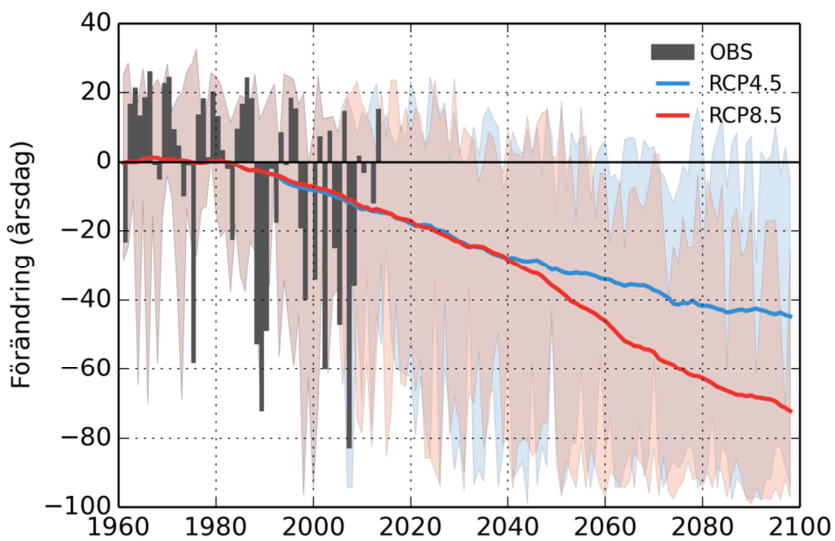
> 150
140 - 150
130 - 140
120 - 130
110 - 120
100 - 110
90 - 100
80 - 90
70 - 80
60 - 70
50 - 60
40 - 50
30 - 40
20 - 30
10 - 20
0 - 10

RCP4.5



RCP8.5



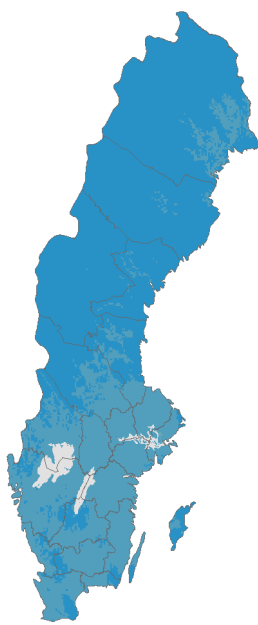


Vegetationsperiodens start definieras här som första tillfället på året när dygnsmedeltemperaturen överstiger 5°C under 4 dagar i följd. Vegetationsperiodens start räknas då från den första av dessa fyra dagar. Starttiden kan variera en del från år till år, beroende på om vintern varit lång och kall eller om mildluft tidigt förs in. Under referensperioden 1961-1990 hamnar medelvärdet för starttiden för vegetationen på dagsnummer 88, vilket motsvarar slutet av mars. Under 90-talet och 2000-talet tidigarelades vegetationsperiodens start allmänt med några dagar. Trenden håller i sig under resten utav århundradet. I slutet av seklet har vegetationsperioden startat ca 6 veckor tidigare enligt RCP4.5 medan RCP8.5 visar upp mot 10 veckor tidigare start. Detta innebär att, vid seklets slut, kan vegetationsperioden starta i slutet av januari.

Analyserna av vegetationsperiodens start och längd visar att vegetationsperiodens slut inte förändras lika mycket som starttidpunkten. I slutet av seklet senareläggs sluttidpunkten med ca 3 veckor enligt RCP4.5 och ca 1 månad enligt RCP 8.5.

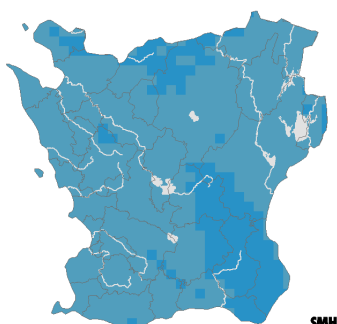
4.8 Värmebölja

Observerat 1961-1990

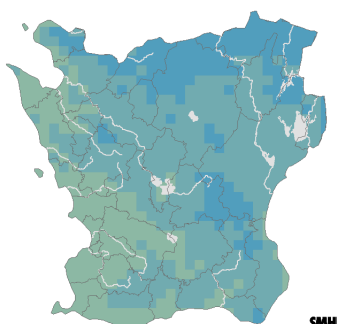


Värmebölja är vanligen ett begrepp för en längre period med höga dagstemperaturer. Det finns ingen vedertagen internationell definition och även i Sverige förekommer flera definitioner. Här definieras värmebölja som årets längsta sammanhängande period med dygnsmitteltemperatur över 20°C. Indexet belyser behovet av anpassning till perioder med höga temperaturer för t.ex. byggnader och vård- och omsorgssektorn.

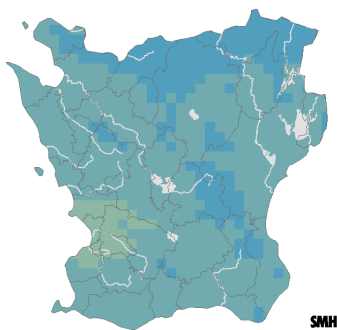
Observerat 1961-1990



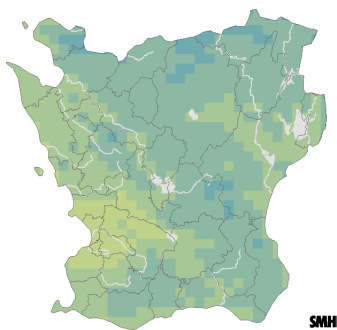
Observerat 1991-2013



Beräknat 2021-2050



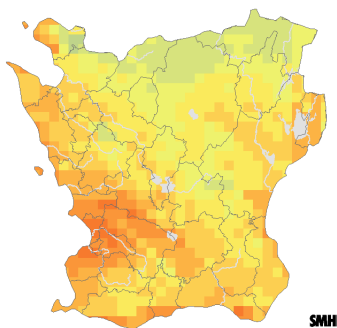
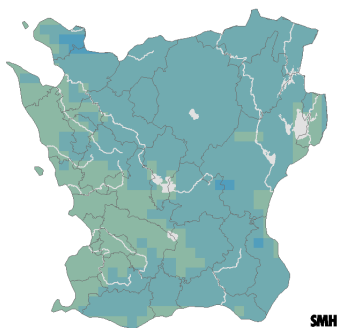
Beräknat 2069-2098

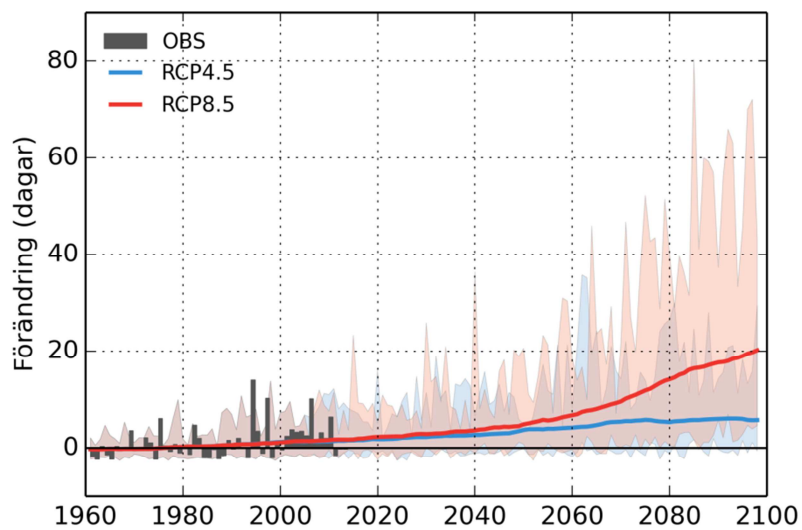


Antal dagar

> 30
28 - 30
26 - 28
24 - 26
22 - 24
20 - 22
18 - 20
16 - 18
14 - 16
12 - 14
10 - 12
8 - 10
6 - 8
4 - 6
2 - 4
0 - 2

RCP4.5

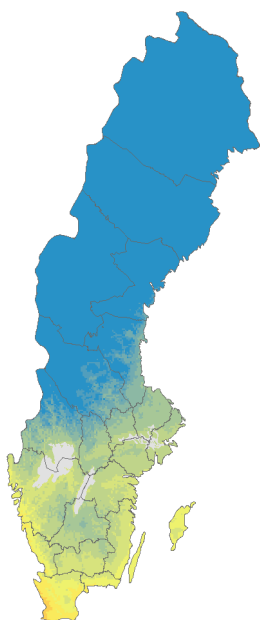




Under perioden 1961-1990 var det bara ett fåtal tillfällen varje år som dygnsmedeltemperaturen kom över 20°C, oftast skedde detta i västra delen av Skåne. Medelvärdet för länet som helhet var 2,4 dagar. Det har under de senaste drygt 20 åren blivit något varmare men antalet sammanhängande dagar med medeltemperaturer över 20°C har bara ökat med ca 1-3 dagar per år i länet. Under de kommande åren visar beräkningarna på längre perioder med dygnsmedeltemperaturer över 20°C. Skillnaden är störst för RCP8.5, som visar att värmeböljornas längd har ökat med 8 gånger i slutet av seklet. På många håll rör det sig om ca 3 veckor i följd med värmebölja, uppe på åsarna samt i norra Skåne rör det sig om ca 2 veckor i följd. Ökningen är inte fullt lika stor i RCP4.5, i norra Skåne blir det 6-10 dagar i följd med varma dagar medan sydvästra Skåne får upp till två veckor i följd med värmebölja.

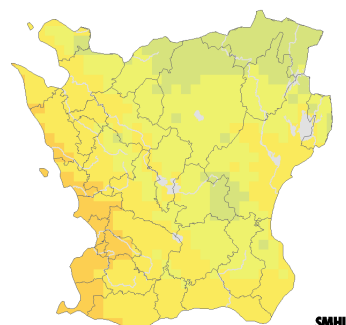
4.9 Graddagar för uppvärmning

Observerat 1961-1990

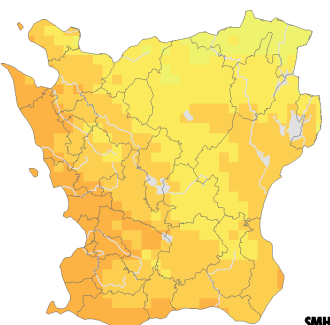


Graddagar för uppvärmning är skillnaden mellan dygnsmedeltemperaturen och tröskelvärdet 17°C, summerat på ett år. En dygnsmedeltemperatur på 12°C bidrar exempelvis med 5 grader till årsomman. Dygnsmedeltemperaturer över 17°C ger inget bidrag. Graddagar för uppvärmning är ett energimått och används för att uppskatta behovet av uppvärmning i bostäder.

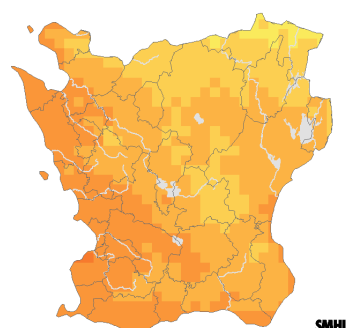
Observerat 1961-1990



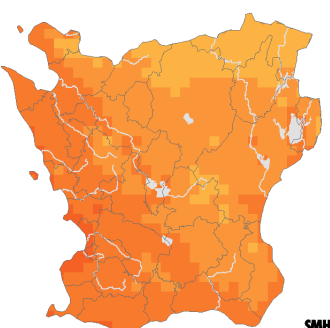
Observerat 1991-2013



Beräknat 2021-2050



Beräknat 2069-2098

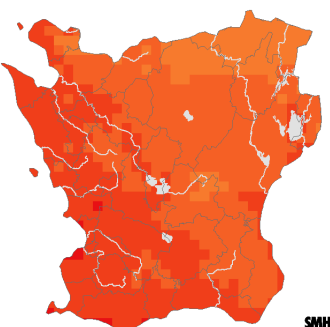
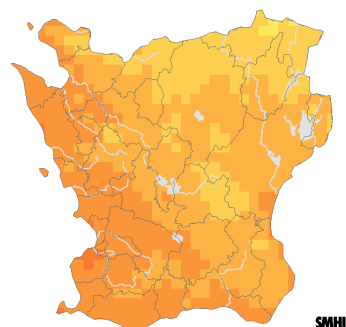


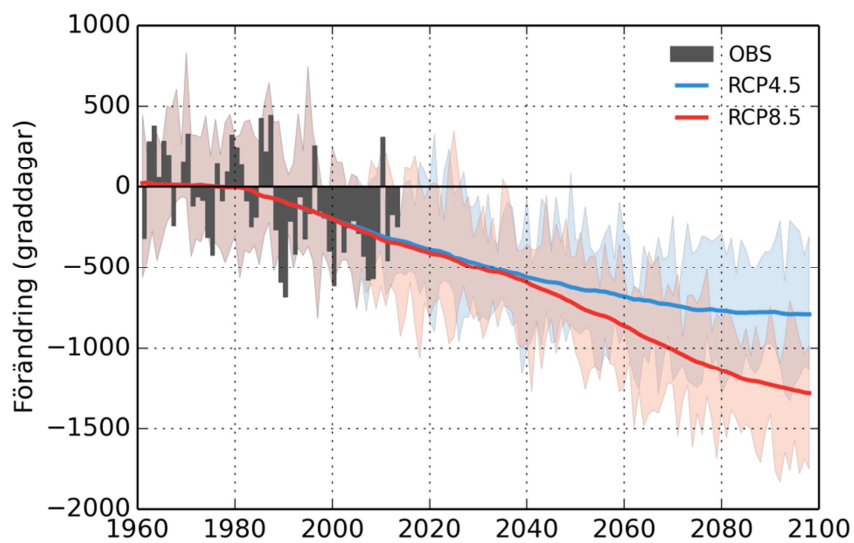
Graddagar

> 5000
4800 - 5000
4600 - 4800
4400 - 4600
4200 - 4400
4000 - 4200
3800 - 4000
3600 - 3800
3400 - 3600
3200 - 3400
3000 - 3200
2800 - 3000
2600 - 2800
2400 - 2600
2200 - 2400
< 2200

RCP4.5

RCP8.5





Behovet av uppvärmning minskar. För referensperioden 1961-1990 var antalet graddagar 3625 i genomsnitt för länet. Temperaturgradienten över länet syns i kartorna som större antal graddagar i norra Skåne och på åsarna jämfört med övriga delar av länet. Under de senaste årtiondena har uppvärmningsbehovet minskat i medeltal, vilket framgår både av kartor och av diagram. Den utvecklingen ser ut att fortsätta och om 25 år är enligt beräkningarna antalet graddagar för länet ca 3000. RCP4.5 visar på ca 2800 graddagar för länet vid seklets slut, med en variationsbredd på 2500-3200 graddagar. RCP8.5 anger en minskning ned mot 2400 graddagar, med variationsbredd 1900-2600 graddagar.

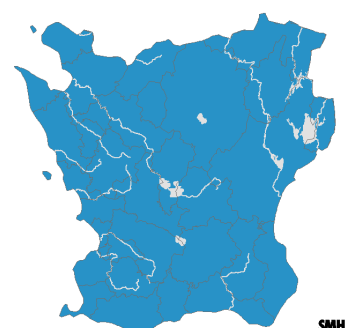
4.10 Graddagar för kylning

Observerat 1961-1990

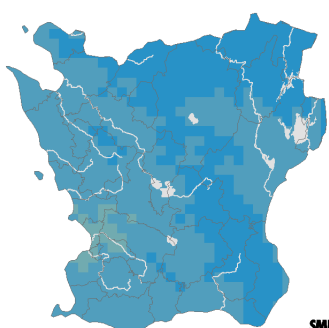


Graddagar för kylning är summan av hela årets dygnsmedeltemperaturer över 20°C. En dygnsmedeltemperatur på 22°C bidrar exempelvis med 2 grader till årssumman. Graddagar för kylning är ett energimått och används för att uppskatta behovet av kylning i bostäder.

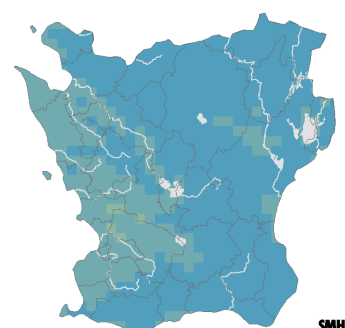
Observerat 1961-1990



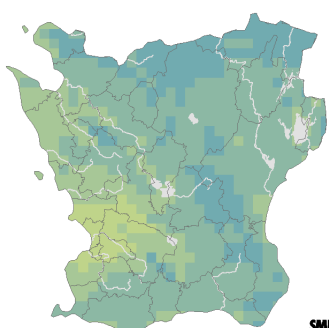
Observerat 1991-2013



Beräknat 2021-2050



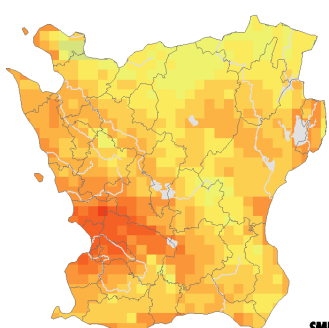
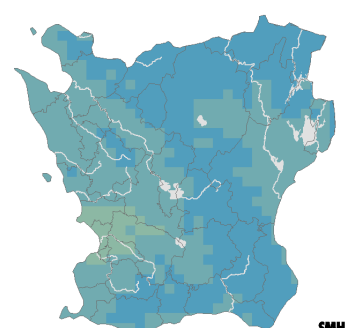
Beräknat 2069-2098

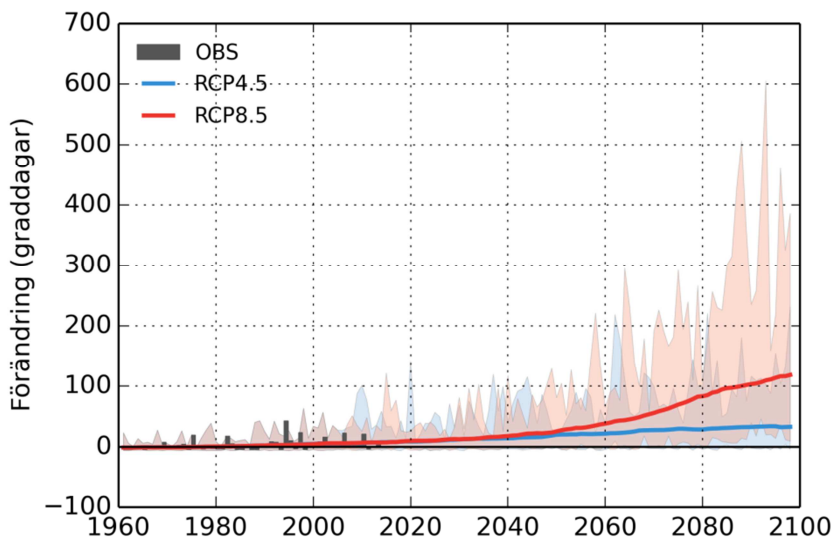


Graddagar

> 150
140 - 150
130 - 140
120 - 130
110 - 120
100 - 110
90 - 100
80 - 90
70 - 80
60 - 70
50 - 60
40 - 50
30 - 40
20 - 30
10 - 20
0 - 10

RCP4.5





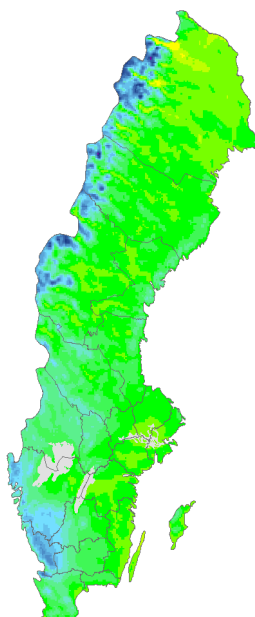
Behoven av kylnings har hittills varit små i Sverige. För Skåne var medeltalet för referensperioden 1961-1990 4 graddagar, enligt den definition som här används. Kylningsbehovet ökar med ökande sommartemperaturer och RCP8.5 visar en markant ökning mot slutet av seklet till i medeltal 120 graddagar men skillnaderna kan vara stora i länet. Norra Skåne och uppe på åsarna blir det inte fullt lika varmt som nere på slätterna och där blir det runt 80 graddagar medan sydvästra Skåne får 120-140 graddagar.

Behoven av energi för kylnings förblir dock mycket litet i jämförelse med uppvärmningsbehovet, även i framtiden.

5 Nederbörd

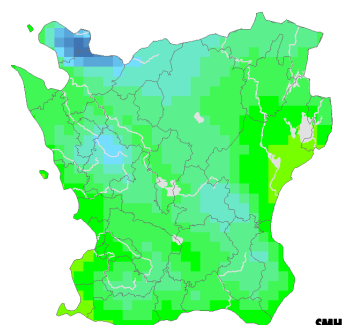
5.1 Årsmedelnederbörd

Observerat 1961-1990

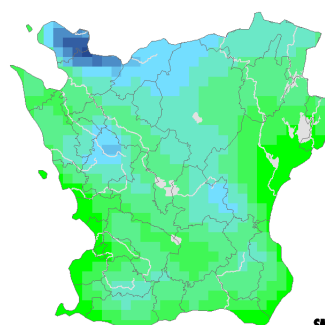


Observerat 1961-1990

Observerat 1991-2013



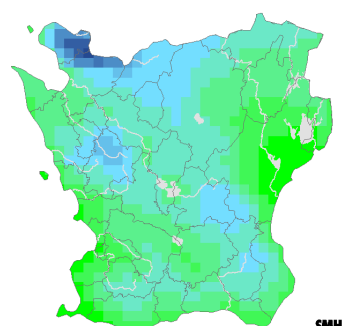
SMHI



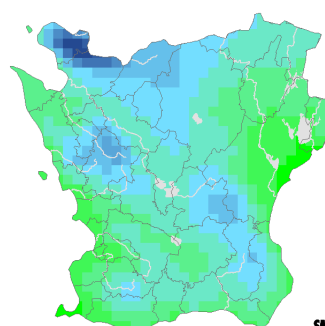
SMHI

Beräknat 2021-2050

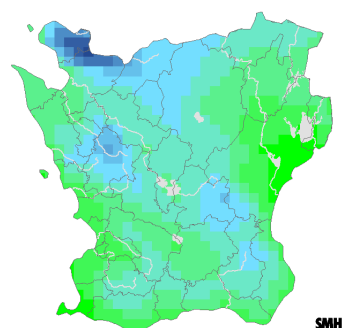
Beräknat 2069-2098



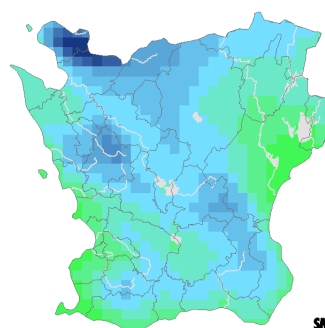
SMHI



SMHI



SMHI



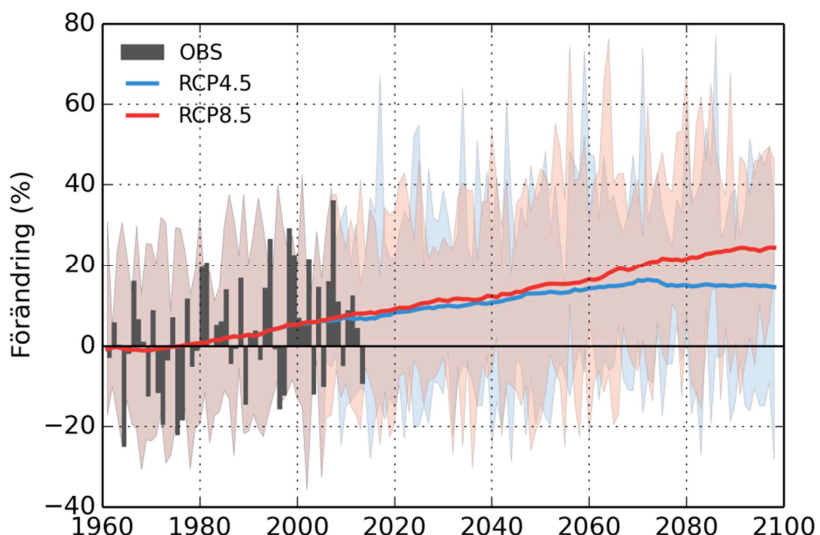
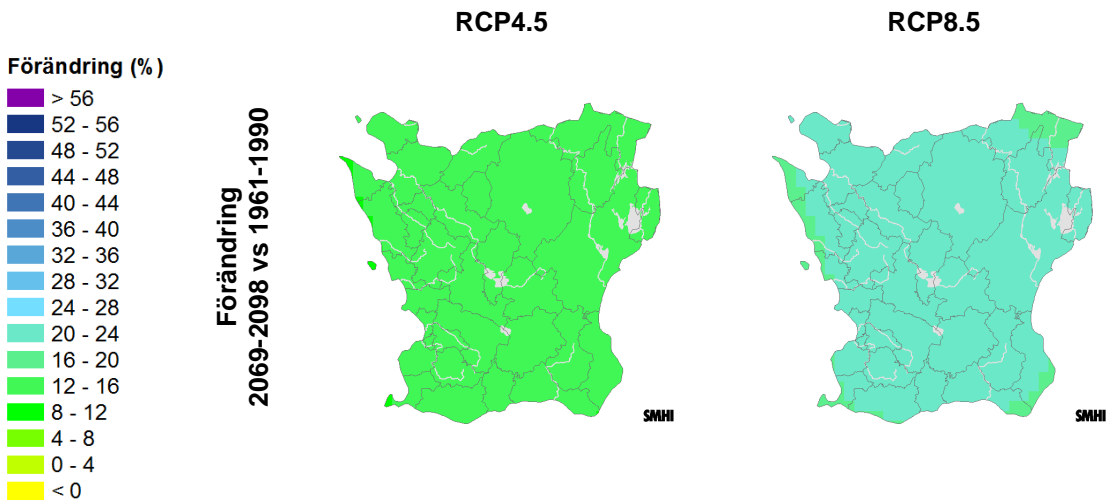
SMHI

Nederbörd (mm)

> 1500
1425 - 1500
1350 - 1425
1275 - 1350
1200 - 1275
1125 - 1200
1050 - 1125
975 - 1050
900 - 975
825 - 900
750 - 825
675 - 750
600 - 675
525 - 600
450 - 525
< 450

RCP4.5

RCP8.5



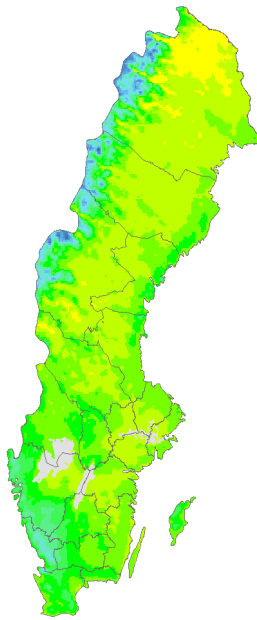
Årsmedelnederbörden i Skåne var under perioden 1961-1990 748 mm. Våra vädersystem kommer vanligen västerifrån och på grund av hävning faller de största mängderna i närheten av åsarna.

Diagrammet visar att mellanårsvariationen är stor (se de svarta observationsstaplarna) Under de senaste 23 åren har nederbörden allmänt ökat något. I ett framtida klimat väntas nederbörden öka, vilket båda RCP-scenarierna visar. Ökningen är störst i RCP8.5, ca 25 % till slutet av seklet, medan RCP4.5 har en ökning på ca 15 %. Förändringskartorna visar att ökningen är ganska jämnt fördelad över länet.

5.2 Medelnederbörd vinter

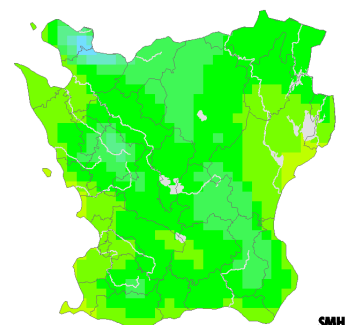
Observerat 1961-1990

Vinter definieras här som perioden december-februari. Kartorna visar medelvärdet av varje periods summerade dygnsnederbörd.

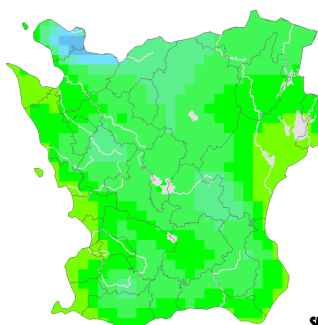


Observerat 1961-1990

Observerat 1991-2013



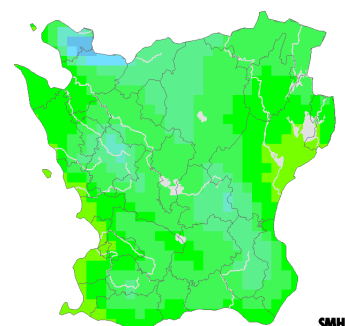
SMHI



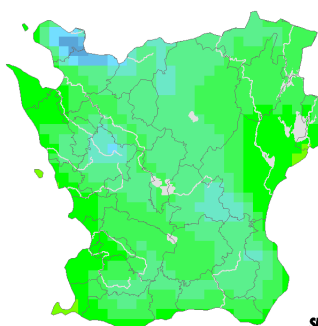
SMHI

Beräknat 2021-2050

Beräknat 2069-2098



SMHI



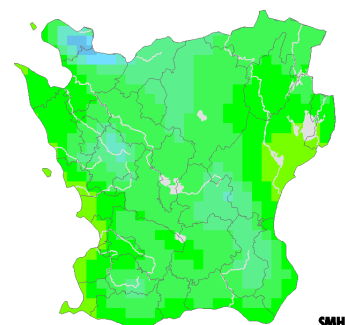
SMHI

RCP4.5

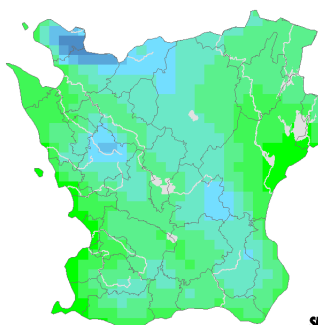
RCP8.5

Nederbörd (mm)

> 520
490 - 520
460 - 490
430 - 460
400 - 430
370 - 400
340 - 370
310 - 340
280 - 310
250 - 280
220 - 250
190 - 220
160 - 190
130 - 160
100 - 130
< 100

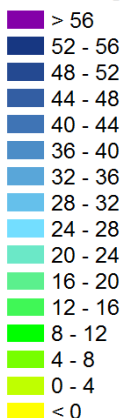


SMHI



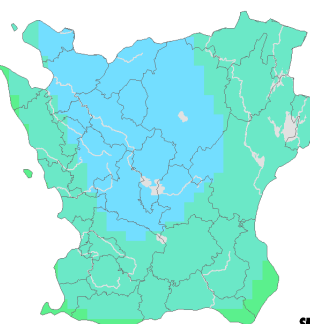
SMHI

Förändring (%)



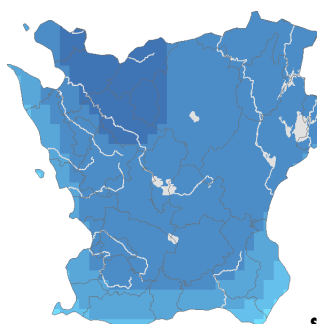
Förändring
2069-2098 vs 1961-1990

RCP4.5

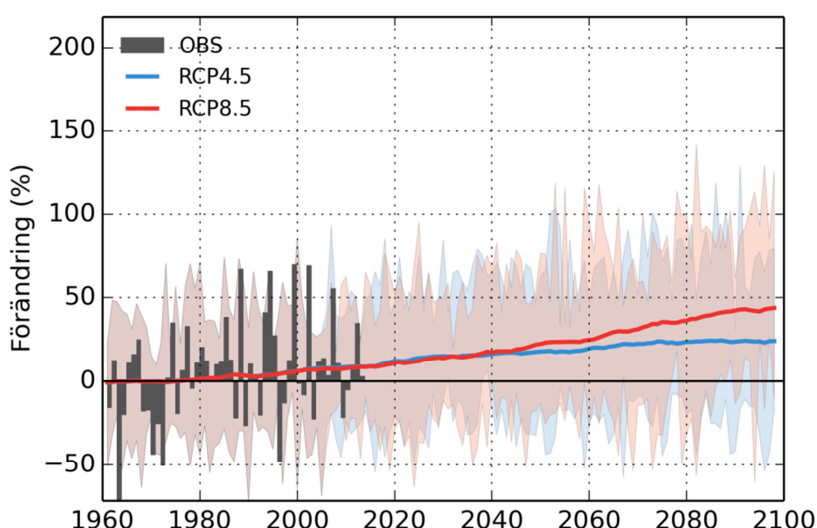


SMHI

RCP8.5



SMHI

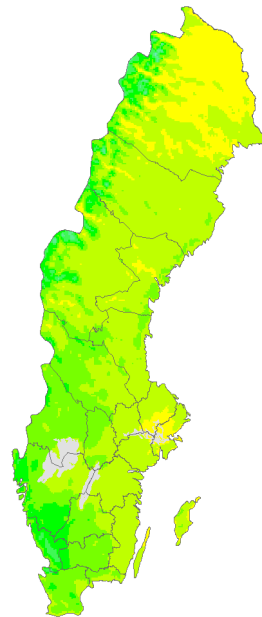


Vinternederbörd i Skåne faller som regn men tidvis även snö. Nederbördens är jämnt fördelad över länet, årsmedelvärdet i smält form var under perioden 1961-1990 174 mm. Slätterna får generellt lite mindre nederbörd än runt åsarna. Diagrammet visar att mellanårsvariationen är mycket stor (70 mm till 290 mm). Liksom årsmedelnederbördens har vinternederbördens ökat de senaste 23 åren. RCP8.5 visar på störst ökning till slutet av seklet, upp mot 50 %, och största ökningen är koncentrerad till länets norra del. RCP4.5 visar på ungefär hälften så stor ökning till slutet av seklet. I och med ett varmare klimat kommer nederbördens oftast att falla som regn och det blir ganska sällan snöfall över Skåne.

5.3 Medelnederbörd vår

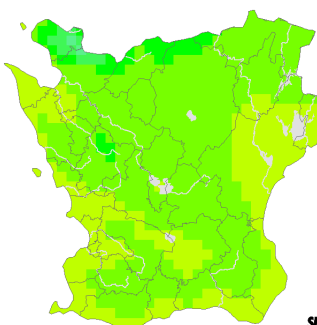
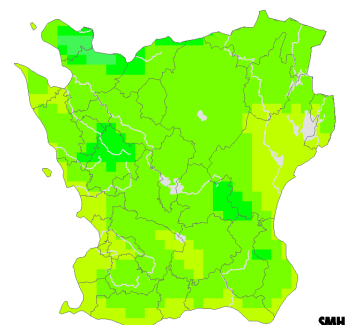
Observerat 1961-1990

Vår definieras här som perioden mars-maj. Kartorna visar medelvärdet av varje periods summerade dygnsnederbörd.



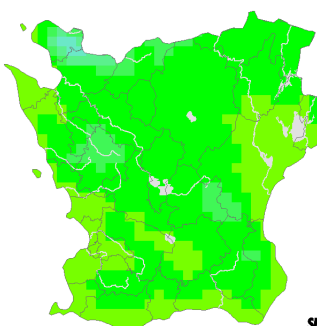
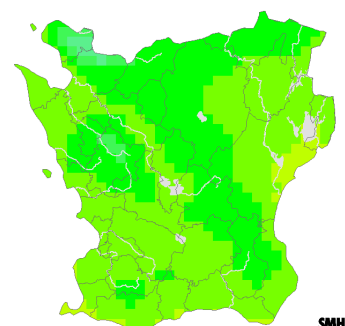
Observerat 1961-1990

Observerat 1991-2013



Beräknat 2021-2050

Beräknat 2069-2098

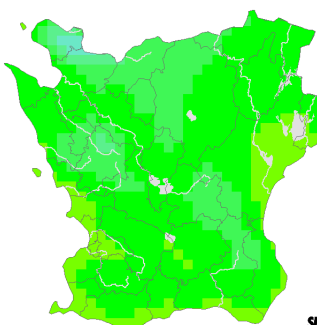
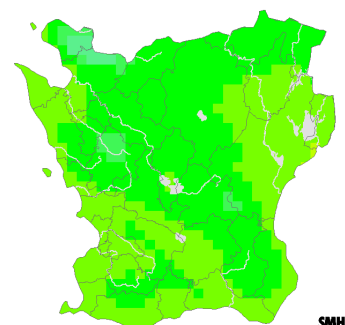


Nederbörd (mm)

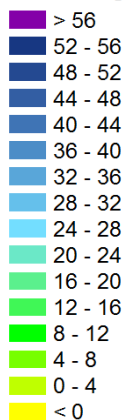
> 520
490 - 520
460 - 490
430 - 460
400 - 430
370 - 400
340 - 370
310 - 340
280 - 310
250 - 280
220 - 250
190 - 220
160 - 190
130 - 160
100 - 130
< 100

RCP4.5

RCP8.5

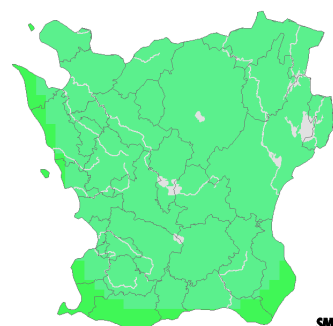


Förändring (%)



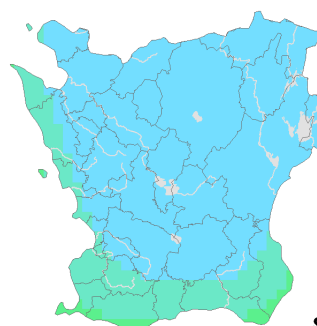
Förändring
2069-2098 vs 1961-1990

RCP4.5

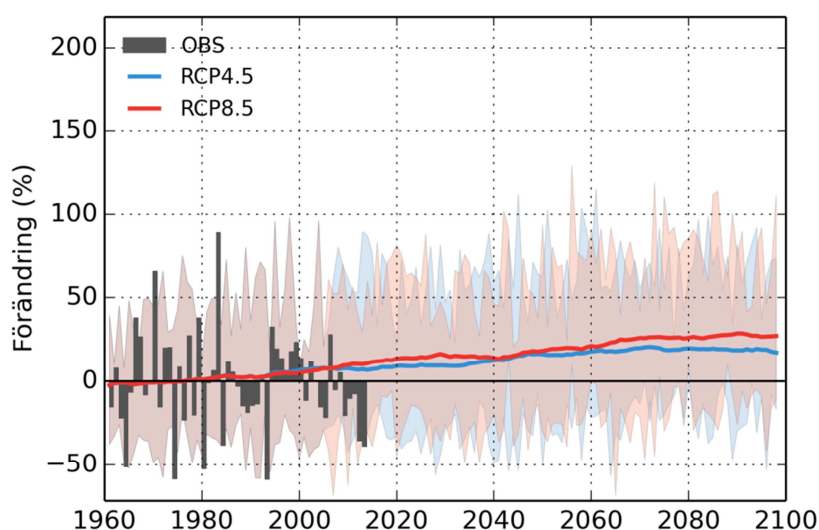


SMHI

RCP8.5



SMHI

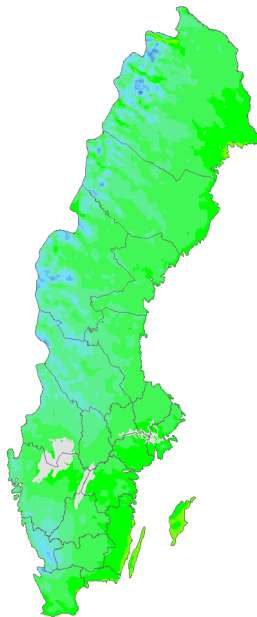


Vårnederbörden är jämnt fördelad över länet och summeras till 142 mm för perioden 1961-1990, men mellanårsvariationen är stor (60mm till 270 mm). I slutet av seklet väntas en ökning av vårnederbörden med ca 15 % enligt RCP4.5 och ca 30 % enligt RCP8.5.

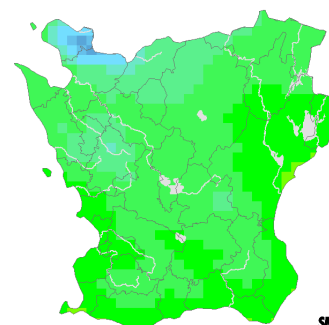
5.4 Medelnederbörd sommar

Observerat 1961-1990

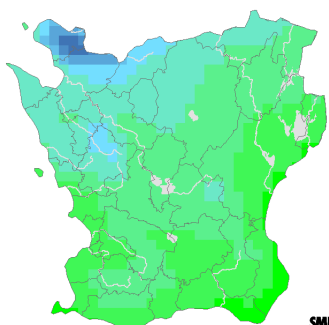
Sommar definieras här som perioden juni-augusti. Kartorna visar medelvärdet av varje periods summerade dygnsnederbörd.



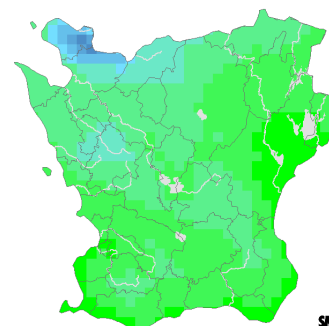
Observerat 1961-1990



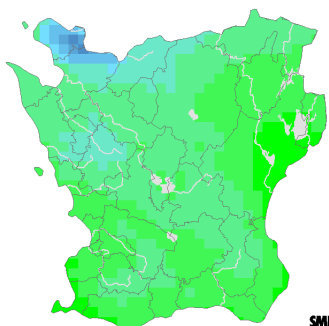
Observerat 1991-2013



Beräknat 2021-2050



Beräknat 2069-2098

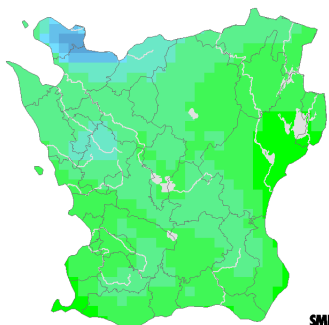
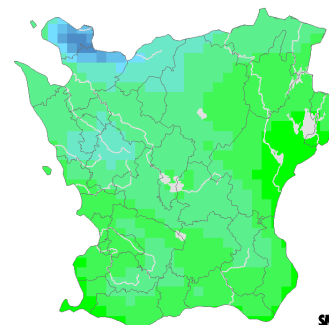


Nederbörd (mm)

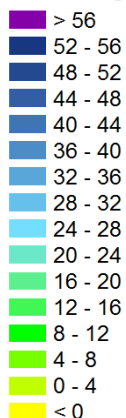
> 520
490 - 520
460 - 490
430 - 460
400 - 430
370 - 400
340 - 370
310 - 340
280 - 310
250 - 280
220 - 250
190 - 220
160 - 190
130 - 160
100 - 130
< 100

RCP4.5

RCP8.5

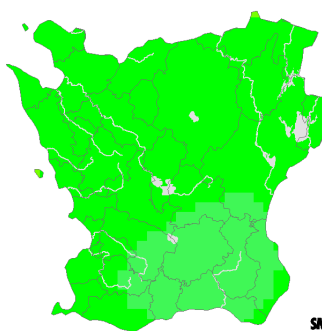


Förändring (%)

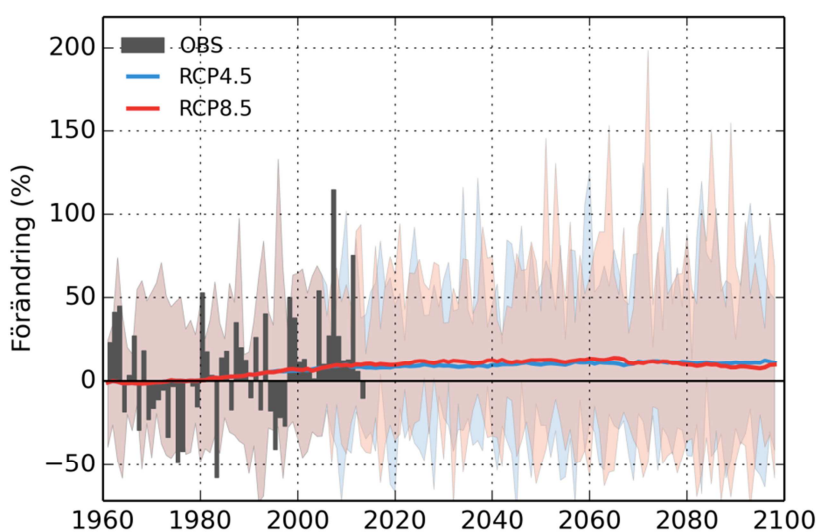
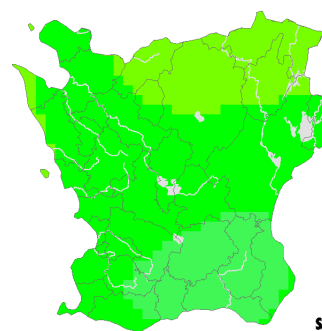


Förändring
2069-2098 vs 1961-1990

RCP4.5



RCP8.5

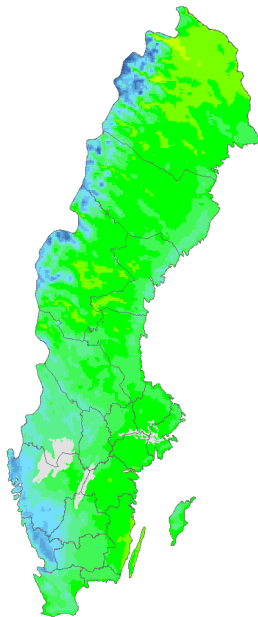


Sommarnederbördens i Skåne är i medeltal 203 mm för referensperioden 1961-1990. Variationen mellan år är dock stor (100 mm till 430 mm). I diagrammet syns några ovanligt blöta förhållande i början av 2010-talet och de avspeglas även kartan för perioden 1991-2013. Enligt klimatscenarierna sker en svag ökning av sommarnederbördens, i jämförelse med referensperioden, och når fram till slutet av seklet ca 15 % enligt både scenarierna.

5.5 Medelnederbörd höst

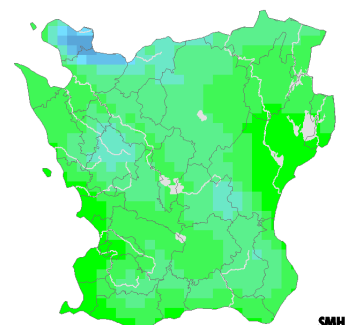
Observerat 1961-1990

Höst definieras här som perioden september-november. Kartorna visar medelvärdet av varje periods summerade dygnsnederbörd.

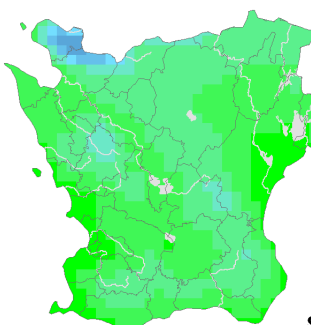


Observerat 1961-1990

Observerat 1991-2013



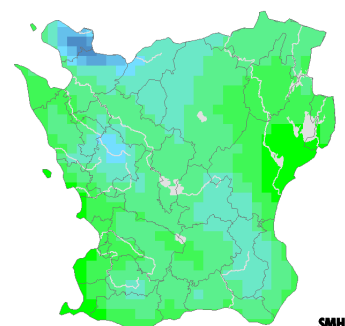
SMHI



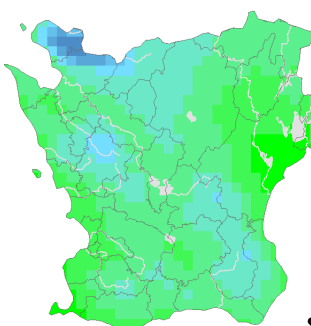
SMHI

Beräknat 2021-2050

Beräknat 2069-2098



SMHI



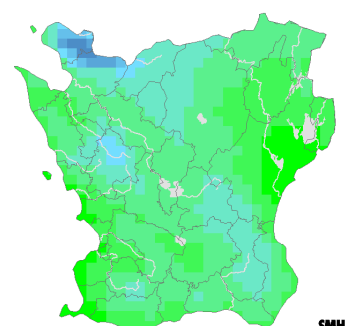
SMHI

RCP4.5

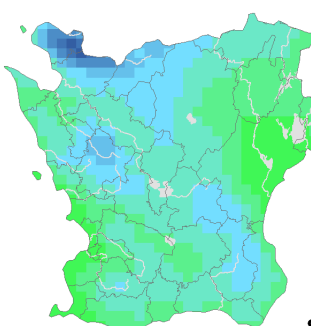
RCP8.5

Nederbörd (mm)

> 520
490 - 520
460 - 490
430 - 460
400 - 430
370 - 400
340 - 370
310 - 340
280 - 310
250 - 280
220 - 250
190 - 220
160 - 190
130 - 160
100 - 130
< 100

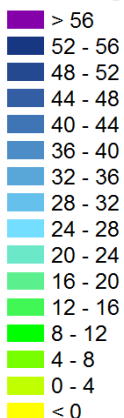


SMHI



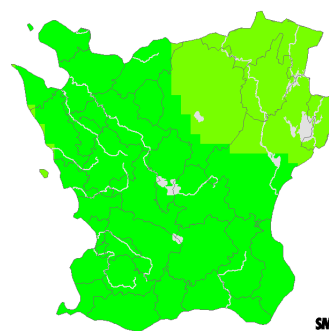
SMHI

Förändring (%)

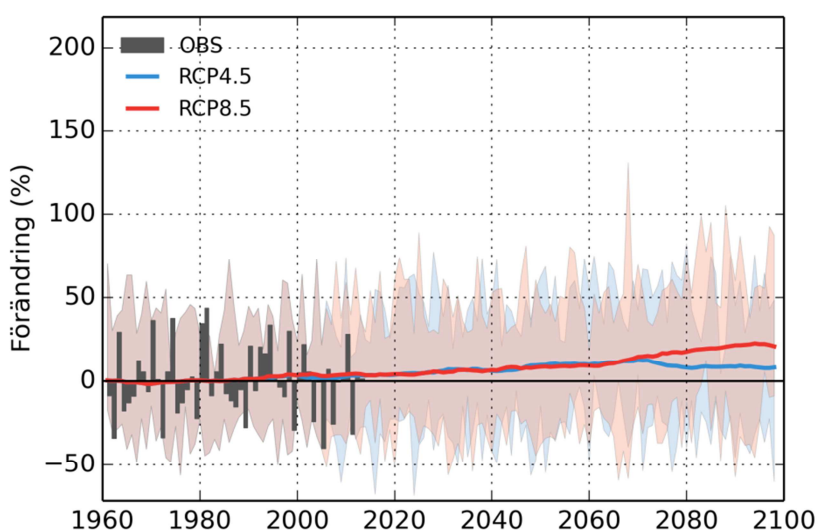
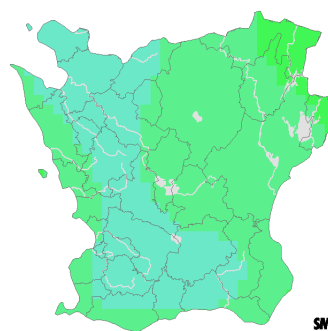


Förändring
2069-2098 vs 1961-1990

RCP4.5



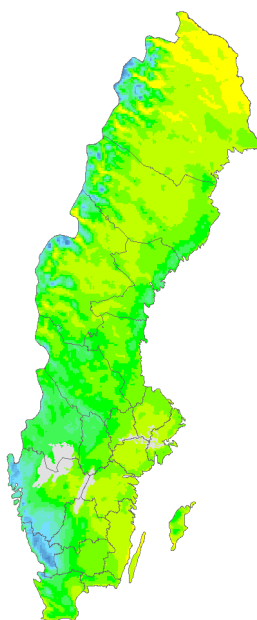
RCP8.5



Hösten är årstiden med störst nederbördsmängder i Skåne, i medeltal 219 mm för referensperioden 1961-1990. Mellanårsvariationen är inte lika stor som för de andra årstiderna. Till mitten av seklet ger de båda RCP-scenarierna mycket lika resultat, en ökning på ca 10 % väntas. RCP 4.5 visar liten förändring till slutet av seklet, medan RCP8.5 visar en ökning på ca 20 %. Störst ökning sker i västra Skåne.

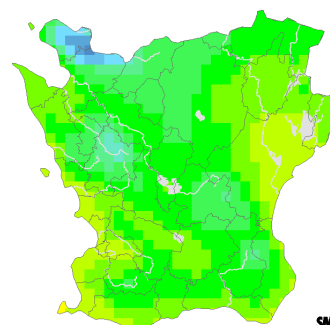
5.6 Antal dagar med mer än 10 mm nederbörd

Observerat 1961-1990

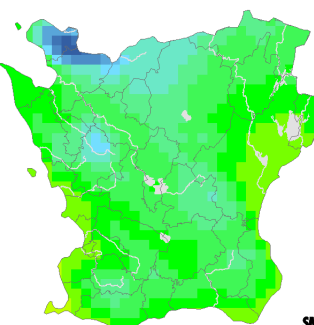


Kartorna visar medelvärdet av varje års totala antal dagar då nederbörden överstiger 10 mm. Det är ett mått på förekomsten av stora regnmängder som kan leda till översvämningar.

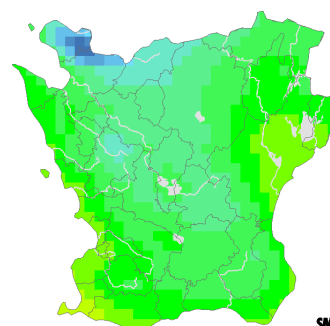
Observerat 1961-1990



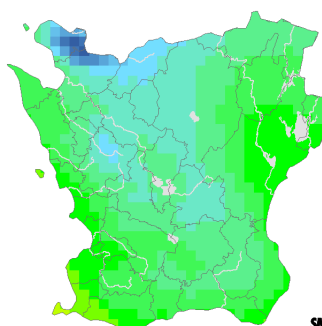
Observerat 1991-2013



Beräknat 2021-2050



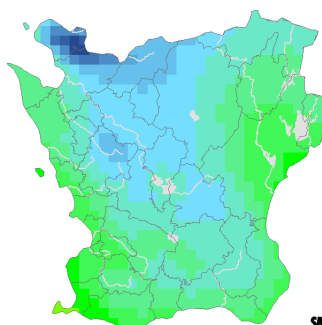
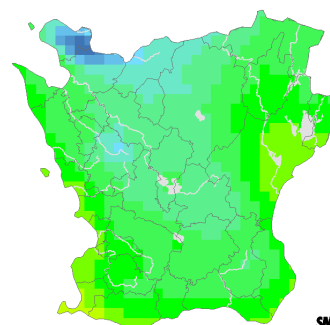
Beräknat 2069-2098



RCP4.5

RCP8.5

Antal dagar
> 52
49 - 52
46 - 49
43 - 46
40 - 43
37 - 40
34 - 37
31 - 34
28 - 31
25 - 28
22 - 25
19 - 22
16 - 19
13 - 16
10 - 13
< 10

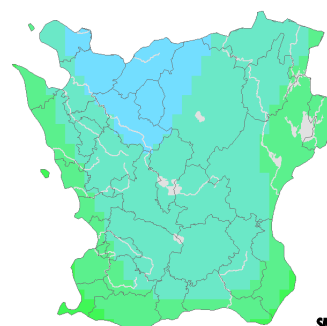


Antal dagar

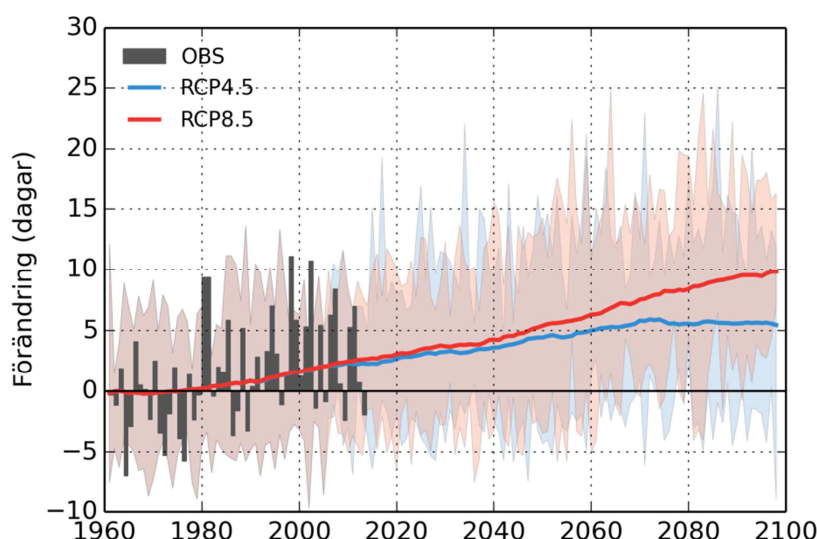
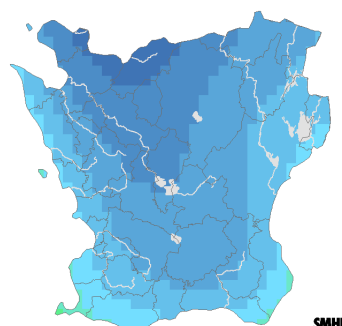
>14
14
13
12
11
10
9
8
7
6
5
4
3
2
1
0

Förändring
2069-2098 vs 1961-1990

RCP4.5



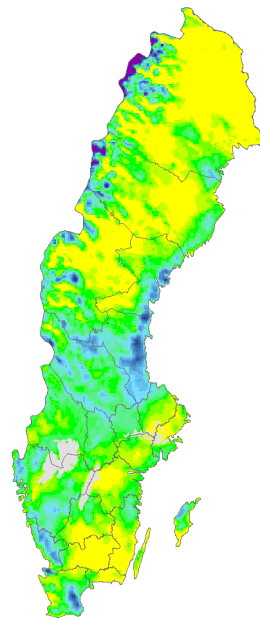
RCP8.5



Under referensperioden 1961-1990 uppmättes mer än 10 mm nederbörd på ett dygn i genomsnitt 17 gånger på ett år. Under de senaste drygt 20 åren har antalet blöta dagar ökat, vilket framgår av diagrammet. Skåne väntas få fler sådana tillfällen i framtiden, enligt RCP4.5 ökar antalet dagar med ca 5 och enligt RCP8.5 med ca 10. Ökningen är störst i norra delarna av länet.

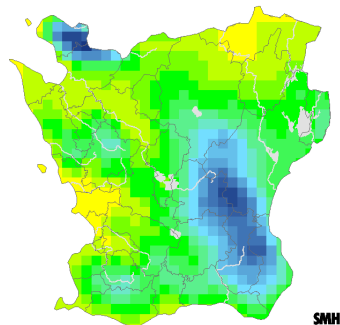
5.7 Maximal dygnsnederbörd

Observerat 1961-1990 Indexet är ett mått på årets största dygnsnederbörd. Resultaten presenteras som medelvärdet över angiven period. Indexet är ett mått på risken för skyfall.

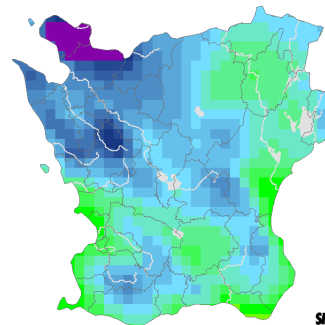


Observerat 1961-1990

Observerat 1991-2013



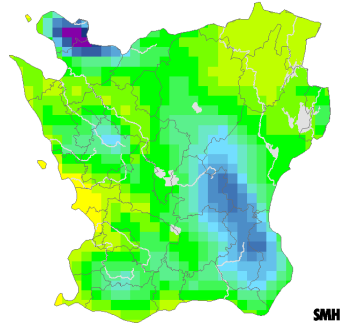
SMHI



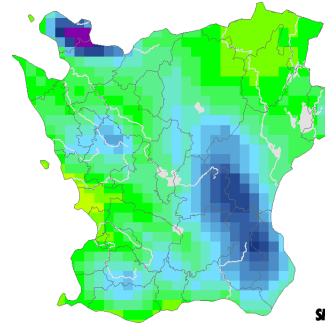
SMHI

Beräknat 2021-2050

Beräknat 2069-2098



SMHI



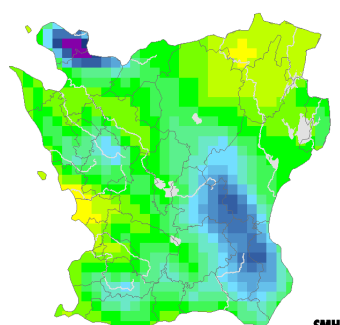
SMHI

RCP4.5

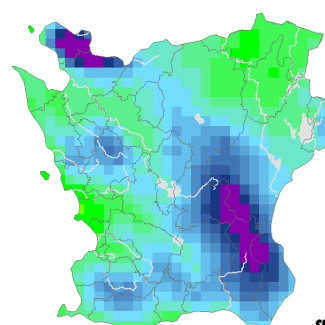
RCP8.5

Nederbörd (mm)

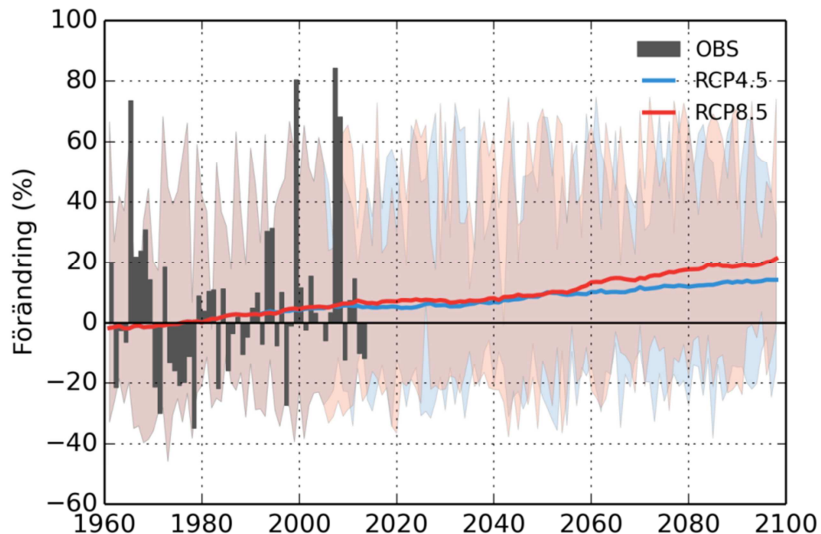
> 41
41
40
39
38
37
36
35
34
33
32
31
30
29
28
< 28



SMHI



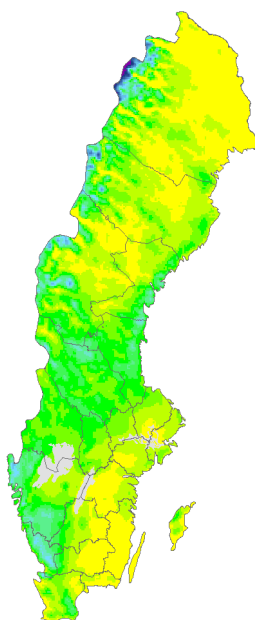
SMHI



Det geografiska medelvärdet av årets största dygnsnederbörd för perioden 1961-1990 är 30 mm, men enligt diagrammet varierar mängden mycket från år till år (20 mm till 55 mm). Ett enskilt regn kan ge betydligt större regnmängder. Av kartor och diagram framträder en ökning under 1991-2013 och länet kan väntas få fler sådana tillfällen i framtiden. RCP8.5 ger en ökning av dygnsnederbörden på 20 % till slutet av seklet medan RCP4.5 visar på något mindre förändring. Kartorna med observerade värden för de två historiska tidsperioderna visar att den geografiska förekomsten av maximal dygnsnederbörd är oregelbunden, vilket betyder att ett kraftigt regn kan förekomma i princip var som helst i länet. Nederbördsmönstret i scenariokartorna bör alltså tolkas med försiktighet.

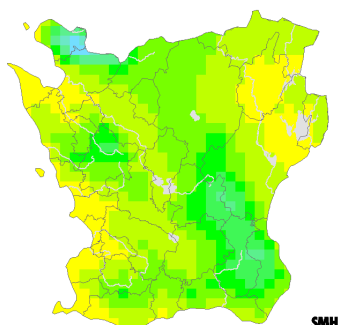
5.8 Maximal 7-dygnsnederbörd

Observerat 1961-1990

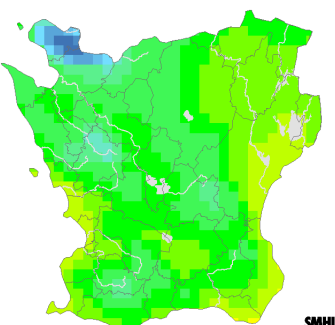


Indexet är ett mått på årets största 7-dygnsnederbörd. Resultaten presenteras som medelvärdet över angiven period. Indexet kan till exempel användas för bedömning av förändringar i vattenflöde i små och medelstora naturvattendrag och diken.

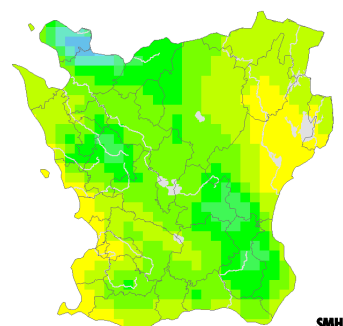
Observerat 1961-1990



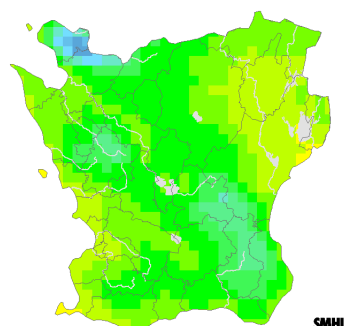
Observerat 1991-2013



Beräknat 2021-2050



Beräknat 2069-2098

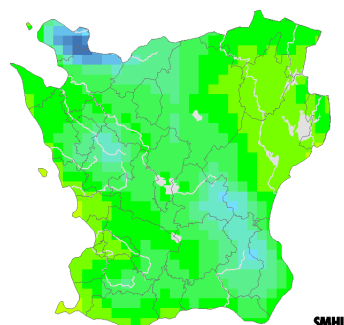
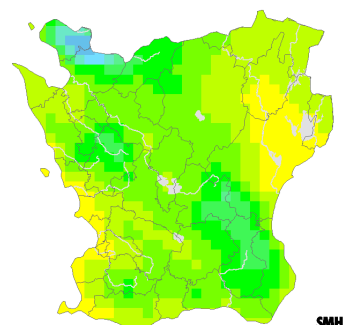


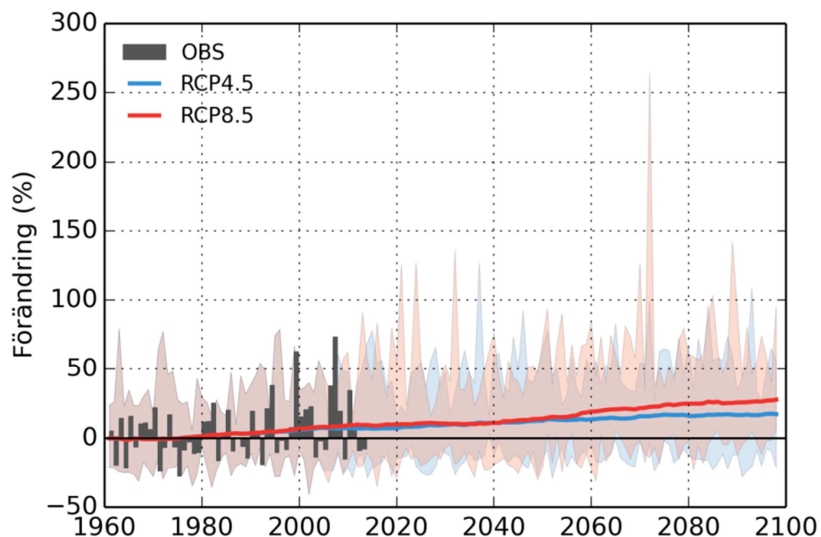
Nederbörd (mm)

> 130
125 - 130
120 - 125
115 - 120
110 - 115
105 - 110
100 - 105
95 - 100
90 - 95
85 - 90
80 - 85
75 - 80
70 - 75
65 - 70
60 - 65
< 60

RCP4.5

RCP8.5





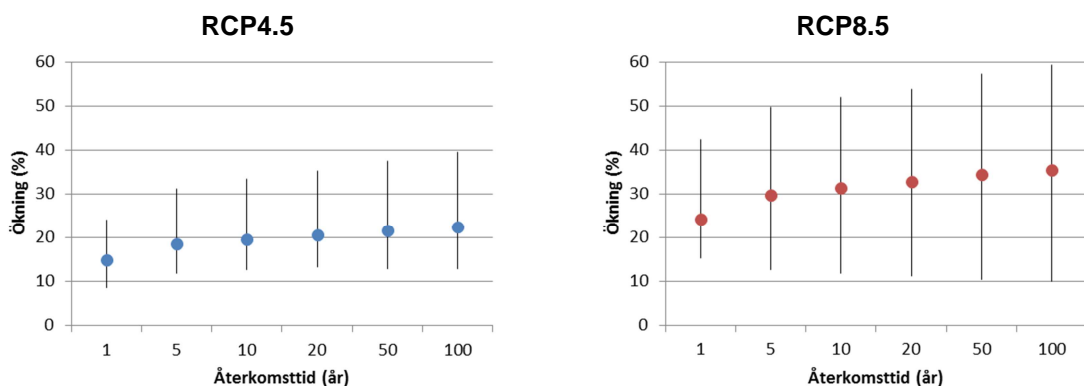
Det geografiska medelvärdet av årets största 7-dygrsnederbörd för perioden 1961-1990 är 65 mm, men som diagrammet visar varierar mängden mycket från år till år. Ett enskilt regn kan ge större regnmängder, exempelvis har det under 2000-talet förekommit ett par tillfällen med ovanligt mycket regn. Scenarierna visar på en ökning av 7-dygrsnederbörden jämfört med referensperioden, RCP8.5 ger en ökning på ca 30 % till slutet av seklet och RCP4.5 visar på ca 20 %. Enligt båda scenarierna väntas de största mängderna på västra sidan om åsarna.

5.9 Förändring av korttidsnederbörd

I föregående avsnitt har nederbörd analyserats utifrån dygnsvärden, både på års-, säsongs- och dygnsbasis. SMHI har även gjort studier av hur intensiv nederbörd kan förändras i framtiden.

Som underlag till Dricksvattenutredningen publicerades en rapport som bland annat innehåller kartor på Sverigeskala över så kallad framtida extrem korttidsnederbörd (Eklund m.fl., 2015). Baserat på den studien har nedanstående diagram framtagits för Skåne län över extrem nederbörd med 1-timmes varaktighet (figur 4). Diagrammen beskriver den procentuella ökningen av 1-timmesnederbörd för perioden 2069-2098 jämfört med referensperioden 1961-1990.

Resultatet presenteras för olika återkomsttider, ett mått på hur ofta förekomsten av extrema naturliga händelser kan förväntas. Med en händelses återkomsttid menas att händelsen i genomsnitt inträffar eller överträffas en gång under denna tid. Se ytterligare förklaring i Ordlistan.

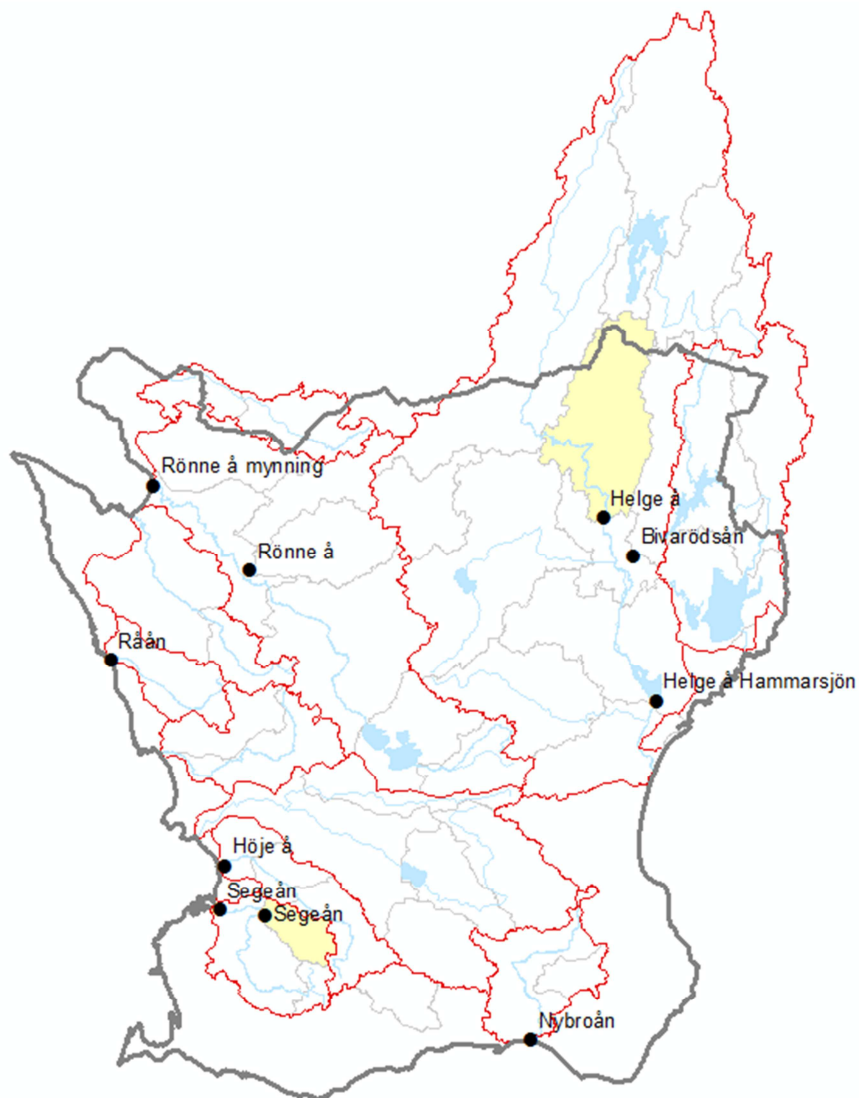


Figur 4. Procentuell förändring av nederbörd med varaktigheten 1 timme mellan perioderna 2069-2098 och 1961-1990 för Skåne län. Punkterna representerar medianvärden och vertikala streck visar spridningen mellan de olika modellberäkningarna.

Den extrema 1-timmesnederbördens förväntas öka, och RCP8.5 visar på större förändring än RCP4.5. Ökningen är störst för de längre återkomsttiderna, dvs. de mer ovanliga extrema skurarna, enligt medianvärdena. Dock visar beräkningarna även på 15-25 % ökning för de årligen återkommande skurarna.

6 Total medeltillrinning

Avsnittet behandlar den totala tillrinningen dvs. det ackumulerade flödesbidraget från alla avrinningsområden som ligger uppströms, även utanför länsgränsen. Indexen kan vara av intresse för att bedöma vattentillgång till kraftproduktion och vattenuttag, samt för planering av markanvändning, som exploatering i områden kring sjöar och vattendrag. I Figur 5 är de utvalda vattendragen för analys av total tillrinning markerade med punkter. Gula områden används för analyser av lokal tillrinning, vilka redovisas i avsnitt 7.



Figur 5. Kartan visar avrinningsområden (röda linjer) och delområden enligt HBV-modellen (ljusgrå linjer). De markerade vattendragspunkterna relaterar till diagrammen över total tillrinning i rapporten. De gulmarkerade områdena avser beräkningarna för lokal tillrinning och markfuktighet. Skåne län markeras med grå linjer.

6.1 Förändrad total medeltillrinning för år och säsonger

I diagrammen på följande sidor redovisas beräkningar av framtidens hydrologiska förhållanden avseende total tillrinning.

För länet ses en ökning av årstillskrivningen med uppemot 10 % i slutet av seklet. De båda scenarierna följs åt under större delen av den analyserade perioden.

Den största förändringen av totala tillrinningen sker för vinterperioden eftersom mer nederbörd väntas i framtiden och att vintrarna blir mildare. Mot slutet av seklet ses en generell ökning över länet, för RCP8.5 ligger den mellan 35-45 % och för RCP4.5 20-30 %.

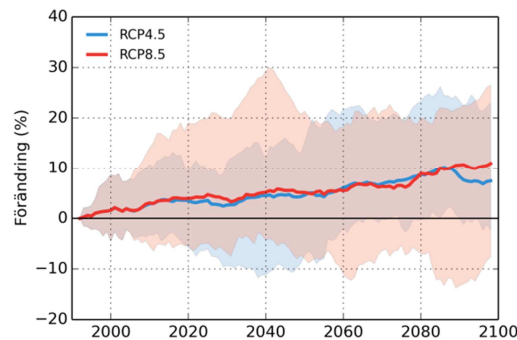
Totala medeltillrinningen under våren minskar för samtliga vattendrag, förutom för Helge å som RCP4.5 visar på oförändrade förhållanden för.

Under sommaren minskar den totala årstillskrivningen för Bivarödsån, Helge å och i viss mån Rönne å. För övriga analyserade vattendrag är förhållandena oförändrade.

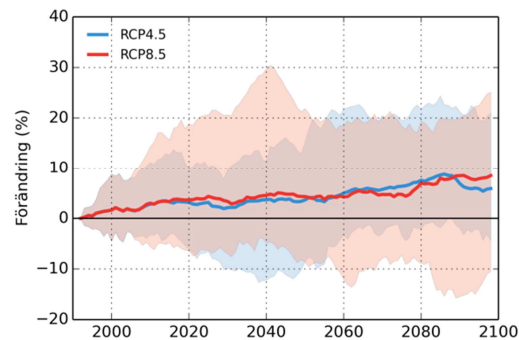
Medeltillrinningen under hösten ser ut att öka för samtliga vattendrag förutom Bivarödsån och Helge å där den ser ut att bli oförändrad.

Förändrad total årsmedeltillrinning

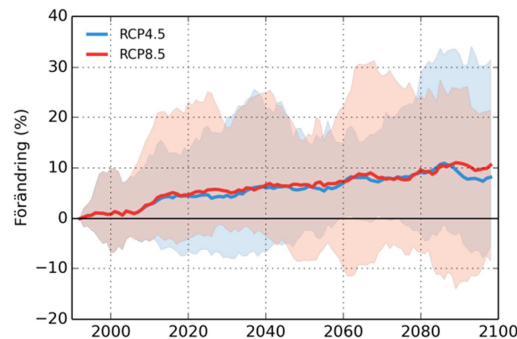
Bivarödsån



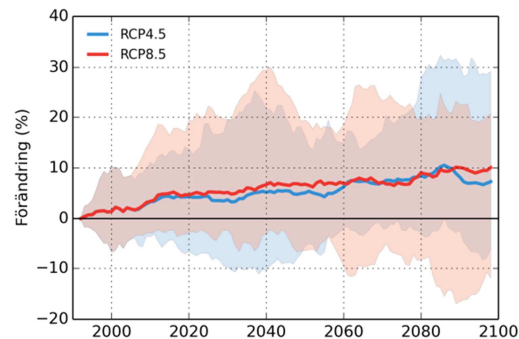
Helge å utlopp i Hammarsjön



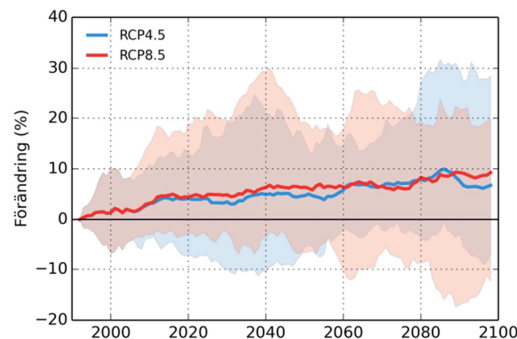
Nybroåns utlopp i Östersjön



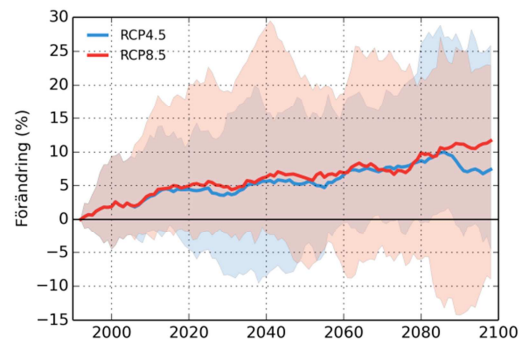
Segeåns mynning



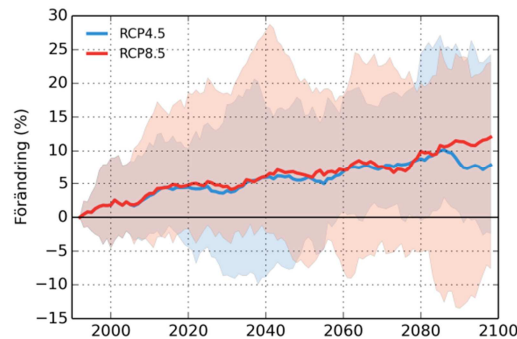
Höje å utlopp i Öresund



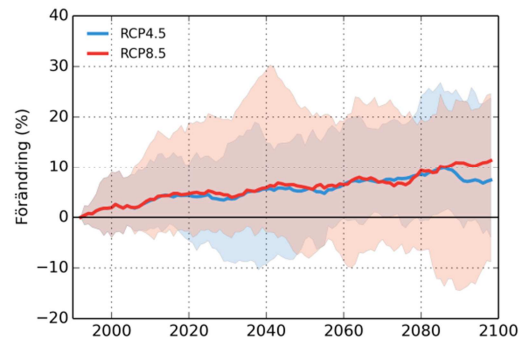
Rååns utlopp i Öresund



Rönneå vid Klippan2

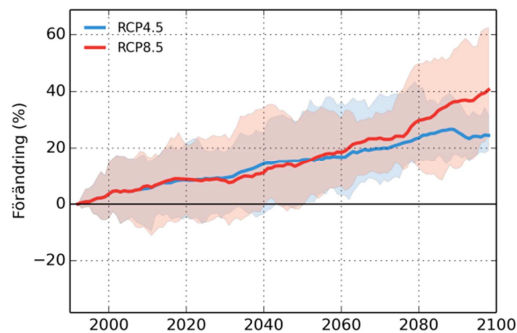


Rönne å mynning

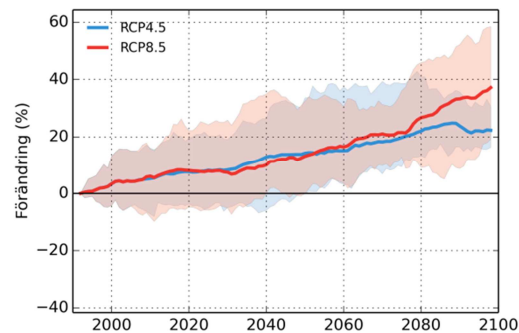


Förändrad total medeltillrinning vinter

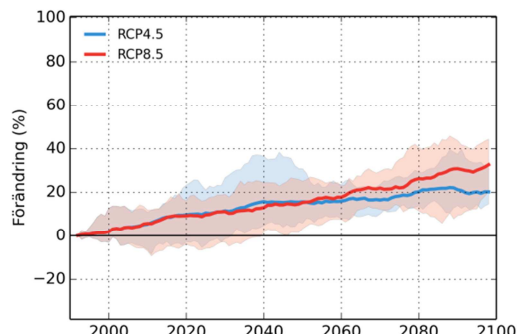
Bivarödsån



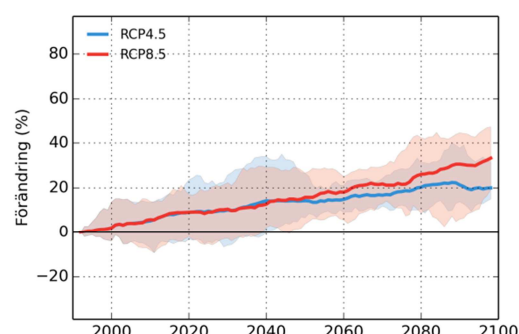
Helge å utlopp i Hammarsjön



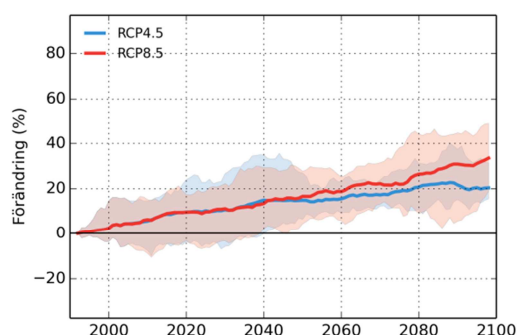
Nybroåns utlopp i Östersjön



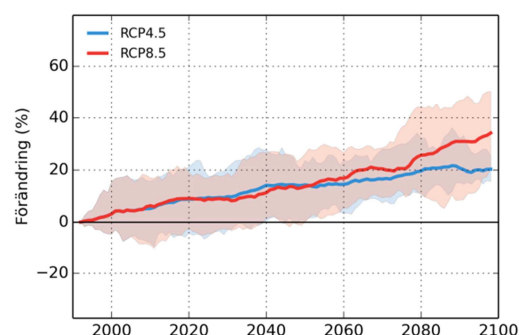
Segeåns mynning



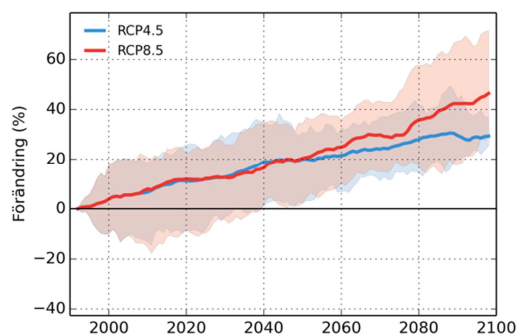
Höje å utlopp i Öresund



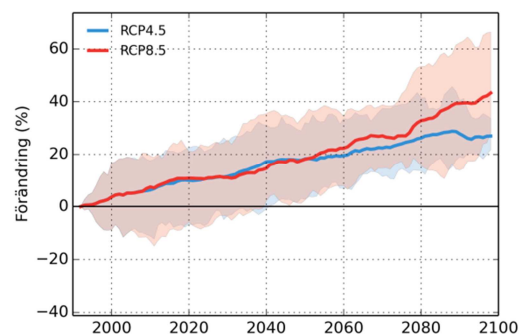
Rååns utlopp i Öresund



Rönneå vid Klippan2

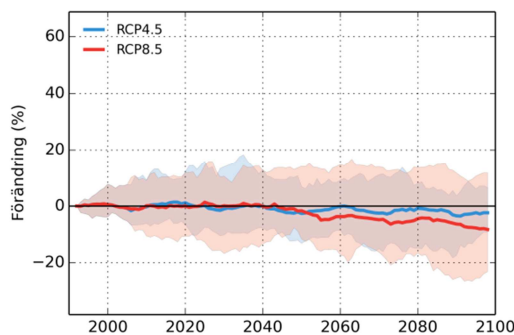


Rönneå mynning

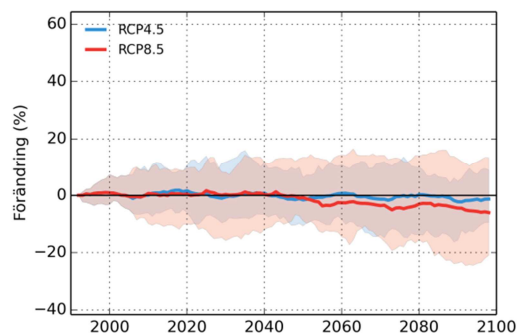


Förändrad total medeltillrinning vår

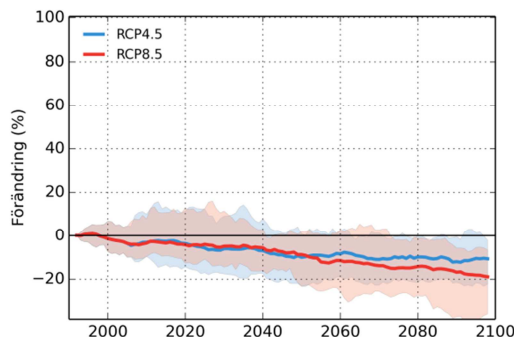
Bivarödsån



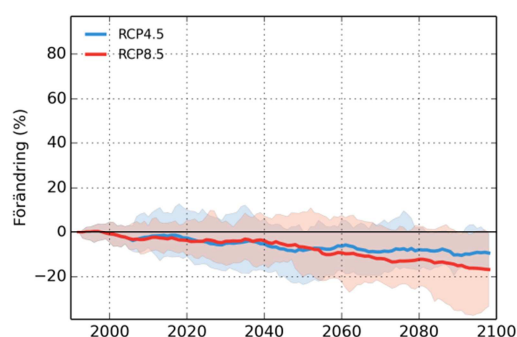
Helge å utlopp i Hammarsjön



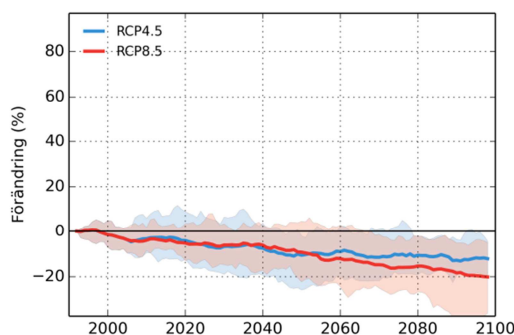
Nybroåns utlopp i Östersjön



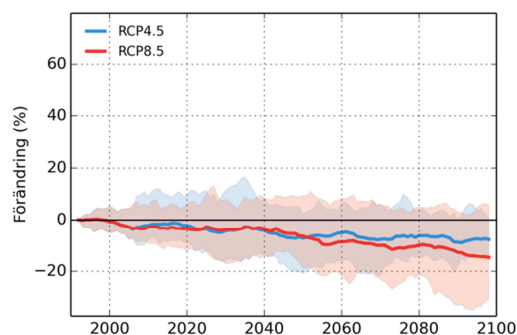
Segeåns mynning



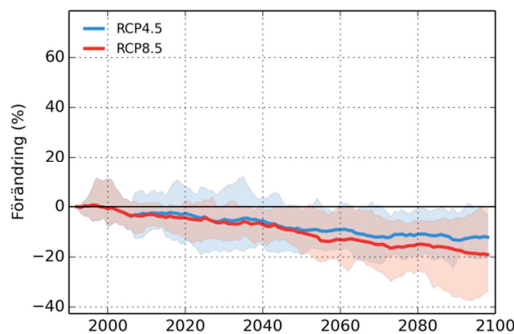
Höje å utlopp i Öresund



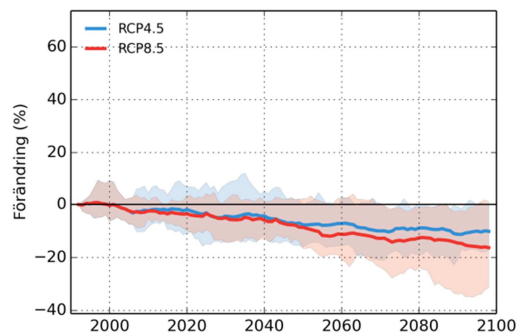
Rååns utlopp i Öresund



Rönneå vid Klippan2

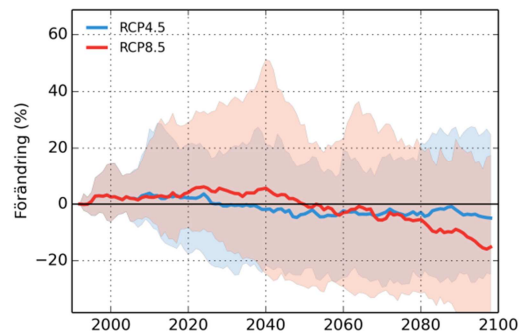


Rönne å mynning

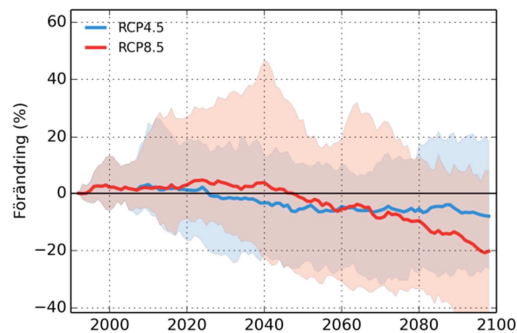


Förändrad total medeltillrinning sommar

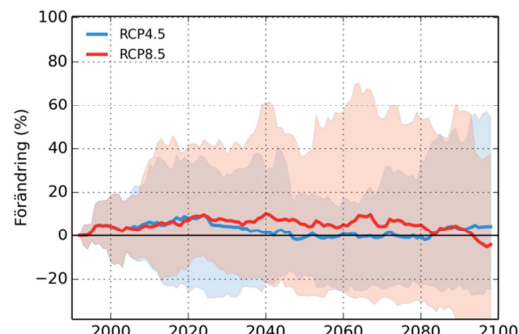
Bivarödsån



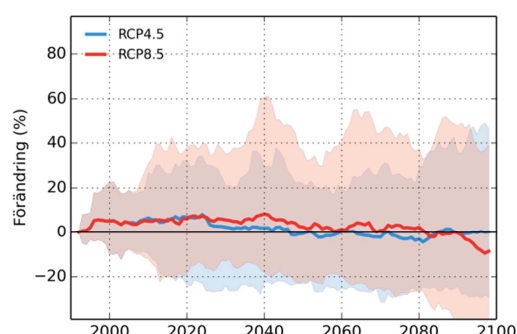
Helge å utlopp i Hammarsjön



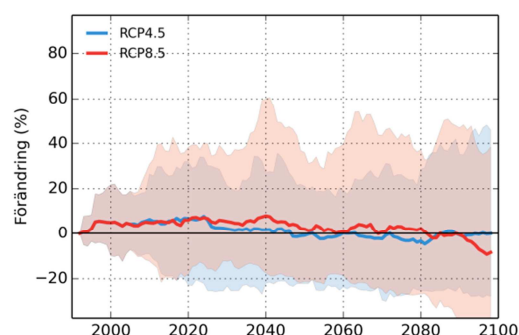
Nybroåns utlopp i Östersjön



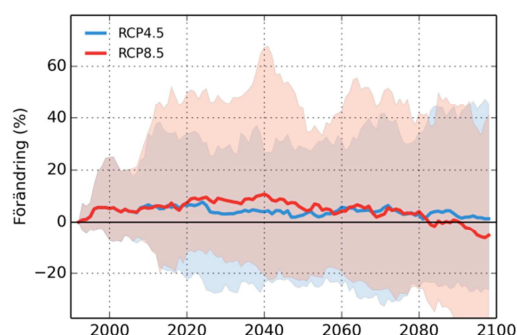
Segeåns mynning



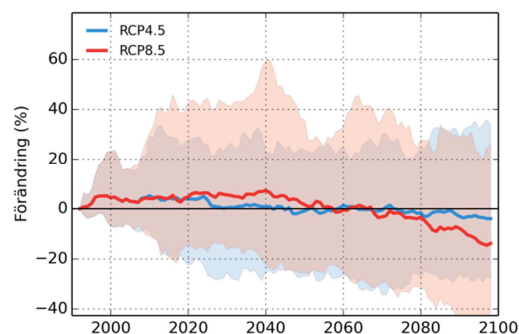
Höje å utlopp i Öresund



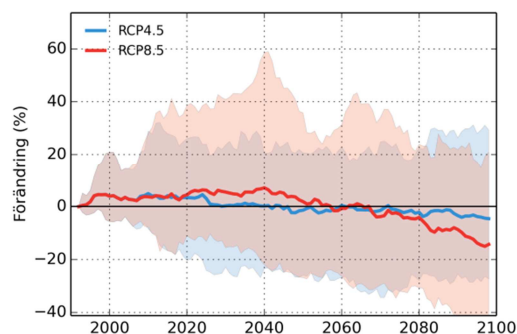
Rååns utlopp i Öresund



Rönneå vid Klippan2

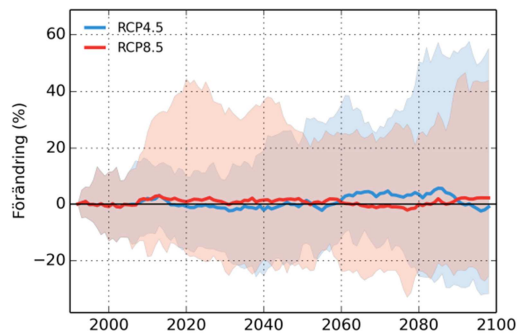


Rönne å mynning

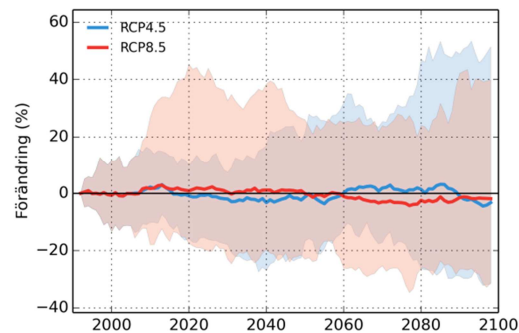


Förändrad total medeltillrinning höst

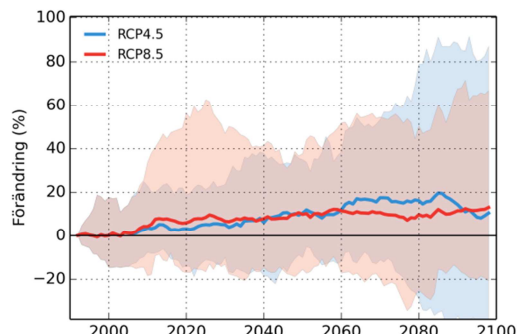
Bivarödsån



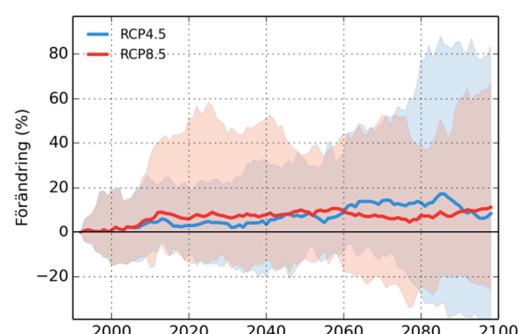
Helge å utlopp i Hammarsjön



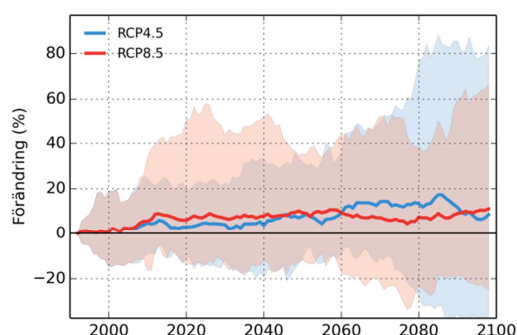
Nybroåns utlopp i Östersjön



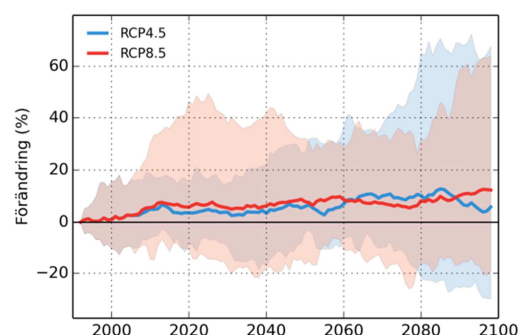
Segeåns mynning



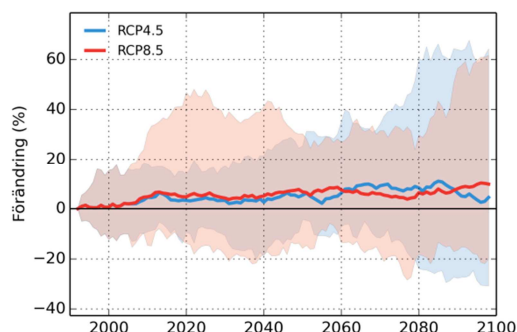
Höje å utlopp i Öresund



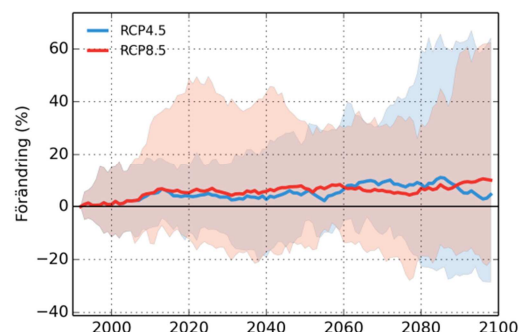
Rååns utlopp i Öresund



Rönneå vid Klippan2

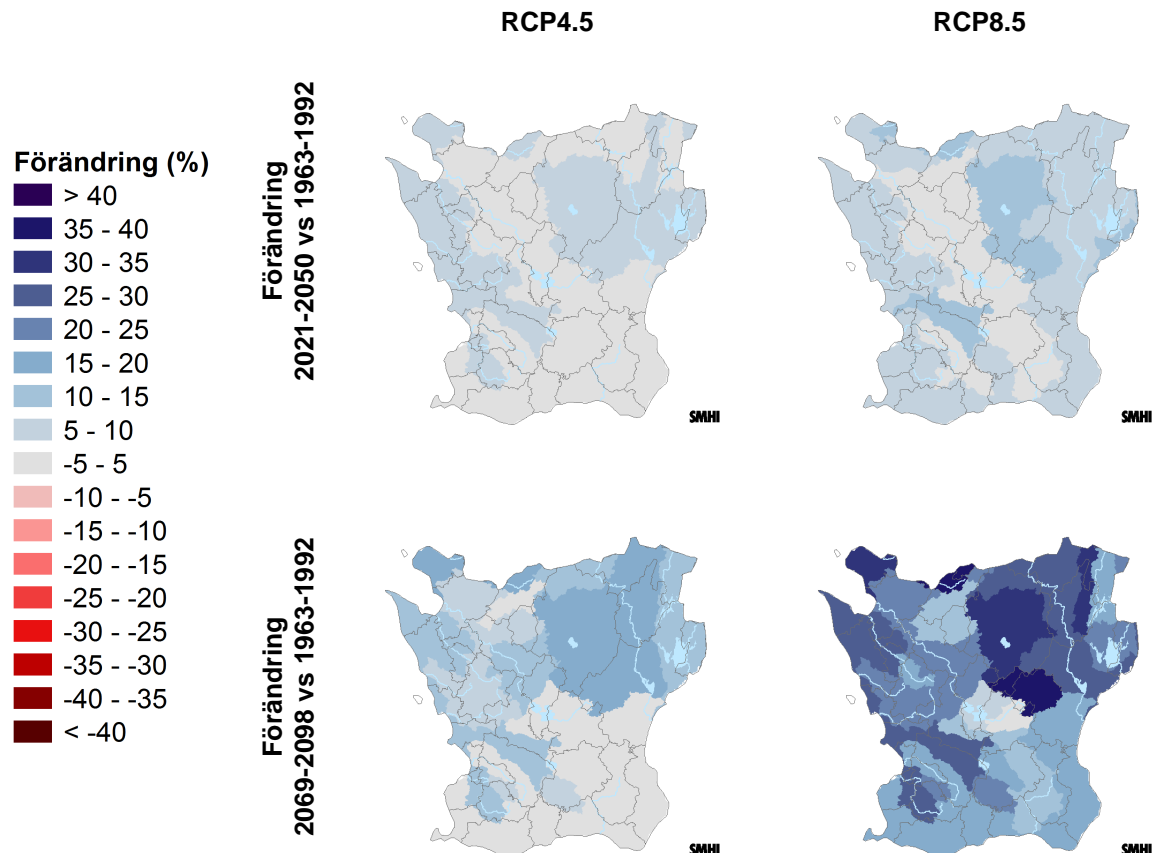


Rönne å mynning



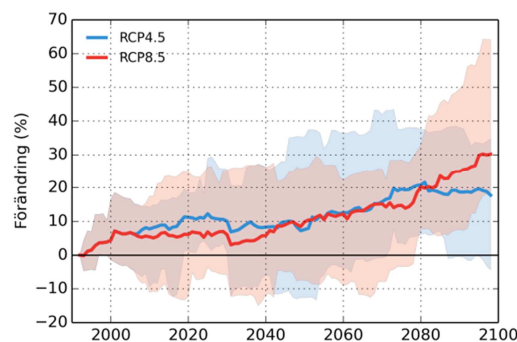
6.2 Förändrad total 10-årstillrinning

Kartorna visar den procentuella förändringen jämfört med medelvärdet för referensperioden. Indexet avser total dygnsmedeltillrinning med återkomsttid 10 år. Kartor och diagram ger en uppfattning om hur relativt vanliga högfloden kommer att öka eller minska och var det sker. Det är speciellt intressant för områden som idag lätt översvämmas.

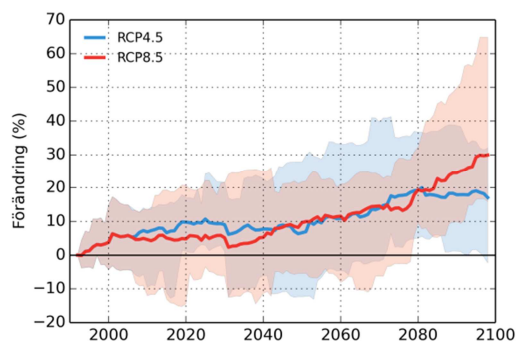


För tillrinning med återkomsttid 10 år visar beräkningarna på ökade värden, förutom för Nybroån RCP4.5 där de är oförändrade. De båda scenarierna följs åt till ca 2080 för att därefter skiljs åt. Scenariot RCP4.5 ligger på ca 20 % i slutet av seklet för Bivarödsån och Helge å. Segeån, Råån och Rönne å (RCP4.5) når ca 10 % och Höje å och Rönne å vid Klippan 2 når 5 %. RCP8.5 uppvisar en större ökning på strax över 10 % till 30 %.

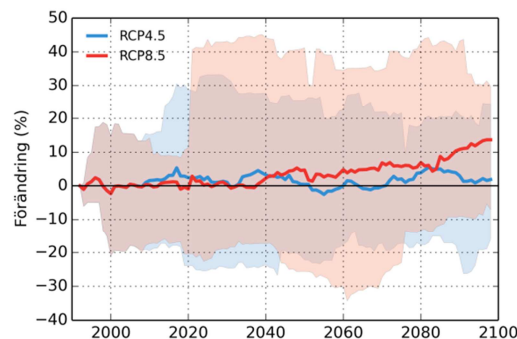
Bivarödsån



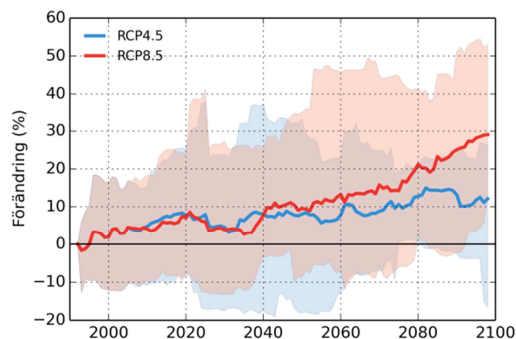
Helge å utlopp i Hammarsjön



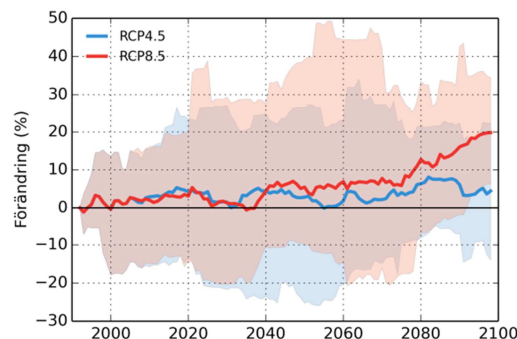
Nybroåns utlopp i Östersjön



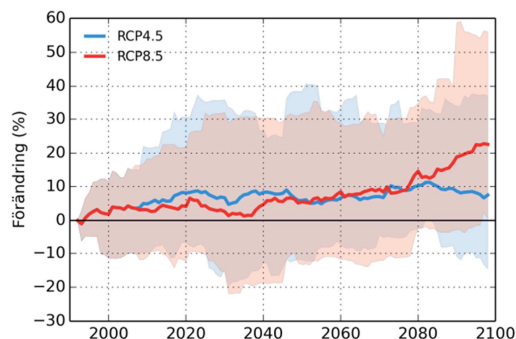
Segeåns mynning



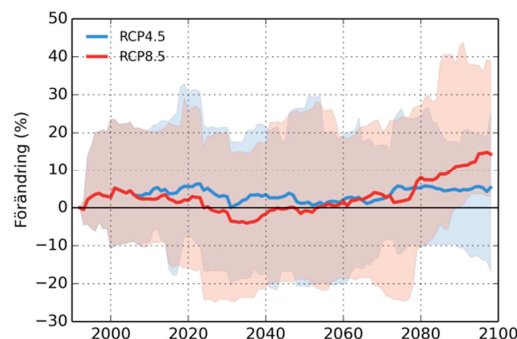
Höje å utlopp i Öresund



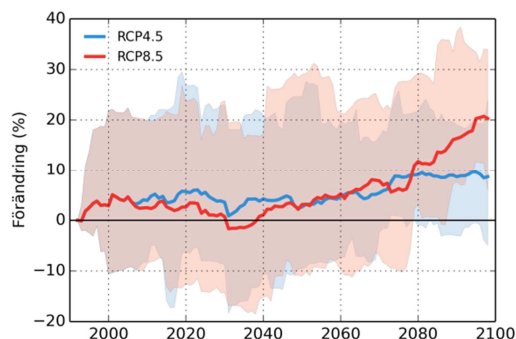
Rååns utlopp i Öresund



Rönneå vid Klippan2

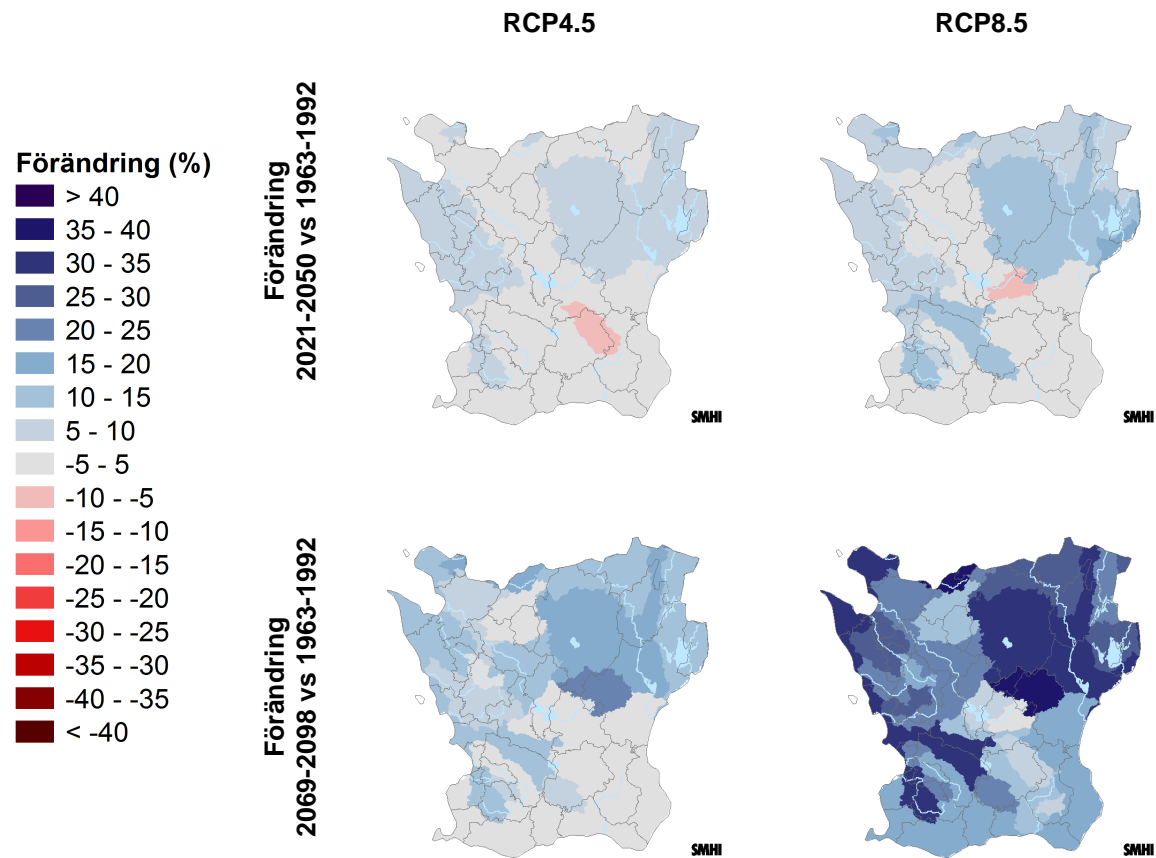


Rönne å mynning



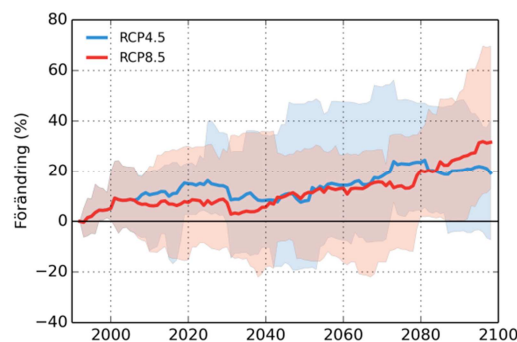
6.3 Förändrad total 100-årstillrinning

Kartorna visar den procentuella förändringen jämfört med medelvärdet för referensperioden. Indexet avser total dygnsmedeltillrinning med återkomsttid 100 år och kan vara till hjälp vid bedömningar av översvämningsrisker längs sjöar och vattendrag.

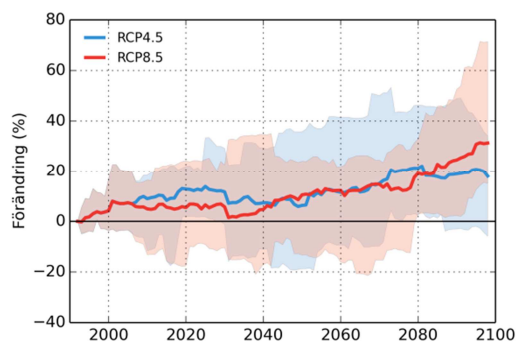


Kartorna för 100-årstillrinning uppvisar stora likheter med 10-årstillrinningen medökande tendenser. Även diagrammen uppvisar detta, förutom för Nybroån och Rönne å vid Klippan 2 (RCP4.5) som i princip uppvisar oförändrade 100-årstillrinningar.

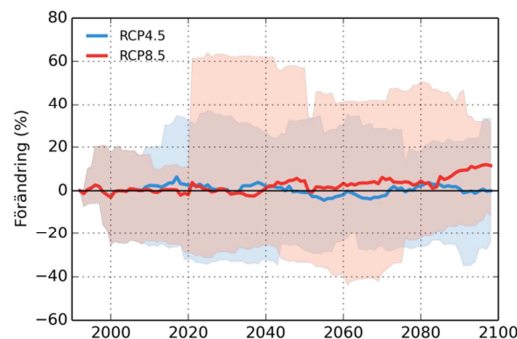
Bivarödsån



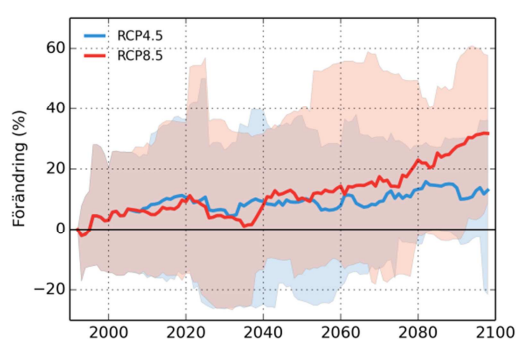
Helge å utlopp i Hammarsjön



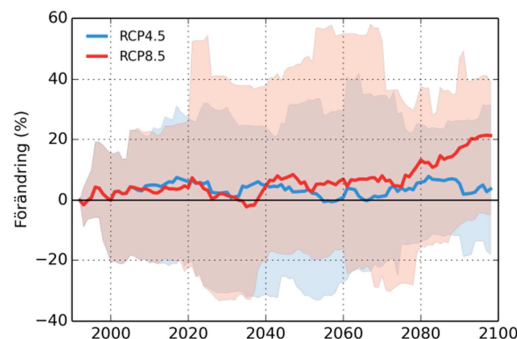
Nybroåns utlopp i Östersjön



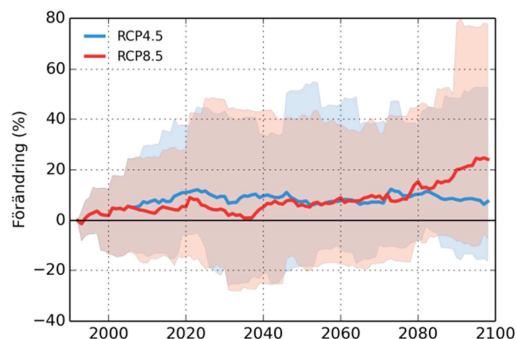
Segeåns mynning



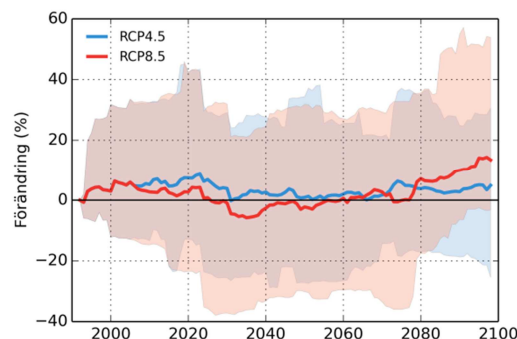
Höje å utlopp i Öresund



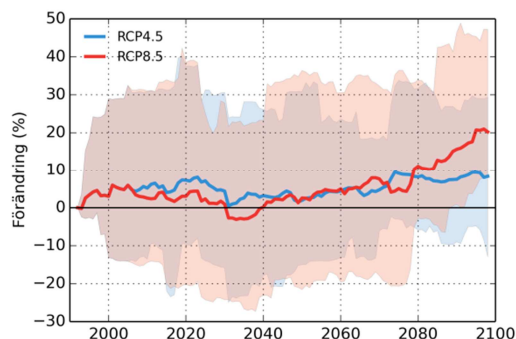
Rååns utlopp i Öresund



Rönneå vid Klippan2



Rönne å mynning



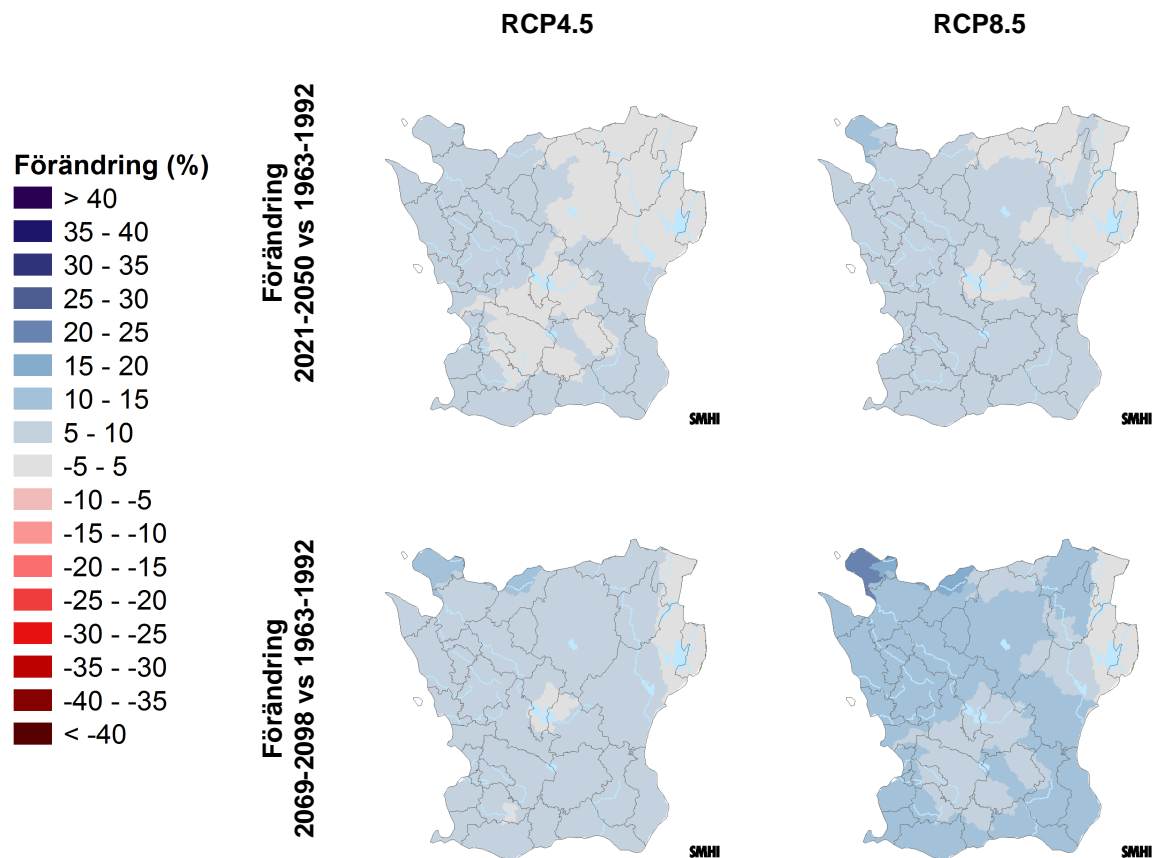
7 Lokal medeltillrinning

Avsnittet behandlar den lokala tillrinningen, dvs. flödesbidraget från enbart det aktuella avrinningsområdet (utan bidrag från avrinningsområden som ligger uppströms). Detta ger en bild av hur mindre vattendrag vars vattenföring² enbart beror på lokala förhållanden, påverkas. Indexen kan användas för att se hur klimatförändringar förväntas förändra de lokala flödesmängderna, vilka bland annat påverkar förutsättningarna för liv i vattnet. Indexen kan även användas för att bedöma förändring av potentialen för kraftproduktion i mindre vattendrag.

Kartorna visar den procentuella förändringen jämfört med medelvärdet för referensperioden. Diagram visas i detta avsnitt för endast två delavrinningsområden, vilka är markerade i Figur 5. Helge å representerar områden norrut i länet och Segeån representerar områden söderut i länet.

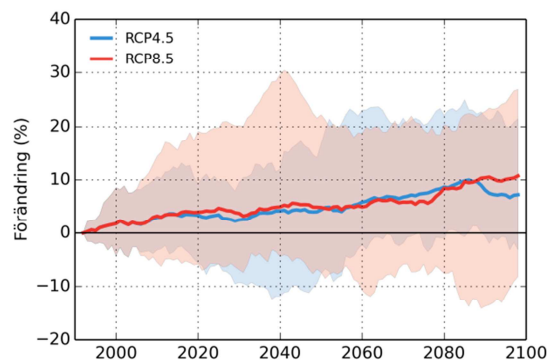
7.1 Förändrad lokal årsmedeltillrinning

Kartorna visar den procentuella förändringen jämfört med medelvärdet för referensperioden. Indexet avser 30-årsmedelvärdet av tillrinning på årsbasis.

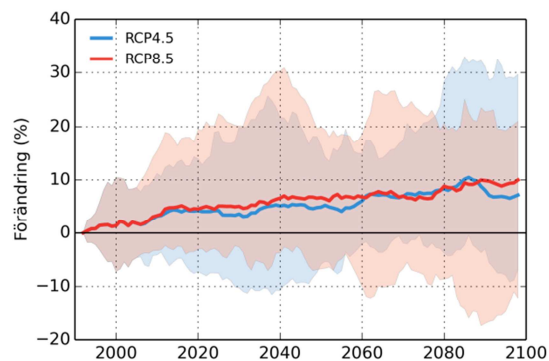


² Med vattenföring eller vattenflöde menas den mängd vatten per tidsenhet som rinner fram i ett vattendrag

Helge å



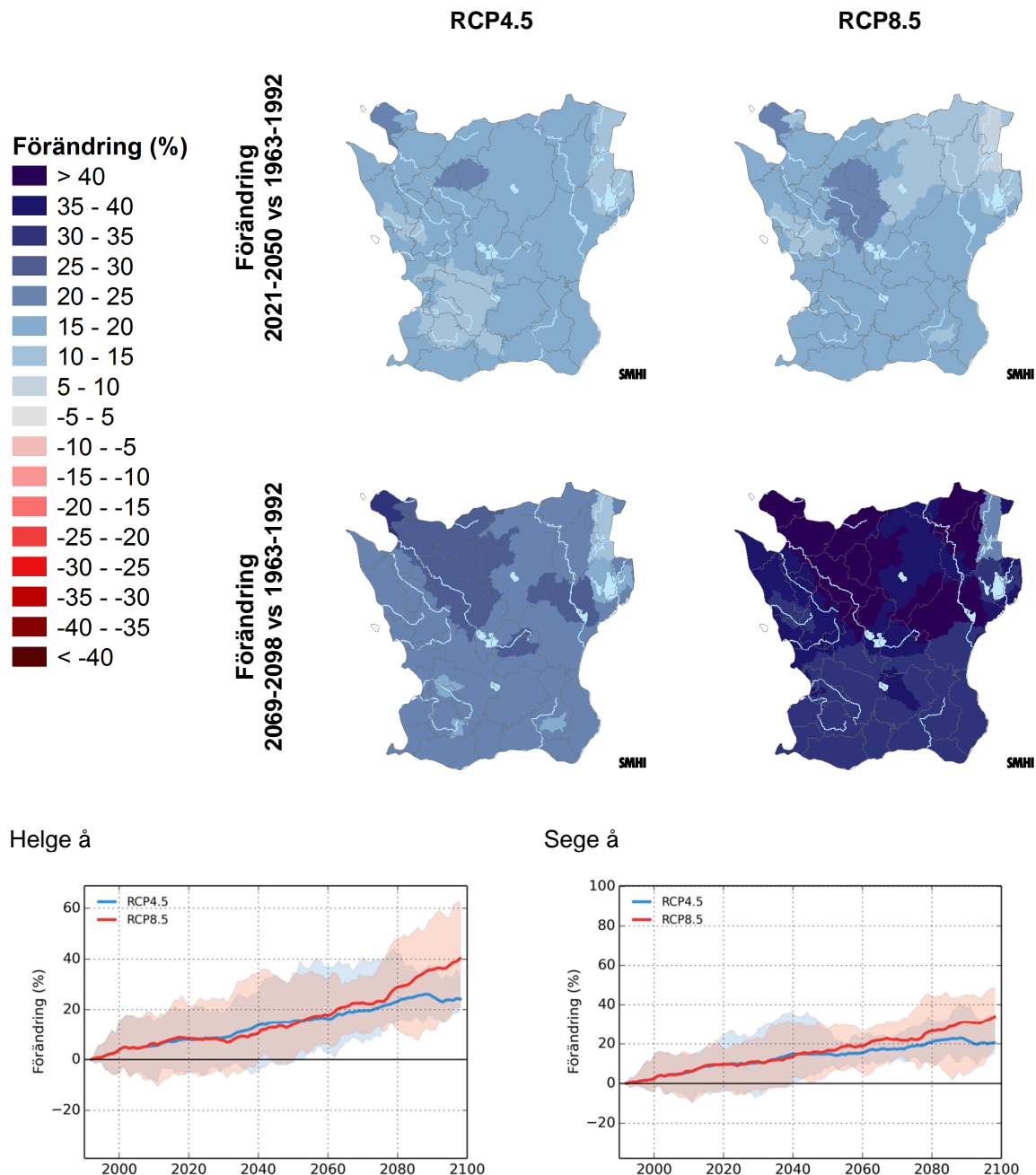
Sege å



Den lokala årsmedeltillrinningen ökar enligt scenarierna för större delen av länet, men är svagare i de inre delarna av länet. Det framgår även av diagrammen, som visar en ökad årlig tillrinning med ca 10 % i slutet av seklet.

7.2 Förändrad lokal medeltillrinning vinter

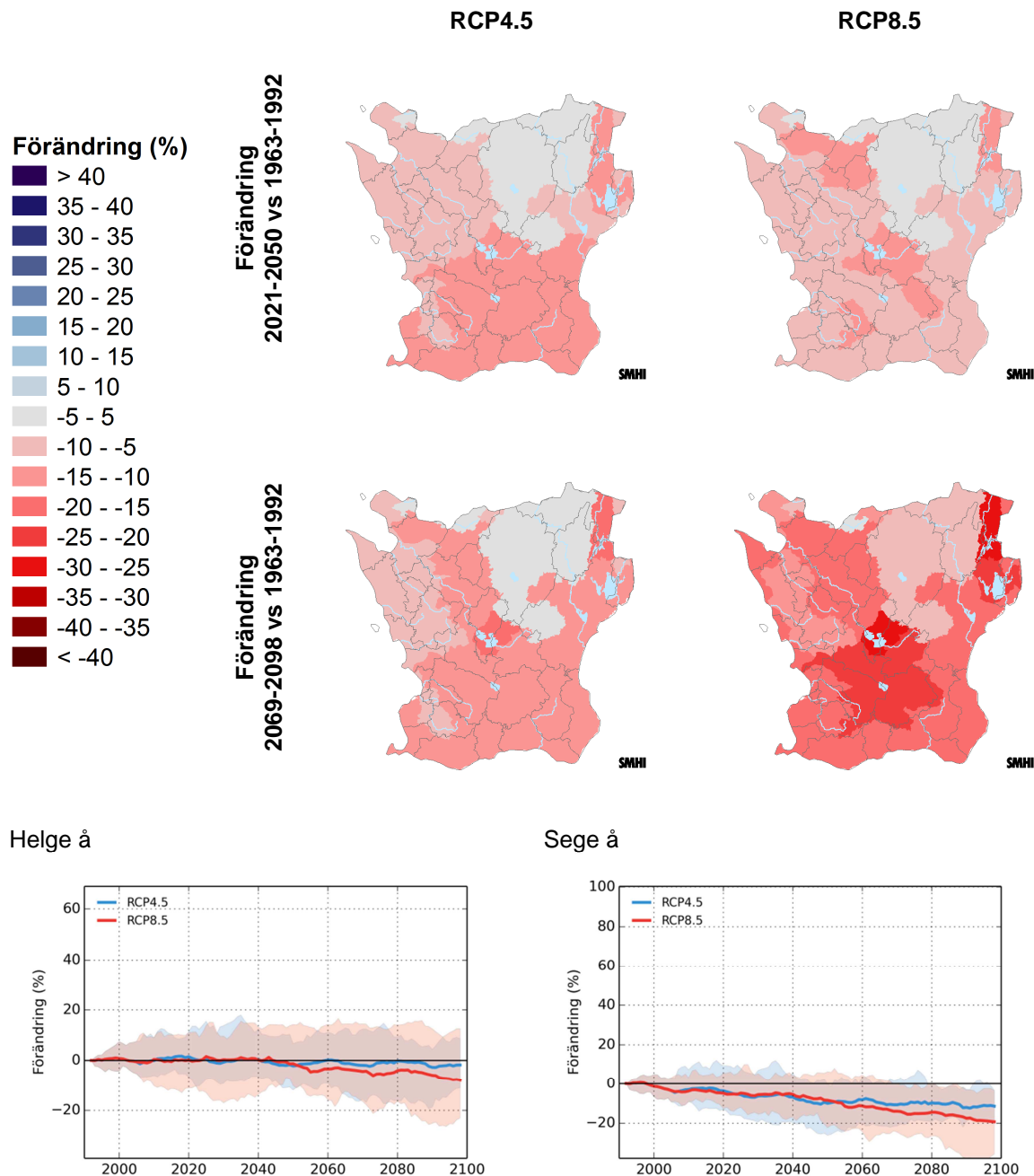
Kartorna visar den procentuella förändringen jämfört med medelvärdet för referensperioden. Indexet avser 30-årsmedelvärden av tillrinning under vintern, här definierad som perioden december-februari.



Den största förändringen av lokala tillrinningen sker liksom för den totala tillrinningen under vinterperioden eftersom mer nederbörd väntas i framtiden och att vintrarna blir milder. Både för Helge å och Sege å följs scenarierna åt till mitten av seklet för att därefter skiljas åt. RCP8.5 visar en ökning med uppåt 40 % för bågge vid slutet av seklet. RCP4.5 landar på 20 %.

7.3 Förändrad lokal medeltillrinning vår

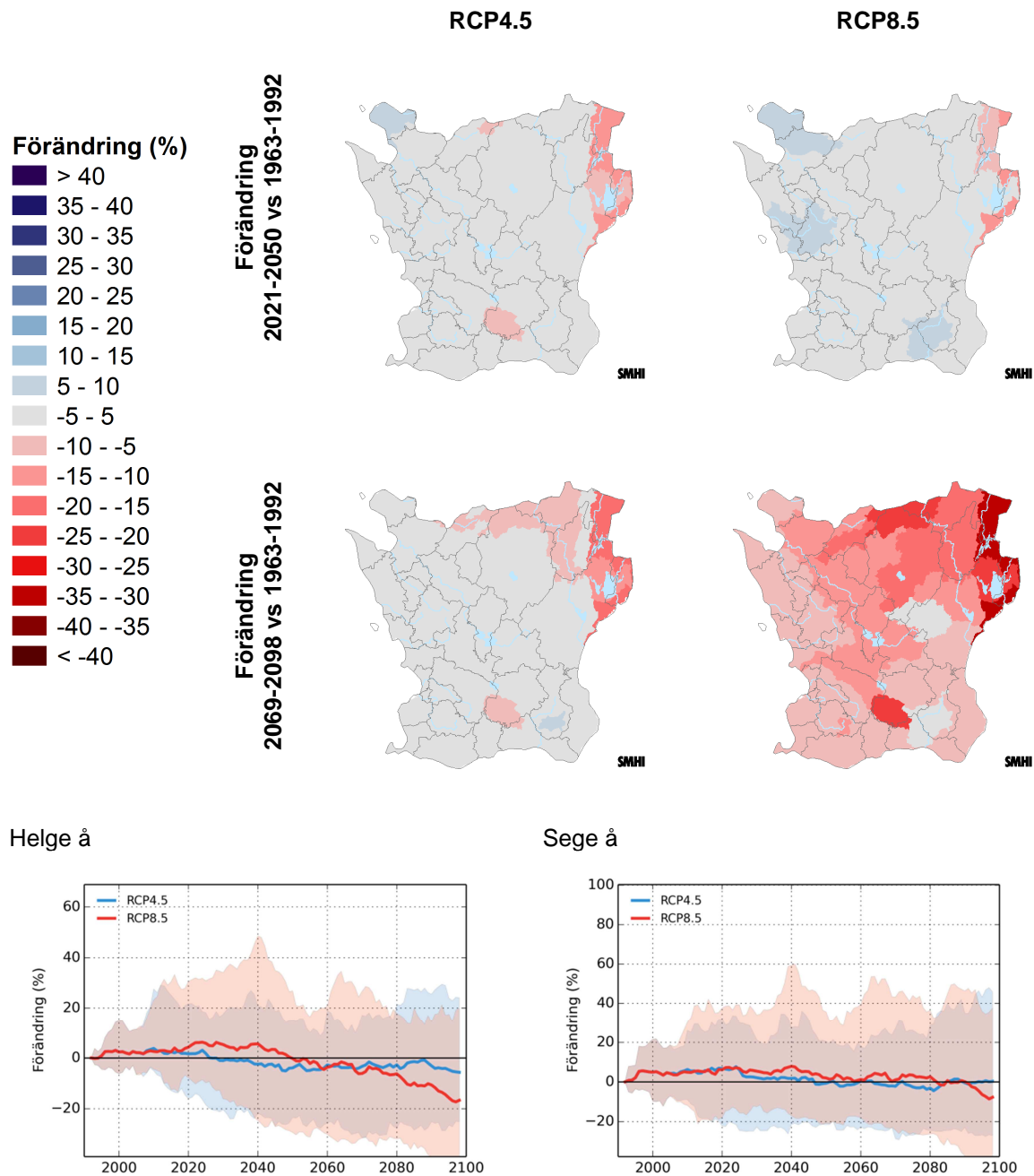
Kartorna visar den procentuella förändringen jämfört med medelvärdet för referensperioden. Indexet avser 30-årsmedelvärden av tillrinning under våren, här definierad som perioden mars-maj.



Den lokala tillrinningen under våren minskar för större delen av länet eftersom temperaturen ökar och således avdunstningen. Helge å och Sege å visar på minskande tillrinningar under våren. Den är mindre tydlig för Helge å. Diagrammen visar på minskande lokal tillrinning och mot seklets slut når RCP8.5 på -10% till -20%. RCP4.5 visar samma tendens men landar på några procents minskning.

7.4 Förändrad lokal medeltillrinning sommar

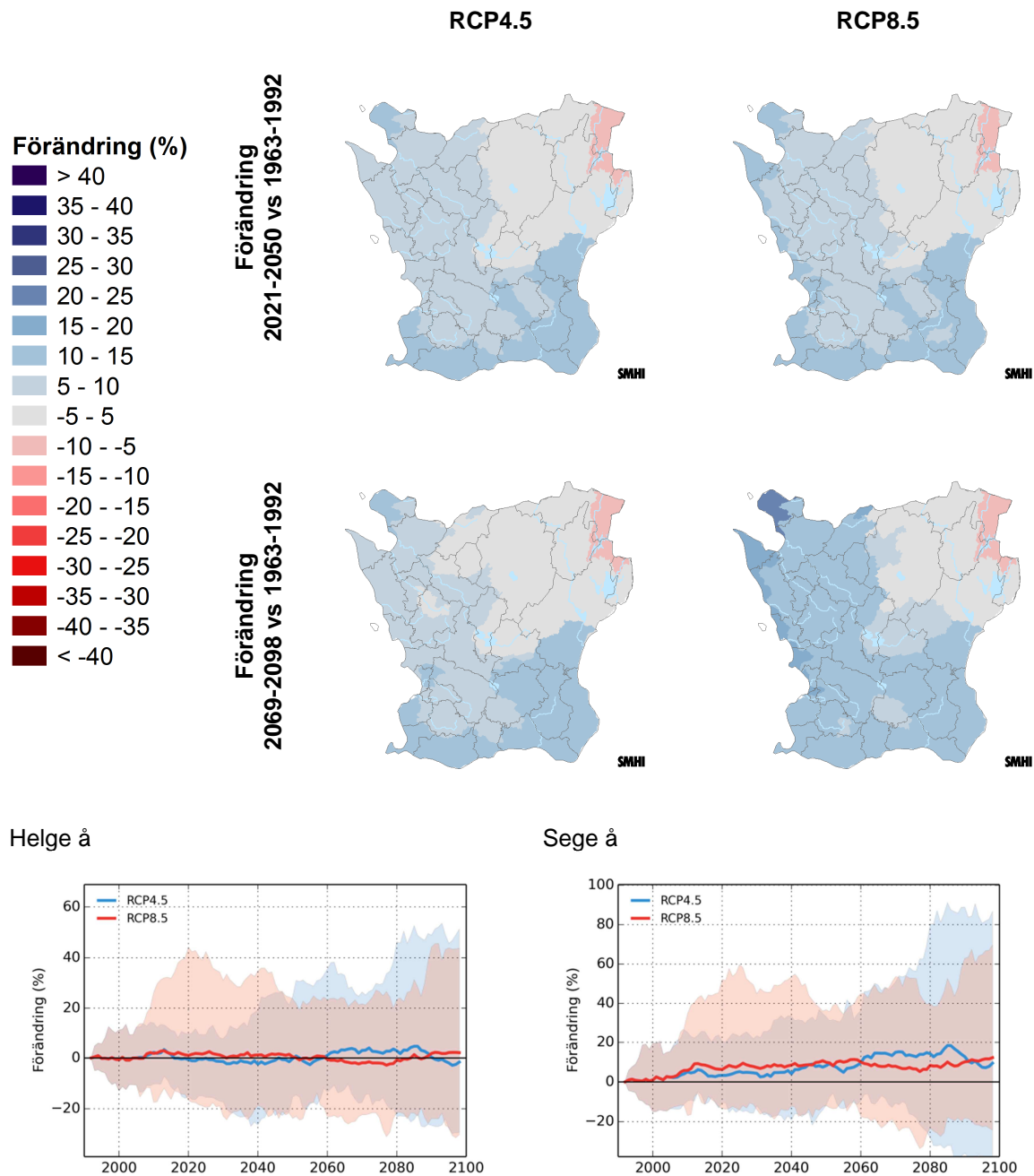
Kartorna visar den procentuella förändringen jämfört med medelvärdet för referensperioden. Indexet avser 30-årsmedelvärden av tillrinning under sommaren, här definierad som perioden juni-augusti.



För sommarperioden visar bågge scenarierna på i princip oförändrade förhållanden till mitten av seklet. I slutet av seklet visar RCP 4.5 på oförändrade förhållanden förutom i de nordöstar delarna av länet där tillrinningen minskar. RCP8.5 visar på minskade tillrinningar i slutet av seklet för hela länet.

7.5 Förändrad lokal medeltillrinning höst

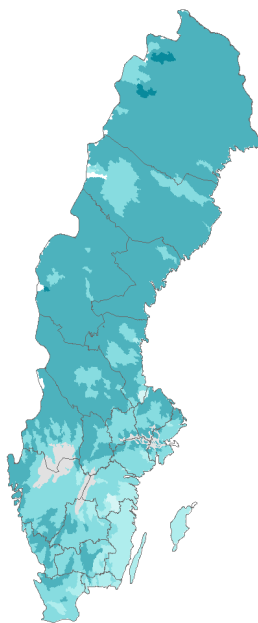
Kartorna visar den procentuella förändringen jämfört med medelvärdet för referensperioden. Indexet avser 30-årsmedelvärden av tillrinning under hösten, här definierad som perioden september-november.



För höstperioden ses en ökad tillrinning i större delen av länet. I de nordöstra delarna ser tillrinningen ut att bli oförändrad eller något minskad. Helge å uppvisar inga tydliga förändringssignaler och Sege å visar på ökad tillrinning med ca 10 % i slutet av seklet.

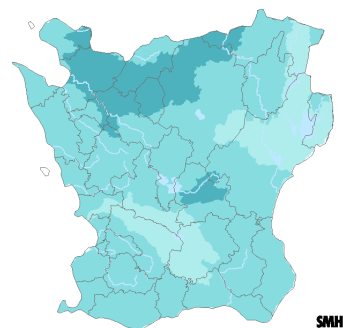
7.6 Antal dagar med lågflöde

Beräknat 1961-1990

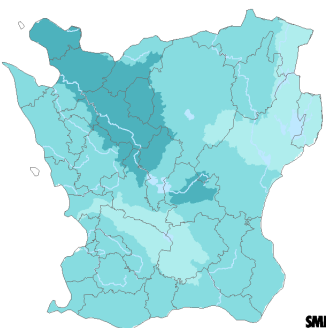


Antal dagar då tillrinningen är lägre än medellågtillrinningen för perioden 1963-1992. Medellågtillrinning beräknas som medelvärdet av varje års lägsta tillrinning under en 30-årsperiod. Indexet är intressant för långtidsplanering av vattentillgångar för dricksvatten och bevattning.

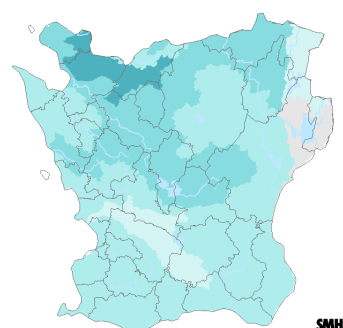
Beräknat 1961-1990



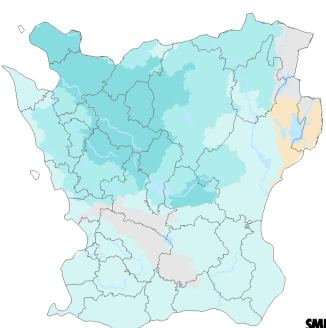
Beräknat 1991-2013



Beräknat 2021-2050



Beräknat 2069-2098

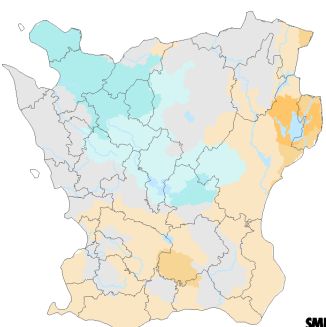
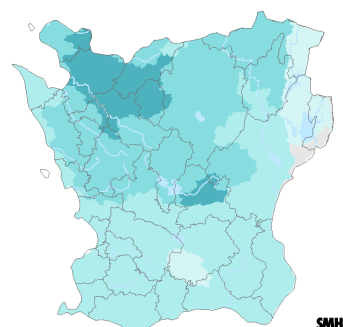


Antal Dagar

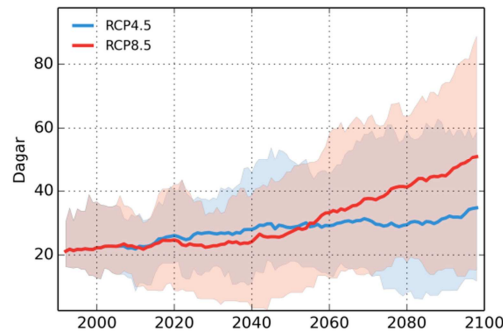
> 100
90 - 100
80 - 90
70 - 80
60 - 70
50 - 60
40 - 50
30 - 40
20 - 30
10 - 20
0 - 10

RCP4.5

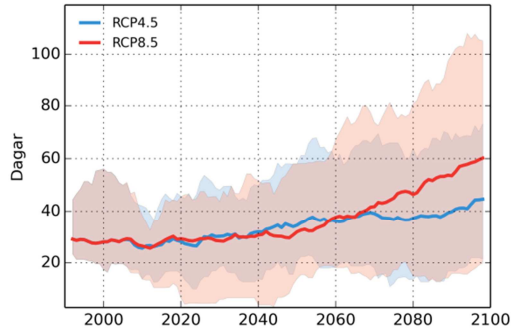
RCP8.5



Helge å



Sege å



I ett framtida varmare klimat väntas antalet tillfällen öka eftersom temperaturen ökar och vegetationsperioden blir längre. Därmed ökar avdunstningen och perioden med låg tillrinning ökar. Diagrammen visar att antalet dagar då tillrinningen är låg ökar från 20-30 dagar till 50-60 dagar för RCP8.5 och för RCP4.5 är ökningen 30-40 dagar. Fram till mitten av seklet är antalet dagar 30-40.

8 Tillrinningens årsdynamik

Tillrinningen varierar mellan år och under året beroende på hur nederbörd, temperatur, snötäcke, markfuktighet och avdunstning varierar och samspelar. För vattendragen ses dock vanligen en återkommande dynamik under året. Förändringar i årstidsförloppen kan ha stor betydelse för vattenförsörjning, miljö och biologisk mångfald, översvämningsrisker och vattenkraftsproduktion.

I figurerna visas medelvärden för tillrinningens årsdynamik. Svart linje representerar referensperioden 1963-1992 och de två övriga linjerna representerar framtidsperioden 2069-2098. Blå linje avser medelvärden av beräkningar enligt RCP4.5 och röd linje representerar motsvarande för RCP8.5.

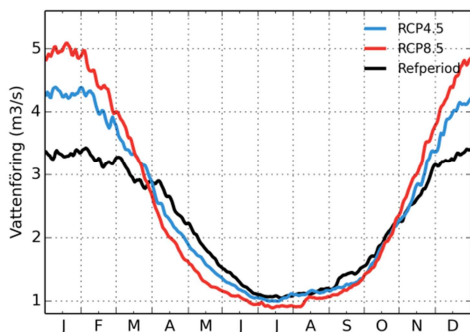
Framtidsscenarierna visar på högre vinterflöden. Det beror på mer nederbörd under vintern och högre temperaturer gör att nederbörden inte lagras som snö utan rinner av vintertid.

Diagrammen visar även på en längre säsong med lägre flöden vilket kan kopplas till en längre vegetationsperiod. Växterna tar mer vatten och det når då inte vattendragen.

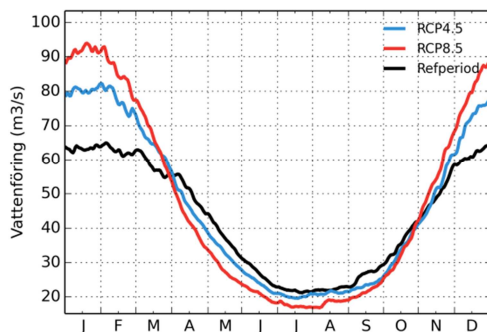
RCP8.5 ger högre vintertillrinning och lägre sommartillrinning samt längre period med låg tillrinning än vad RCP4.5 ger.

Diagrammen visar medelvärden och därmed framträder de typiska dragen tydligare men variationen mellan år är stor.

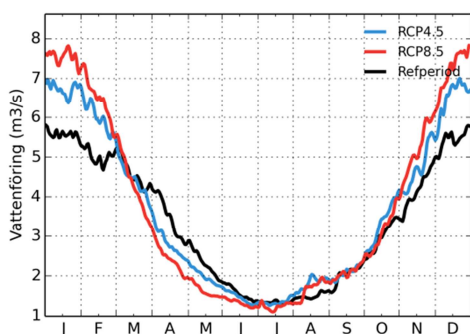
Bivarödsån



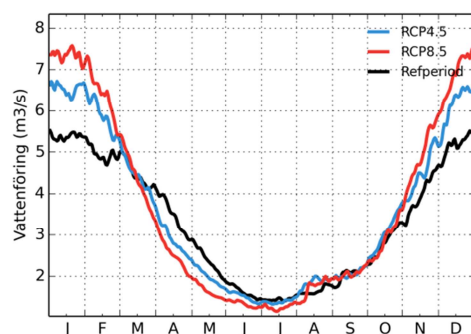
Helge å utlopp i Hammarsjön



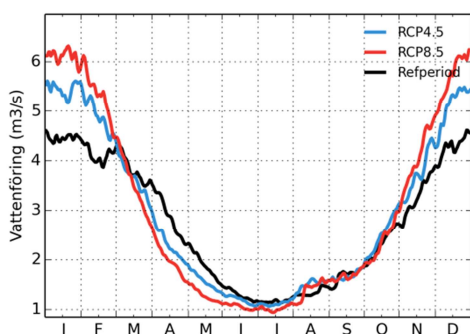
Nybroån utlopp i Östersjön



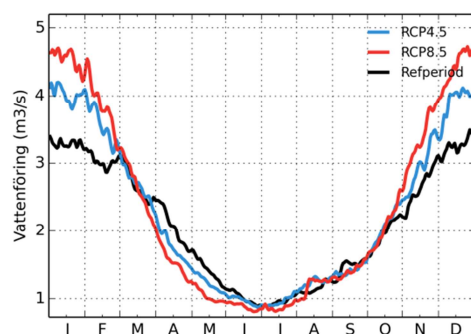
Segeåns mynning



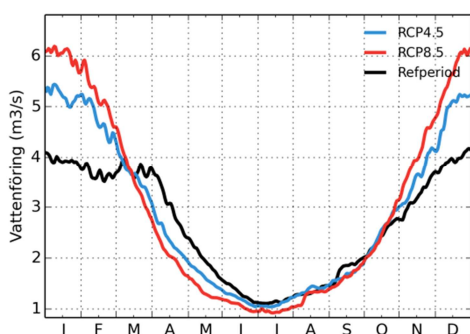
Höje å utlopp i Öresund



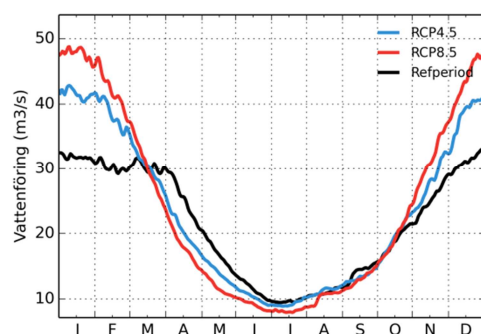
Rååns utlopp i Öresund



Rönneå vid Klippan2

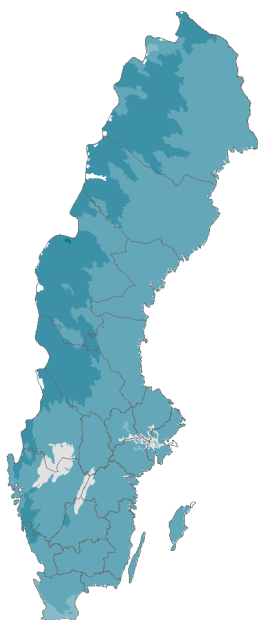


Rönne å mynning



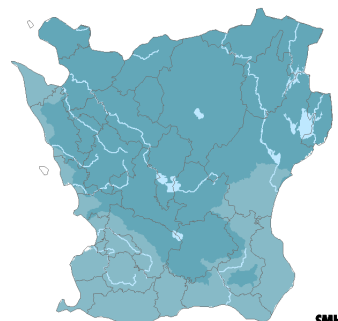
9 Markfuktighet

Beräknat 1961-1990



Antal dagar per år med låg markfuktighet. Indexet baseras på referensperiodens medelvärde av varje års längsta markfuktighet. Indexet kan ha intresse för långtidsplanering av bevattningsbehov och grödoval samt skogsbrandriskbedömning och skogsvårdsinsatser.

Beräknat 1961-1990



Beräknat 1991-2013



Beräknat 2021-2050



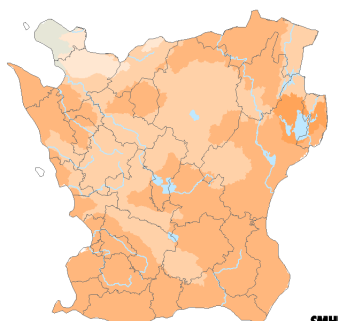
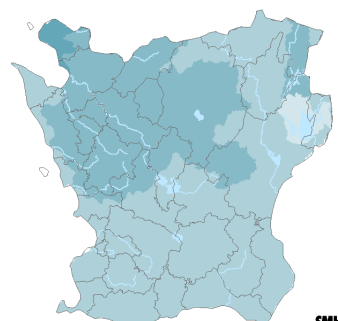
Beräknat 2069-2098



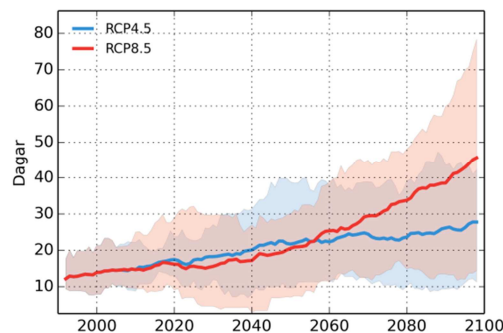
Antal dagar
> 60
55 - 60
50 - 55
45 - 50
40 - 45
35 - 40
30 - 35
25 - 30
20 - 25
15 - 20
10 - 15
5 - 10
0 - 5

RCP4.5

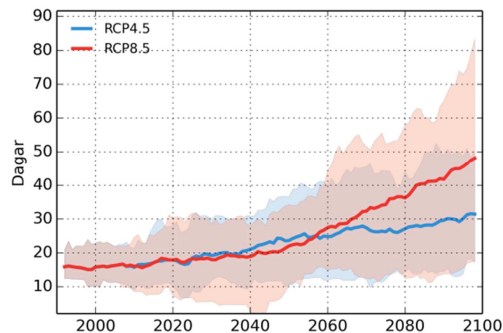
RCP8.5



Helge å



Sege å



Perioden 1991-2013 har haft fler dagar med låg markfuktighet jämfört med 1961-1990. Denna tendens fortsätter under seklet och de två RCP-scenarierna visar relativt stora skillnader vid seklets slut. Avrinningsområdena Helge å och Sege å visar liknande utveckling med ca 15 dagar i dagens klimat som ökar till 30-50 dagar beroende av scenario.

10 Slutsatser

Hur klimatet i Skåne län utvecklas beror på hur användningen av fossila bränslen ser ut i framtiden, dvs. hur mycket mängden växthusgaser ökar i atmosfären. I rapporten har beräkningar med två olika utvecklingsvägar analyserats fram till seklets slut. Scenariot RCP4.5 beskriver en framtid med kraftfull klimatpolitik och stora utsläppsminskningar, men för scenariot RCP8.5 fortsätter utsläppen att öka.

Årsmedeltemperaturen i Skåne län var under perioden 1961-1990 ca 7,2°C. Analyserna av framtida klimat visar en gradvis uppvärmning. I mitten på seklet visar båda RCP-scenarierna en uppvärmning på ca 2 grader jämfört med perioden 1961-1990. I slutet av seklet visar RCP4.5 en uppvärmning på närmare 3 grader medan RCP8.5 hamnar på ca 4 grader. Fortsatta utsläppsökningar innebär alltså en årsmedeltemperatur på 10-11 °C. Alla fyra årstider väntas bli varmare och den största uppvärmningen sker under vintern och sommaren, enligt RCP8.5 med upp till 5 grader för båda årstiderna.

I och med uppvärmningen ökar **vegetationsperiodens längd**, enligt RCP4.5 med 2 månader och enligt RCP8.5 med drygt 3 månader, vilket medför att vegetationsperioden täcker in större delen av året på en del håll. **Värmeböljorna** förväntas också öka då antalet varma dagar blir fler. RCP8.5 visar ett årsmedeldelvärde på 3 veckor i följd med dygnsmitteltemperaturer på över 20°C i slutet av seklet.

Behovet av uppvärmning minskar vilket betyder att antalet graddagar sjunker. Vid slutet av seklet visar RCP8.5 på ca 2400 och RCP4.5 på ca 2800 graddagar, att jämföra med dagens ca 3600. Ökande sommartemperaturer leder till ett visst kylbehov, enligt RCP8.5 är det ca 120 graddagar vid seklets slut.

En varmare atmosfär innebär högre avdunstning och snabbare cirkulation vilket ger mer nederbörd. Analyserna av årsmedelnederbörd bekräftar större regnmängder i det framtida klimatet, jämfört med referensperioden 1961-1990. Årsmedelnederbörden väntas öka med 15-25 % till seklets slut. Nederbörden ökar mest vintertid, i norra Skåne visar RCP8.5 på 50 % ökning. Den kraftiga nederbörden ökar också, maximal dygnsnederbörd kan öka uppemot 20 %.

För länet ses en ökning av årstillsrinningen med uppemot 10 % vid slutet av seklet. Den största ökningen av tillrinningen sker för vintern och det lägre scenariot RCP4.5 visar på 20-30 % för vattendragen. För sommaren minskar den totala årstillsrinningen för Bivarödsån, Helge å och i viss mån Rönne å. För övriga analyserade vattendrag är förhållandena oförändrade. Tillrinning med **återkomsttid** 10 år respektive 100 år ser ut att öka i stora delar av länet.

Framtidsscenarierna visar på förändring i **årstidsförlopp** med högre vintertillskrinning och en längre säsong med lägre flöden. Antalet dagar då tillrinningen är låg ökar från ca 20-30 dagar till 40-60 dagar beroende av scenario.

Antalet dagar med låg **markfuktighet** ökar i framtiden. Från dagens ca 15 dagar till 30-50 dagar beroende av scenario.

Beskrivningen baseras på medelförhållanden men det är viktigt att komma ihåg att variationen mellan år kan vara stor, även i ett framtida klimat.

11 Tackord

Förutom rapportförfattarna har även Kristoffer Hallberg, Joel Dahné och Johan Andréasson bidragit till rapporten. Tack också till alla som deltog i arbetet med nedskalning av RCP-scenarierna.

12 Referenser

- Eklund A., Axén-Mårtensson J., Bergström S., Björck E., Dahné J., Lindström L., Nordborg D., Olsson J., Simonsson L. och Sjökvist E. 2015. Sveriges framtida klimat. Underlag till Dricksvattenutredningen. SMHI Klimatologi Nr 14.
<http://www.smhi.se/publikationer/publikationer/sveriges-framtida-klimat-underlag-till-dricksvattenutredningen-1.89524>
- ICONICS, 2013. Nakićenović N., Lempert R., and Janetos A (eds.). A Special Issue of Climatic Change journal on the Framework for the Development of New Socioeconomic Scenarios for Climate Change Research. <https://www2.cgd.ucar.edu/research/iconics/publications/ssps>
- IPCC 2001. Climate Change 2001: The Scientific Basis. Contribution of Working Group I to the Third Assessment Report of the Intergovernmental Panel on Climate Change. [Houghton, J.T., Ding, Y., Griggs, D.J., Nouger, M., van der Linden, P.J. Dai, X., Maskel, K. and Johnsen, C.A. (eds.)]. Cambridge University Press, Cambridge, United Kingdom and New York, NY, USA, 881 pp. http://www.grida.no/publications/other/ipcc_tar/
- IPCC 2007. Climate Change 2007: The Physical Science Basis. Contribution of Working Group I to the Fourth Assessment Report of the Intergovernmental Panel on Climate Change. [Solomon, S., D. Qin, M. Manning, Z. Chen, M. Marquis, K.B. Averyt, M. Tignor and H.L. Miller (eds.)]. Cambridge University Press, Cambridge, United Kingdom and New York, NY, USA, 996 pp. http://www.ipcc.ch/publications_and_data/ar4/wg1/en/contents.html
- IPCC 2013. Climate Change 2013: The Physical Science Basis. Contribution of Working Group I to the Fifth Assessment Report of the Intergovernmental Panel on Climate Change [Stocker, T.F., D. Qin, G.-K. Plattner, M. Tignor, S.K. Allen, J. Boschung, A. Nauels, Y. Xia, V. Bex and P.M. Midgley(eds.)]. Cambridge University Press, Cambridge, United Kingdom and New York, NY, USA, 1535 pp. <http://www.ipcc.ch/report/ar5/wg1/>
- Nakićenović N., and R. Swart (eds.) 2000. Special Report on Emissions Scenarios. A Special Report of Working Group III of the Intergovernmental Panel on Climate Change. Cambridge University Press, Cambridge, United Kingdom and New York, NY, USA, 599 pp.
<https://www.ipcc.ch/pdf/special-reports/spm/sres-en.pdf>
- Persson G., Strandberg G. och Berg P. 2015. Vägledning för användande av klimatscenarier. SMHI Klimatologi Nr 11. <http://www.smhi.se/klimatdata/framtidens-klimat/vagledning-klimatscenarier>
- Persson G., Sjökvist E., Åström S., Eklund D., Andréasson J., Johnell A., Asp M., Olsson J. och Nerheim S. 2011. Klimatanalys för Skåne län. SMHI rapport nr 2011-52.
- Sjökvist E., Axén Mårtensson J., Dahné J., Köplin N., Björck E., Nylén L., Berglöv G., Tengdelius Brunell J., Nordborg D., Hallberg K., Södling J. och Berggreen-Clausen S. 2015. Klimatscenarier för Sverige – Bearbetning av RCP-scenarier för meteorologiska och hydrologiska effektstudier. SMHI Klimatologi Nr 15.
<http://www.smhi.se/publikationer/publikationer/klimatscenarier-for-sverige-bearbetning-av-rcp-scenarier-for-meteorologiska-och-hydrologiska-effektstudier-1.87248>

SMHIs publiceringar

SMHI ger ut sju rapportserier. Tre av dessa, R-serierna är avsedda för internationell publik och skrivs därför oftast på engelska. I de övriga serierna används det svenska språket.

Seriernas namn

Seriernas namn	Publiceras sedan
RMK (Report Meteorology and Climatology)	1974
RH (Report Hydrology)	1990
RO (Report Oceanography)	1986
METEOROLOGI	1985
HYDROLOGI	1985
OCEANOGRAFI	1985
KLIMATOLOGI	2009

I serien KLIMATOLOGI har tidigare utgivits:

- 1 Lotta Andersson, Julie Wilk, Phil Graham, Michele Warburton (University KwaZulu Natal) (2009) Local Assessment of Vulnerability to Climate Change Impacts on Water Resources in the Upper Thukela River Basin, South Africa – Recommendations for Adaptation
- 2 Gunn Persson, Markku Rummukainen (2010) Klimatförändringarnas effekter på svenska miljömålsarbete
- 3 Jonas Olsson, Joel Dahné, Jonas German, Bo Westergren, Mathias von Scherling, Lena Kjellson, Fredrik Ohls, Alf Olsson (2010) En studie av framtida flödesbelastning på Stockholms huvudavloppssystem
- 4 Markku Rummukainen, Daniel J. A. Johansson, Christian Azar, Joakim Langner, Ralf Döscher, Henrik Smith (2011) Uppdatering av den vetenskapliga grunden för klimatarbetet. En översyn av natur-vetenskapliga aspekter
- 5 Sten Bergström (2012) Framtidens havsnivåer i ett hundraårsperspektiv – kunskaps sammanställning 2012
- 6 Jonas Olsson och Kean Foster (2013) Extrem korttidsnederbörd i klimatprojektioner för Sverige
- 7 FNs klimatpanel – Sammanfattningsföreläsning för beslutsfattare. Effekter, anpassning och sårbarhet. Bidrag från arbetsgrupp 2 (WG 2) till den femte utvärderingen (AR 5) från Intergovernmental Panel on Climate Change, IPCC (2014)
- 8 Att begränsa klimatförändringar (2014) (Ej publicerad)
- 9 Erik Kjellström SMHI. Reino Abrahamsson, Pelle Boberg. Eva Jernbäcker Naturvårdsverket. Marie Karlberg, Julien Morel Energimyndigheten och Åsa Sjöström SMHI (2014) Uppdatering av det klimatvetenskapliga kunskapsläget
- 10 Risker och konsekvenser för samhället av förändrat klimat – en kunskapsöversikt (2014)
- 11 Gunn Persson (2015) Vägledning för användande av klimatscenarier
- 12 Lotta Andersson, Anna Bohman, Lisa van Well, Anna Jonsson, Gunn Persson och Johanna Farelius (2015) Underlag till kontrollstation 2015 för anpassning till ett förändrat klimat

13. Gunn Persson (2015)
Sveriges klimat 1860-2014. Underlag till Dricksvattenutredningen.
14. Anna Eklund (2015)
Sveriges framtida klimat. Underlag till Dricksvattensutredningen.
15. Elin Sjökvist, Jenny Axén Mårtensson, Joel Dahné, Nina Köplin, Emil Björck, Linda Nylén, Gitte Berglöv, Johanna Tengdelius Brunell, Daniel Nordborg, Kristoffer Hallberg, Johan Södbring, Steve Berggreen-Clausen (2015)
Klimatscenarier för Sverige - Bearbetning av RCP-scenarier för meteorologiska och hydrologiska effektstudier
16. Elin Sjökvist, Gunn Persson, Jenny Axén Mårtensson, Magnus Asp, Steve Berggreen-Clausen, Gitte Berglöv, Emil Björck, Linda Nylén, Alexandra Ohlsson och Håkan Persson (2015)
Framtidsklimat i Dalarnas län – enligt RCP-scenarier.
17. Linda Nylén, Magnus Asp, Steve Berggreen-Clausen, Gitte Berglöv, Emil Björck, Jenny Axén Mårtensson, Alexandra Ohlsson, Håkan Persson, Elin Sjökvist (2015)
Framtidsklimat i Värmlands län – enligt RCP-scenarier.
18. Gunn Persson, Magnus Asp, Steve Berggreen-Clausen, Gitte Berglöv, Emil Björck, Jenny Axén Mårtensson, Linda Nylén, Alexandra Ohlsson, Håkan Persson, Elin Sjökvist (2015)
Framtidsklimat i Örebro län – enligt RCP-scenarier.
19. Alexandra Ohlsson, Magnus Asp, Steve Berggreen-Clausen, Gitte Berglöv, Emil Björck, Anna Johnell, Jenny Axén Mårtensson, Linda Nylén, Håkan Persson, Elin Sjökvist (2015)
Framtidsklimat i Västmanlands län – enligt RCP-scenarier.
20. Elin Sjökvist, Magnus Asp, Steve Berggreen-Clausen, Gitte Berglöv, Emil Björck, Anna Johnell, Jenny Axén Mårtensson, Linda Nylén, Alexandra Ohlsson, Håkan Persson (2015) Framtidsklimat i Uppsala län – enligt RCP-scenarier.
21. Magnus Asp, Steve Berggreen-Clausen, Gitte Berglöv, Emil Björck, Anna Johnell, Jenny Axén Mårtensson, Linda Nylén, Alexandra Ohlsson, Håkan Persson, Elin Sjökvist (2015)
Framtidsklimat i Stockholms län – enligt RCP-scenarier.
22. Magnus Asp, Steve Berggreen-Clausen, Gitte Berglöv, Emil Björck, Anna Johnell, Jenny Axén Mårtensson, Linda Nylén, Alexandra Ohlsson, Håkan Persson, Elin Sjökvist (2015)
Framtidsklimat i Södermanlands län – enligt RCP-scenarier.
23. Magnus Asp, Steve Berggreen-Clausen, Gitte Berglöv, Emil Björck, Anna Johnell, Jenny Axén Mårtensson, Linda Nylén, Alexandra Ohlsson, Håkan Persson, Elin Sjökvist (2015)
Framtidsklimat i Östergötlands län – enligt RCP-scenarier.
24. Gitte Berglöv, Magnus Asp, Steve Berggreen-Clausen, Emil Björck, Jenny Axén Mårtensson, Linda Nylén, Alexandra Ohlsson, Håkan Persson, Elin Sjökvist (2015)
Framtidsklimat i Västra Götalands län – enligt RCP-scenarier.
25. Alexandra Ohlsson, Magnus Asp, Steve Berggreen-Clausen, Gitte Berglöv, Emil Björck, Anna Johnell, Jenny Axén Mårtensson, Linda Nylén, Håkan Persson, Elin Sjökvist (2015)
Framtidsklimat i Jönköpings län – enligt RCP-scenarier.
26. Gunn Persson, Magnus Asp, Steve Berggreen-Clausen, Gitte Berglöv, Emil Björck, Jenny Axén Mårtensson, Linda Nylén, Alexandra Ohlsson, Håkan Persson, Elin Sjökvist (2015)
Framtidsklimat i Kalmar län – enligt RCP-scenarier.
27. Gitte Berglöv, Magnus Asp, Steve Berggreen-Clausen, Emil Björck, Jenny Axén Mårtensson, Linda Nylén, Alexandra Ohlsson, Håkan Persson, Elin Sjökvist (2015)
Framtidsklimat i Kronobergs län – Enligt RCP-scenarier.

28. Gunn Persson, Magnus Asp, Steve Berggreen-Clausen, Gitte Berglöv, Emil Björck, Jenny Axén Mårtensson, Linda Nylén, Alexandra Ohlsson, Håkan Persson, Elin Sjökvist (2015) *Framtidsklimat i Hallands län – enligt RCP-scenarier.*



Sveriges meteorologiska och hydrologiska institut
601 76 NORRKÖPING
Tel 011-495 80 00 Fax 011-495 80 01

ISSN 1654-2258